

Գ.Բ. ԱԼԱՎԵՐԴՅԱՆ
Ա.Ս. ՀԱՐՈՒԹՅՈՒՆՅԱՆ
ՅՈՒ.Լ. ՎԱՐԴԱՆՅԱՆ

ԵԼԵԿՏՐԱՊԻՆԱԿՄԻԿԱՅԻ ԽՆԴԻՐՆԵՐԻ ԺՈՂՈՎԱԾՈՒ

ՄԱՍ 1

ԵԼԵԿՏՐԱՊԻՆԱՄԻԿԱՅԻ ԱՊԹԵՍԱՏԻԿԱԿԱՆ ԱՊԱՐԱՏԸ
ԵԼԵԿՏՐԱՊԻՆԱՄԻԿԱՅԻ ՀԻՄԱԿԱՆ
ՕՐԵՆՔՆԵՐՆ ՈՒ ՀԱՎԱՍԱՐՈՒՄՆԵՐԸ
ԵԼԵԿՏՐԱՊԻՆԱՄԻԿԱՅԻ
ՆՅՈՒԹԱԿԱՆ ՀԱՎԱՍԱՐՈՒՄՆԵՐԸ
ԵԼԵԿՏՐԱՍԱՏԻԿԱ
ՄԱԳՆԻՍԱՍԱՏԻԿԱ
ՔՎԱԶԻՍԱՑԻՇԻՈՆԱՐ
ԵԼԵԿՏՐԱՍԱԳՆԻՍԱԿԱՆ ԴԱՏԸ

ՀՏՌ 537.8
ԳՄԴ 22.313
Ա 286

Հրատարակության է կրաշխավորել
Երևանի պետական համալսարանի
ռատիոֆիզիկայի ֆակուլտետի գիտական խորհուրդը

Գրախոս՝ Փ. Մ. գ. դ., պրոֆ.
Խ. Վ. Ներկարարյան

Ալավերդյան Գ. Բ. և ուրիշ.

Ա 286 Էլեկտրադիմետրայի խնդիրների ժողովածու /
Ալավերդյան Գ. Բ., Հարոբյունյան Ա. Ս., Վարդանյան Յու. Լ.:
-Եր., Դար, 2006, 136 էջ:

Խնդրագիրքը պարունակում է դասական էլեկտրադիմետրայի ավելի քան 160 խնդիր: Խնդիրների հիմնական մասը ներկայացվում է մանրամասն լուծումներով: Նախատեսված է բարձրագույն ուսումնական հաստատությունների ֆիզիկայի ուղղությամբ մասնագիտացող ուսանողների համար: Այն կարող է օգտակար լինել նաև ասպիրանտների և գիտաշխատողների համար:

ԵՊՐ Գրադարան



SU0207332

Ա 1604050000 թուջ
0123(01)2006/

ԳՄԴ 22.313

ISBN 99941-47-19-0

© ԴԱՄ հոգածառականությունն. 2006

Դասական էլեկտրադիմամիկայի այս խնդրագիրքն ընդգրկում է տարրեր բարդության խնդիրներ, որոնք երկար տարիներ հեղինակներն օգտագործեն են Երևանի պետական համալսարանի ուսուցչութիվիկայի ֆակուլտետում «Էլեկտրադիմամիկա և էլեկտրոնային տեսություն» առարկայի դասավանդման ընթացքում։ Խնդրագիրքն սկսվում է մաթեմատիկական ներածությունով, որտեղ քարկվում են խնդիրների լուծման համար անհրաժեշտ մաթեմատիկական առնչություններն ու գաղափարները և բերվում են մաթեմատիկական բնույթի խնդիրներ, որոնց լուծումը բույլ կտայութայնել էլեկտրադիմամիկական խնդիրների լուծման համար անհրաժեշտ մաթեմատիկական ապարատը։

Յուրաքանչյուր բաժնի սկզբում հակիրճ շարադրված է այդ բաժնի խնդիրների լուծման համար անհրաժեշտ տեսական նյութը։ Բերված են խնդիրների պատասխաններն ու գերակշռող մասի լուծումները։

Վստահ ենք, որ խնդրագիրքն օգտակար կլինի այն ուսանողների համար, որոնց ուսումնական ծրագրերում նախատեսված է տեսական ֆիզիկայի «Էլեկտրադիմամիկա» բաժինը, ինչպես նաև նրանց համար, ովքեր որոշել են ինքնուրույն ուսումնասիրել էլեկտրադիմամիկան։ Կարծում ենք այն կիետաքրքրի նաև ասպիրանտներին ու սկսնակ դասախոսներին։

Հեղինակները ջենք չեն խնայել խնդրագիրքը թերություններից ու վրիպակներից զերծ պահելու համար, այնուամենայնիվ չեն բացառության առկայությունը և երախտապարտ կլինեն նրանց, ովքեր նկատված բայցողությունների ու վրիպակների մասին իրենց դիտարկումները կիայտնեն հեղինակներին (Էլ. Փոստ՝ galaverdyan@ysu.am)։

Ընորհակալություն ենք հայտնում ԵՊՀ ալիքային պրոցեսների տեսության և ֆիզիկայի ամբիոնի դասախոսներին մեթոդական սեմինարների ժամանակ խնդիրների քննարկումների և պրոֆեսոր Խ.Ներկարարյանին օգտակար խորհուրդների համար։

*Հեղինակներ
ք. Երևան, 2006 թ.*

ՄԱԹԵՄԱՏԻԿԱԿԱՆ ՆԵՐԱԾՈՒԹՅՈՒՆ

Ներկայացնենք դիֆերենցիալ օպերատորների արտահայտությունները տարբեր կոորդինատական համակարգերում:

Դեկարտյան կոորդինատական համակարգ՝

$$\text{grad } \varphi = \hat{\mathbf{e}}_x \frac{\partial \varphi}{\partial x} + \hat{\mathbf{e}}_y \frac{\partial \varphi}{\partial y} + \hat{\mathbf{e}}_z \frac{\partial \varphi}{\partial z}, \quad (1.1\alpha)$$

$$\text{div } \mathbf{A} = \frac{\partial A_x}{\partial x} + \frac{\partial A_y}{\partial y} + \frac{\partial A_z}{\partial z}, \quad (1.1\beta)$$

$$\text{rot } \mathbf{A} = \hat{\mathbf{e}}_x \left(\frac{\partial A_z}{\partial y} - \frac{\partial A_y}{\partial z} \right) + \hat{\mathbf{e}}_y \left(\frac{\partial A_x}{\partial z} - \frac{\partial A_z}{\partial x} \right) + \hat{\mathbf{e}}_z \left(\frac{\partial A_y}{\partial x} - \frac{\partial A_x}{\partial y} \right), \quad (1.1\gamma)$$

$$\Delta \varphi = \text{div grad } \varphi = \frac{\partial^2 \varphi}{\partial x^2} + \frac{\partial^2 \varphi}{\partial y^2} + \frac{\partial^2 \varphi}{\partial z^2}: \quad (1.1\eta)$$

Գլանային կոորդինատական համակարգ՝

$$x = r \cos \alpha, \quad y = r \sin \alpha, \quad z = z, \quad dV = r dr da dz,$$

$$\text{grad } \varphi = \hat{\mathbf{e}}_r \frac{\partial \varphi}{\partial r} + \hat{\mathbf{e}}_\alpha \frac{1}{r} \frac{\partial \varphi}{\partial \alpha} + \hat{\mathbf{e}}_z \frac{\partial \varphi}{\partial z}, \quad (1.2\alpha)$$

$$\text{div } \mathbf{A} = \frac{1}{r} \frac{\partial (r A_r)}{\partial r} + \frac{1}{r} \frac{\partial A_\alpha}{\partial \alpha} + \frac{\partial A_z}{\partial z}, \quad (1.2\beta)$$

$$\begin{aligned} \text{rot } \mathbf{A} = & \hat{\mathbf{e}}_r \left(\frac{1}{r} \frac{\partial A_z}{\partial \alpha} - \frac{\partial A_\alpha}{\partial z} \right) + \\ & + \hat{\mathbf{e}}_\alpha \left(\frac{\partial A_r}{\partial z} - \frac{\partial A_z}{\partial r} \right) + \hat{\mathbf{e}}_z \left(\frac{1}{r} \frac{\partial (r A_\alpha)}{\partial r} - \frac{1}{r} \frac{\partial A_r}{\partial \alpha} \right), \end{aligned} \quad (1.2\gamma)$$

$$\Delta \varphi = \frac{1}{r} \frac{\partial}{\partial r} \left(r \frac{\partial \varphi}{\partial r} \right) + \frac{1}{r^2} \frac{\partial^2 \varphi}{\partial \alpha^2} + \frac{\partial^2 \varphi}{\partial z^2} \quad (1.2\eta)$$

Գնդային կոորդինատական համակարգ՝

$$x = r \sin \theta \cos \alpha, \quad y = r \sin \theta \sin \alpha, \quad z = r \cos \theta,$$

$$dV = r^2 dr d\Omega, \quad d\Omega = \sin \theta d\theta d\alpha,$$

$$\text{grad } \varphi = \hat{\mathbf{e}}_r \frac{\partial \varphi}{\partial r} + \hat{\mathbf{e}}_\theta \frac{1}{r} \frac{\partial \varphi}{\partial \theta} + \hat{\mathbf{e}}_\alpha \frac{1}{r \sin \theta} \frac{\partial \varphi}{\partial \alpha}, \quad (1.3\alpha)$$

$$\text{div } \mathbf{A} = \frac{1}{r^2} \frac{\partial (r^2 A_r)}{\partial r} + \frac{1}{r \sin \theta} \frac{\partial (A_\theta \sin \theta)}{\partial \theta} + \frac{1}{r \sin \theta} \frac{\partial A_\alpha}{\partial \alpha}, \quad (1.3\beta)$$

$$\text{rot} \mathbf{A} = \hat{\mathbf{e}}_r \left(\frac{1}{r \sin \theta} \left[\frac{\partial (A_\alpha \sin \theta)}{\partial \theta} - \frac{\partial A_\theta}{\partial \alpha} \right] \right) + \\ + \hat{\mathbf{e}}_\theta \left(\frac{1}{r \sin \theta} \frac{\partial A_r}{\partial \alpha} - \frac{1}{r} \frac{\partial (r A_\alpha)}{\partial r} \right) + \hat{\mathbf{e}}_\alpha \left(\frac{1}{r} \frac{\partial (r A_\theta)}{\partial r} - \frac{1}{r} \frac{\partial A_r}{\partial \theta} \right)$$
(1.3q)

$$\Delta \Phi = \frac{1}{r^2} \frac{\partial}{\partial r} \left(r^2 \frac{\partial \Phi}{\partial r} \right) + \frac{1}{r^2 \sin^2 \theta} \frac{\partial}{\partial \theta} \left(\sin \theta \frac{\partial \Phi}{\partial \theta} \right) + \frac{1}{r^2 \sin^2 \theta} \frac{\partial^2 \Phi}{\partial \alpha^2} : \quad (1.3\eta)$$

Դիֆերենցիալ օպերատորները բավարարում են հետևյալ նույնականացնելիություններին՝

$$\text{rot grad } \varphi = 0, \quad (1.4)$$

$$\text{div rot } \mathbf{A} = 0, \quad (1.5)$$

$$\text{rot rot } \mathbf{A} = \text{grad div } \mathbf{A} - \Delta \mathbf{A}, \quad (1.6)$$

$$\text{grad}(\varphi \psi) = \varphi \text{grad} \psi + \psi \text{grad} \varphi, \quad (1.7)$$

$$\text{div}(\varphi \mathbf{A}) = \varphi \text{div } \mathbf{A} + \mathbf{A} \cdot \text{grad } \varphi, \quad (1.8)$$

$$\text{rot}(\varphi \mathbf{A}) = \varphi \text{rot } \mathbf{A} - \mathbf{A} \times \text{grad } \varphi, \quad (1.9)$$

$$\text{div}(\mathbf{A} \times \mathbf{B}) = \mathbf{B} \cdot \text{rot } \mathbf{A} - \mathbf{A} \cdot \text{rot } \mathbf{B}, \quad (1.10)$$

$$\text{rot}(\mathbf{A} \times \mathbf{B}) = \mathbf{A} \text{div } \mathbf{B} - \mathbf{B} \text{div } \mathbf{A} + (\mathbf{B} \cdot \nabla) \mathbf{A} - (\mathbf{A} \cdot \nabla) \mathbf{B}, \quad (1.11)$$

$$\text{grad}(\mathbf{A} \cdot \mathbf{B}) = \mathbf{A} \times \text{rot } \mathbf{B} + \mathbf{B} \times \text{rot } \mathbf{A} + (\mathbf{B} \cdot \nabla) \mathbf{A} + (\mathbf{A} \cdot \nabla) \mathbf{B} : \quad (1.12)$$

Գառուս-Օստրոգորադսկու թեորեմի համաձայն

$$\int_V \text{div } \mathbf{A} dV = \oint_S \mathbf{A} \cdot d\mathbf{S}, \quad (1.13)$$

որտեղ S -ը V ծավալը պարփակող փակ մակերևույթ է:

Ստորև թեորեմի համաձայն

$$\oint_L \mathbf{A} \cdot d\mathbf{l} = \int_S \text{rot } \mathbf{A} \cdot d\mathbf{S}, \quad (1.14)$$

որտեղ S -ը L փակ կորի վրա հենված կամայական մակերևույթ է, որի նորմալը կոնտուրի շրջանցման ուղղության հետ կազմում է աջ պտուտակային համակարգ:

Դիրակի ծ-ֆունկցիան սահմանվում է

$$\delta(x - x_0) = 0, \text{ եթե } x \neq x_0,$$

$$\int_a^b \delta(x - x_0) dx = \begin{cases} 1, & \text{եթե } x_0 \in (a, b), \\ 1/2, & \text{եթե } x_0 = a \text{ կամ } x_0 = b, \\ 0, & \text{եթե } x_0 \notin [a, b]: \end{cases} \quad (1.15)$$

առնչությունների միջոցով: ծ-ֆունկցիայի հիմնական հատկություններն են՝

$$\int_a^b f(x) \delta(x - x_0) dx = \begin{cases} f(x_0), & \text{եթե } x_0 \in (a, b), \\ \frac{1}{2} f(x_0), & \text{եթե } x_0 = a \text{ կամ } x_0 = b: \\ 0, & \text{եթե } x_0 \notin [a, b]: \end{cases} \quad (1.16)$$

$$\delta(g(x)) = \sum_i \frac{\delta(x - x_i)}{|g'(x_i)|}, \quad (1.17)$$

որտեղ $f(x)$ -ը և $g(x)$ -ը ածանցելի ֆունկցիաներ են, x_i մեծությունները $g(x) = 0$ հավասարման լուծումներն են:

Եռաչափ ծ-ֆունկցիան սահմանվում է

$$\delta(r - r_0) = \delta(x - x_0) \delta(y - y_0) \delta(z - z_0) \quad (1.18)$$

առնչությամբ և բավարարում է

$$\int_V f(r) \delta(r - r_0) dV = \begin{cases} f(r_0), & \text{եթե } r_0 \in V \\ 0, & \text{եթե } r_0 \notin V \end{cases} \quad (1.19)$$

պայմանին: Եռաչափ ծ-ֆունկցիայի համար իրավացի է հետևյալ ինտեգրալ ներկայացումը՝

$$\delta(r) = \frac{1}{(2\pi)^3} \int e^{ik \cdot r} dk: \quad (1.20)$$

$f(r, t)$ ֆունկցիայի Ֆուրիե-վերլուծությունը ունի հետևյալ տեսքը՝

$$f(r, t) = \frac{1}{(2\pi)^4} \iint f_F(k, \omega) e^{i(k \cdot r - \omega t)} dk d\omega: \quad (1.21)$$

$f_F(k, \omega) = \mathcal{F}(f(r, t))$ Ֆուրիե-պատկերը որոշվում է

$$f_F(k, \omega) = \iint f(r, t) e^{-i(k \cdot r - \omega t)} dV dt \quad (1.22)$$

հակադարձ ձևափոխության միջոցով:

$$\hat{L}\phi(x_1, x_2, \dots, x_n) = -4\pi f(x_1, x_2, \dots, x_n) \quad (1.23)$$

զծային անհամասեռ դիֆերանցիալ հավասարման $G(x_1, x'_1, \dots, x_n, x'_n)$ գրինի ֆունկցիա է կոչվում

$$\hat{L}G(x_1, x'_1, x_2, x'_2, \dots, x_n, x'_n) = -4\pi \delta(x_1 - x'_1) \cdots \delta(x_n - x'_n) \quad (1.24)$$

հավասարման լուծումը:

- 1.1** Էլեկտրաստատիկայում էլեկտրական դաշտի \mathbf{E} լարվածությունը և ϕ պոտենցիալը կապված են $\mathbf{E} = -\text{grad} \phi$ առնչությամբ: Գտեք \mathbf{E} -ն հետևյալ դեպքերում.

$$\begin{array}{ll} \text{ա) } \phi = \mathbf{a} \cdot (\mathbf{b} \times \mathbf{r}), & \text{դ) } \phi = \mathbf{p} \cdot \mathbf{r} / r^3, \\ \text{բ) } \phi = (\mathbf{a} \times \mathbf{r}) \cdot (\mathbf{b} \times \mathbf{r}), & \text{ե) } \phi = f(r)g(r), \\ \text{գ) } \phi = (\mathbf{a} \cdot \mathbf{r})\cos(\mathbf{k} \cdot \mathbf{r}), & \text{զ) } \phi = f[g(\mathbf{a} \cdot \mathbf{r})]: \end{array}$$

Ենթադրվում է, որ $\mathbf{a}, \mathbf{b}, \mathbf{k}, \mathbf{p}$ վեկտորները հաստատուն են, իսկ $f(r)$ և $g(r)$ ֆունկցիաները՝ ածանցելի:

- 1.2** Դատարկության մեջ էլեկտրաստատիկ դաշտի լարվածությունը բավարարում է $\text{div} \mathbf{E} = 0$ և $\text{rot} \mathbf{E} = 0$ հավասարումներին: Կարելի՞ է արդյոք տրված դատարկ տիրույթից դուրս լիցքների այնպիսի բաշխում ընտրել, որ նրա ներսում դաշտն ունենա այսպիսի տեսք.

- ա) $\mathbf{E} = \mathbf{E}_0,$
 բ) $\mathbf{E} = \mathbf{a}(\mathbf{b} \cdot \mathbf{r}),$
 գ) $\mathbf{E} = (\mathbf{a} \cdot \mathbf{b})\mathbf{r},$
 դ) $\mathbf{E} = \mathbf{a} \times (\mathbf{b} \times \mathbf{r}),$
 ե) $\mathbf{E} = (\mathbf{a} \cdot \mathbf{r})(\mathbf{k} \times \mathbf{r}),$
 զ) $\mathbf{E} = \mathbf{r} \times (\mathbf{b} \times \mathbf{r}),$
 տ) $\mathbf{E} = \mathbf{a}(\mathbf{b} \cdot \mathbf{r})\cos(\mathbf{k} \cdot \mathbf{r}),$
 ը) $\mathbf{E} = E_r \hat{\mathbf{e}}_r + E_\theta \hat{\mathbf{e}}_\theta + E_\alpha \hat{\mathbf{e}}_\alpha$, որտեղ E դաշտը որոշված է գնդային կոորդինատական համակարգում՝

$$E_r = Ar^{-4}(3\cos^2\Theta - 1), \quad E_\theta = Ar^{-4}\sin 2\Theta, \quad E_\alpha = 0,$$

- բ) $\mathbf{E} = E_r \hat{\mathbf{e}}_r + E_\alpha \hat{\mathbf{e}}_\alpha + E_z \hat{\mathbf{e}}_z$, որտեղ E դաշտը որոշված է գլանային կոորդինատական համակարգում՝

$$E_r = A \left(1 + \frac{R^2}{r^2} \right) \cos \alpha, \quad E_\alpha = A \left(\frac{R^2}{r^2} - 1 \right), \quad E_z = 0,$$

Այսուղի լրացներ կախված չեն կոորդինատներից, A -ն հաստատուն է:

- 1.3** Մագնիսաստատիկ դաշտը տարածության այն կետերում, որտեղ հոսանքները բացակայում են, բավարարում է $\text{rot} \mathbf{H} = 0$ և $\text{div} \mathbf{H} = 0$ հավասարումներին: Նման տիրույթից դուրս կարելի՞ է արդյոք էլեկտրական հոսանքների այնպիսի բաշխում ընտրել, որ տիրույթի ներսում մագնիսական դաշտն ունենա այսպիսի տեսք.

- ա) $\mathbf{H} = \mathbf{H}_0$, որտեղ \mathbf{H}_0 -ն հաստատուն վեկտոր է,

p) $\mathbf{H} = a(z\hat{\mathbf{e}}_x + x\hat{\mathbf{e}}_y + y\hat{\mathbf{e}}_z)$, որտեղ a -ն հաստատում է,

q) $\mathbf{H} = \frac{3(m \cdot r)r}{r^5} - \frac{m}{r^3}$, որտեղ m -ը հաստատում վեկտոր է, իսկ

$r = 0$ կետը դիտարկվող տիրույթում չէ:

- 1.4 Լիցքերի օ ծավալային խտությունը և նրանց ստեղծած E լարվածությունը բավարարում են $\text{div } E = 4\pi\rho$ հավասարմանը: Որոշեք լիցքերի օ խտությունը, եթե

w) $\mathbf{E} = (\mathbf{a} \cdot \mathbf{r})\mathbf{a}$,

p) $\mathbf{E} = qrr$,

q) $\mathbf{E} = \frac{er}{r^3} \left\{ 1 - \left[1 + \frac{2r}{a} \left(1 + \frac{r}{a} \right) \right] \exp\left(-\frac{2r}{a}\right) \right\},$

n) $\mathbf{E} = E_r \hat{\mathbf{e}}_r + E_\theta \hat{\mathbf{e}}_\theta + E_\alpha \hat{\mathbf{e}}_\alpha$, որտեղ E դաշտը որոշված է գնդային կոորդինատական համակարգում՝

$$\left. \begin{aligned} E_r &= 2\pi\rho_0 \left(r - \frac{2}{3}R \right) \cos\theta, \\ E_\theta &= \pi\rho_0 \left(\frac{4}{3}R - r \right) \sin\theta, \quad E_\alpha = 0 \end{aligned} \right\} \quad (r \leq R)$$

$$E_r = \frac{2\pi}{3}\rho_0 R^4 \frac{\cos\theta}{r^3}, \quad E_\theta = \frac{\pi}{3}\rho_0 R^4 \frac{\sin\theta}{r^3}, \quad E_\alpha = 0 \quad (r > R)$$

b) $\mathbf{E} = E_r \hat{\mathbf{e}}_r + E_\alpha \hat{\mathbf{e}}_\alpha + E_z \hat{\mathbf{e}}_z$, որտեղ E դաշտը որոշված է գլանային կոորդինատական համակարգում՝

$$\left. \begin{aligned} E_r &= \frac{4\pi}{3}\rho_0 (2r - R) \cos\alpha, \\ E_\alpha &= \frac{4\pi}{3}\rho_0 (R - r) \sin\alpha, \quad E_z = 0 \end{aligned} \right\} \quad (r \leq R),$$

$$\left. \begin{aligned} E_r &= \frac{2\pi}{3}\rho_0 R \left(1 + \frac{R^2}{r^2} \right) \cos\alpha, \\ E_\alpha &= \frac{2\pi}{3}\rho_0 R \left(\frac{R^2}{r^2} - 1 \right) \sin\alpha, \quad E_z = 0 \end{aligned} \right\} \quad (r > R):$$

Այստեղ q, e, a, R, ρ_0 մեծությունները և α վեկտորը կախված չեն կոորդինատներից:

- 1.5 Մագնիսատատիկայում էլեկտրական հոսանքի j ծավալային խտությունը և մագնիսական դաշտի H լարվածությունը կապված են $\text{rot } \mathbf{H} = \frac{4\pi}{c} j$ հավասարումով: Որոշեք j -ն, եթե

ա) $\mathbf{H} = f(r)(\mathbf{a} \times \mathbf{r})$, որտեղ $f(r)$ -ը կամայական ածանցելի ֆունկցիա է, իսկ \mathbf{a} -ն՝ հաստատուն վեկտոր,

բ) $\mathbf{H} = (\mathbf{a} \cdot \mathbf{r})(\mathbf{b} \times \mathbf{r})$, որտեղ \mathbf{a} և \mathbf{b} հաստատուն վեկտորներ են,

գ) $\mathbf{H} = H_r \hat{\mathbf{e}}_r + H_\theta \hat{\mathbf{e}}_\theta + H_\alpha \hat{\mathbf{e}}_\alpha$, որտեղ H դաշտը որոշված է գնդային կոորդինատական համակարգում՝

$$\left. \begin{aligned} H_r &= a \left(\frac{R^2}{3} - \frac{r^2}{5} \right) \cos \theta, \\ H_\theta &= a \left(\frac{2r^2}{5} - \frac{R^2}{3} \right) \sin \theta, \quad H_\alpha = 0 \end{aligned} \right\}, \quad (r \leq R),$$

$$H_r = \frac{2aR}{15r^3} \cos \theta, \quad H_\theta = \frac{aR}{15r^3} \sin \theta, \quad H_\alpha = 0. \quad (r > R):$$

Այստեղ a և R մեծությունները հաստատուններ են:

դ) $\mathbf{H} = H_r \hat{\mathbf{e}}_r + H_\alpha \hat{\mathbf{e}}_\alpha + H_z \hat{\mathbf{e}}_z$, որտեղ H դաշտը որոշված է գլանային կոորդինատական համակարգում՝

$$H_r = 0, \quad H_\alpha = gr, \quad H_z = b(R - r), \quad (r \leq R),$$

$$H_r = H_z = 0, \quad H_\alpha = \frac{gR^2}{r}. \quad (r > R):$$

Այստեղ b , g և R մեծությունները հաստատուններ են:

- 1.6 j վեկտորը ժամանակից և կոորդինատներից կախված է $j(r, t) = j(t - r/c)$ օրենքով, որտեղ c -ն լույսի արագությունն է: Ցույց տվեք, որ

$$\text{rot } \mathbf{j} = \frac{1}{c} \frac{\partial}{\partial t} \left(\frac{\mathbf{j} \times \mathbf{r}}{r} \right):$$

- 1.7 Օգտվելով ծ-ֆունկյալի հատկություններից գտեք լիցքի $\rho(r)$ ծավալային խտությունը դեկարտյան, գնդային և գլանային կոորդինատական համակարգերում, եթե ունենք՝

ա) $\mathbf{r} = r_0$ կետում տեղափոխված զ կետային լիցք,

բ) σ մակերևության խտությամբ, համաստ լիցքավորված R շառավղով գնդային մակերևույթ, որի կենտրոնը գտնվում է կոորդինատների սկզբնակետում,

- գ) λ գծային խտությամբ, համասեռ լիցքավորված R շառավղով օդակ, որը տևականությամբ ϵ է XOY հարթության մեջ, իսկ կենտրոնը գտնվում է կոորդինատների սկզբնակետում,
- դ) λ գծային խտությամբ, համասեռ լիցքավորված անվերջ լար՝ ուղղված չ առանցքով,
- ե) σ մակերևութային խտությամբ, համասեռ լիցքավորված հարթություն, որը համընկնում է XOY հարթության հետ,
- զ) σ մակերևութային խտությամբ, համասեռ լիցքավորված R շառավղով գլանային մակերևույթ, որի համաշափության առանցքը չ է:

- 1.8** Լինուավորության վրա գտնվող e և $-e$ լիցքերի համախումբն անվանում են p մոմենտով կետային դիպոլ, եթե l -ը ձգուում է գրոյի, իսկ լիցքերի բացարձակ մեծությունը՝ անվերջության, այնպես, որ

$$\lim_{l \rightarrow 0, e \rightarrow \infty} (el) = p :$$

Լ վեկտորի ուղղությունն ընտրվում է բացասական լիցքից դեպի դրականը:

r_0 կետում գտնվող p մոմենտով կետային դիպոլի լիցքի $\rho(r)$ ծավալային խտությունն արտահայտեք ծ-ֆունկցիայի միջոցով:

- 1.9** Գտեք $\Delta\phi = 0$ Լավասարի հավասարման ընդհանուր լուծումը, եթե ϕ -ն կախված է միայն՝ $a(r, p)$ ֆ, զ, զ գամեային կոորդինատներից:

- 1.10** Գտեք $\Delta\phi = 0$ Լավասարի հավասարման ընդհանուր լուծումը, եթե ϕ -ն կախված է միայն՝ $a(r, p)$ ֆ, զ, զ գամեային կոորդինատներից:

- 1.11** Ցույց տվեք, որ r_0 կետում տեղավորված q կետային լիցքի $\Phi = q/|r - r_0|$ պոտենցիալը բավարարում է

$$\Delta\phi = -4\pi q\delta(r - r_0)$$

հավասարմանը:

- 1.12** Լիցքերի տրված $\rho(r)$ ծավալային բաշխման դեպքում նրանց ստեղծած $\phi(r)$ պոտենցիալը վերադրման սկզբունքի համաձայն կարելի է հաշվել

$$\phi(r) = \int \frac{\rho(r') dV'}{|r - r'|}$$

բանաձևի օգնությամբ: Որոշեք ϕ -ն, եթե՝

ա) $\rho(r) = e\delta(r - r_0)$,

բ) $\rho(r) = -(p \cdot \nabla)\delta(r)$, որտեղ p -ն հաստատուն վեկտոր է,

զ) $\rho(r) = \begin{cases} \rho_0 = \text{const} & (r \leq R), \\ 0 & (r > R) \end{cases}$

1.13 Հաշվեք

$$\mathbf{E}(\mathbf{r}) = \int \frac{\rho(\mathbf{r}')(\mathbf{r}-\mathbf{r}')}{|\mathbf{r}-\mathbf{r}'|^3} dV', \quad \mathbf{H}(\mathbf{r}) = \frac{1}{c} \int \frac{\mathbf{j}(\mathbf{r}') \times (\mathbf{r}-\mathbf{r}')}{|\mathbf{r}-\mathbf{r}'|^3} dV'$$

դաշտերի դիվերզինցիան և ոռուորը:

1.14 Հաշվեք համակարգի

$$\mathbf{m} = \frac{1}{2c} \int (\mathbf{r} \times \mathbf{j}) dV$$

մագնիսական մոմենտը, եթե \mathbf{j} հոսանքի խտությունը հավասարէ՝

ա) $\mathbf{j} = \text{rot}[\mathbf{a} f(r)]$, որտեղ \mathbf{a} -ն հաստատուն վեկտոր է, իսկ $f(r)$ -ը $r \rightarrow \infty$ դեպքում նվազում է ավելի արագ, քան r^{-3} ֆունկցիան:

բ) $\mathbf{j} = (\mathbf{a} \times \nabla) \delta(\mathbf{r} - \mathbf{r}_0)$, որտեղ \mathbf{a} և \mathbf{r}_0 վեկտորները հաստատուն են:

1.15 Ապացուցեք, որ կամայական \mathbf{A} վեկտորական և ϕ սկալյար դաշտերի համար ճիշտ են հետևյալ ինտեգրալ նույնությունները՝

ա) $\int_V \nabla \phi(\mathbf{r}) dV = \oint_S \phi(\mathbf{r}) dS$

բ) $\int_V \nabla \cdot \mathbf{A}(\mathbf{r}) dV = \oint_S \mathbf{A}(\mathbf{r}) \cdot dS$

գ) $\int_V \nabla \times \mathbf{A}(\mathbf{r}) dV = - \oint_S \mathbf{A}(\mathbf{r}) \times dS$

դ) $\int_S dS \times \nabla \phi(\mathbf{r}) = \oint_L \phi(\mathbf{r}) dl$

ե) $\int_S (dS \times \nabla) \times \mathbf{A}(\mathbf{r}) = \oint_L dl \times \mathbf{A}(\mathbf{r})$

1.16 Ապացուցեք, որ եթե V ծավալի ներառում \mathbf{A} վեկտորը քավարարում է $\text{div} \mathbf{A} = 0$ պայմանին, իսկ V ծավալը պարփակող S մակերևույթի վրա նրա նորմալ բաղադրիչը՝ $A_n = 0$, ապա

$$\int_V \mathbf{A} dV = 0:$$

1.17 Ապացուցեք Գ-րինի նույնությունները՝

$$\int_V (\phi \Delta \psi - \psi \Delta \phi) dV = \int_S \left(\phi \frac{\partial \psi}{\partial n} - \psi \frac{\partial \phi}{\partial n} \right) dS,$$

$$\int_V (\psi \Delta \phi + \nabla \psi \nabla \phi) dV = \int_S \psi \frac{\partial \phi}{\partial n} dS,$$

որտեղ $\frac{\partial \phi}{\partial n}$ -ը և $\frac{\partial \psi}{\partial n}$ -ը ϕ և ψ սկալյար ֆունկցիաների գրադիենտների նորմալ բաղադրիչներն են S մակերևույթի նկատմամբ:

1.18 Յույց տվեք, որ եթե գնդային ծավալի ներսում ամենուրեք $\Delta\phi = 0$, ապա ϕ պոտենցիալի միջին արժեքը գնդային մակերևույթի վրա հավասար է նրա արժեքին գնդի կենտրոնում:

1.19 $\phi_F(k, \omega)$ -ն և $\mathbf{A}_F(k, \omega)$ -ն $\phi(r, t)$ սկալյար և $\mathbf{A}(r, t)$ վեկտորական ֆունկցիաների ֆուրիե-պատկերներն են՝

$$\phi_F(k, \omega) = F(\phi(r, t)), \quad \mathbf{A}_F(k, \omega) = F(\mathbf{A}(r, t))$$

Հաշվեք հետևյալ մեծությունների ֆուրիե-պատկերները՝

ա) $\frac{\partial \phi(r, t)}{\partial t}$, բ) $\frac{\partial^2 \phi(r, t)}{\partial t^2}$, զ) $\text{grad } \phi(r, t)$,

դ) $\Delta\phi(r, t)$, ե) $\text{div } \mathbf{A}(r, t)$, զ) $\text{rot } \mathbf{A}(r, t)$

1.20 Ապացույց եք, որ $f(t)$ ֆունկցիան և նրա $f(\omega)$ ժամանակային ֆուրիե-պատկերը բավարարում են

$$\int_{-\infty}^{\infty} f^2(t) dt = \frac{1}{\pi} \int_0^{\infty} |f_F(\omega)|^2 d\omega$$

հավասարմանը (Պարսեւալի հավասարում):

1.21 Հաշվեք $\phi(r) = \frac{1}{r}$ ֆունկցիայի $\phi_F(k)$ ֆուրիե պատկերը:

1.22 Ե հաստատուն արագությամբ շարժվող լիցքին համապատասխանող հոսանքի խոռոչյունը տրվում է $j(r, t) = ev\delta(r - vt)$ բանաձևով:
Հաշվեք $j(r, t)$ հոսանքի $j_F(k, \omega)$ ֆուրիե պատկերը:

1.23 Ստացեք $\Delta\phi = -4\pi\rho(r)$ Պուասոնի հավասարման $G(r, r')$ գորինի ֆունկցիան:

1.24 Ստացեք

$$\Delta\phi(r, t) - \frac{1}{c^2} \frac{\partial^2 \phi(r, t)}{\partial t^2} = -4\pi\rho(r, t)$$

Դալամբերի հավասարման գորինի ֆունկցիան:

1.25 Հաշվեք անհամասեռ ալիքային հավասարման $G(R, \tau)$ ուշացող գորինի ֆունկցիայի $G(R, \omega)$ ժամանակային ֆուրիե-պատկերը:

ԵԼԵԿՏՐԱՊԻՍԱՄԻԿԱՅԻ ՀԻՄՆԱԿԱՆ ՕՐԵՆՔՆԵՐԻ ՈՒ ՀԱՎԱՍԱՐՈՒՄՆԵՐԸ

Էլեկտրամագնիսական դաշտը բնութագրող հիմնական մեծություններն են էլեկտրական դաշտի E լարվածությունը և մագնիսական դաշտի B ինդուկցիան, որոնք դատարկության մեջ որոշվում են Մաքսվելի հավասարումներից՝

$$\text{rot} \mathbf{B} = \frac{4\pi}{c} \mathbf{j} + \frac{1}{c} \frac{\partial \mathbf{E}}{\partial t}, \quad (2.1)$$

$$\text{rot} \mathbf{E} = - \frac{1}{c} \frac{\partial \mathbf{B}}{\partial t}, \quad (2.2)$$

$$\text{div} \mathbf{B} = 0, \quad (2.3)$$

$$\text{div} \mathbf{E} = 4\pi\rho : \quad (2.4)$$

Այստեղ c -ն էլեկտրադինամիկական հաստատումն է և հավասար է լուսի արագությանը դատարկության մեջ, ρ -ն էլեկտրական լիցքերի խտությունն է, j -ն՝ էլեկտրական հոսանքի խտությունը, որոնք կապված են էլեկտրական լիցքերի պահպանության օրենքն արտահայտող

$$\text{div} \mathbf{j} + \frac{\partial \rho}{\partial t} = 0 \quad (2.5)$$

անընդիմատության (անխօնիլության) հավասարումով:

Էլեկտրական դաշտի կողմից ρ և j խտություններով բաշխված լիցքերի և հոսանքների վրա ազդող ուժի խտությունը որոշվում է

$$\mathbf{f} = \rho \mathbf{E} + \frac{1}{c} (\mathbf{j} \times \mathbf{B}) \quad (2.6)$$

բանաձևով: f -ը կոչվում է Լորենցի ուժի խտություն:

Մաքսվելի հավասարումները մի շարք փորձնական փաստերի ընդհանրացումներ են:

(2.1)-ի հիմքում ընկած են Բիո-Մակարի

$$\mathbf{B}(\mathbf{r}) = \frac{1}{c} \int \frac{\mathbf{j}(\mathbf{r}') \times (\mathbf{r} - \mathbf{r}')}{|\mathbf{r} - \mathbf{r}'|^3} dV' \quad (2.7)$$

օրենքը և այն փաստը, որ մրրկային նազնիսական դաշտի պատճառ կարող է լինել ոչ միայն էլեկտրական հոսանքը, այլև փոփոխական էլեկտրական դաշտը:

(2.2) հավասարումը Ֆարադեյի

$$\mathcal{E} = -\frac{1}{c} \frac{d\Phi}{dt} \quad (2.8)$$

օրենքի ընդհանրապումն է:

(2.8)-ում \mathcal{E} -ն մակածման էլեկտրաշարժ ուժն է L կոնտուրում, իսկ

$$\Phi = \int_S \mathbf{B} \cdot d\mathbf{S}$$

մեծությունը՝ մագնիսական ինդուկցիայի վեկտորի հոսքը այդ կոնտուրին հենված S մակերևույթով:

(2.3) հավասարումն արտահայտում է մագնիսական լիցքնի բացակայության փաստը:

(2.4)-ի հիմքում Կովոնի օրենքն է՝

$$\mathbf{E} = \frac{q \mathbf{r}}{r^3} : \quad (2.9)$$

Միջավայրերում, որտեղ ներքին դաշտերը պայմանավորված են ինչպես արտաքին դաշտերով, այնպես էլ միջավայրերի էլեկտրական և մագնիսական բնեուացումներով, հարմար է մուցնել էլեկտրամագնիսական դաշտի ևս երկու բնութագիր՝ էլեկտրական դաշտի \mathbf{D} ինդուկցիան և մագնիսական դաշտի \mathbf{H} լարվածությունը՝

$$\mathbf{D} = \mathbf{E} + 4\pi \mathbf{P}, \quad (2.10)$$

$$\mathbf{H} = \mathbf{B} - 4\pi \mathbf{I}, \quad (2.11)$$

որտեղ \mathbf{P} -ն միավոր ծավալի էլեկտրական դիպոլային մոմենտն է (էլեկտրական բնեուացումը), \mathbf{I} -ն՝ միավոր ծավալի մագնիսական մոմենտը (մագնիսացումը):

Մաքսվելի հավասարումները միջավայրերում ունեն այսպիսի տեսք՝

$$\text{rot } \mathbf{H} = \frac{4\pi}{c} \mathbf{j} + \frac{1}{c} \frac{\partial \mathbf{D}}{\partial t}, \quad (2.12)$$

$$\text{rot } \mathbf{E} = - \frac{1}{c} \frac{\partial \mathbf{B}}{\partial t}, \quad (2.13)$$

$$\text{div } \mathbf{B} = 0, \quad (2.14)$$

$$\text{div } \mathbf{D} = 4\pi \rho : \quad (2.15)$$

Եթե դիտարկվող միջավայրը համաստ է և իզոտրոպ, իսկ արտաքին դաշտերը շատ ավելի փոքր են ներքին ատոմական դաշտերից, \mathbf{D} , \mathbf{E} և \mathbf{H} , \mathbf{B} վեկտորները կապված են պարզ գծային օրենքով

$$\mathbf{D} = \epsilon \mathbf{E}, \quad (2.16)$$

$$\mathbf{H} = \frac{1}{\mu} \mathbf{B}, \quad (2.17)$$

որտեղ ϵ -ը միջավայրի դիէլեկտրական թափանցելիությունն է, μ -ն՝ մագնիսական թափանցելիությունը:

Միջավայրերի բաժանման սահմանին դաշտի վեկտորները բավարարում են

$$\mathbf{B}_{2n} = \mathbf{B}_{1n}, \quad (2.18)$$

$$\mathbf{E}_{2t} = \mathbf{E}_{1t}, \quad (2.19)$$

$$D_{2n} - D_{1n} = 4\pi\sigma, \quad (2.20)$$

$$H_{2t} - H_{1t} = \frac{4\pi}{c} i \quad (2.21)$$

սահմանային պայմաններին: Այստեղ n և t ի հաղեքսներով նշանակվել են վեկտորների նորմալ և տաճանաչափը բաղադրիչները: Բաժանման մակերևույթի \hat{n} նորմալը առաջին միջավայրից ուղղված է դեպի երկրորդ միջավայրը: σ -ն ազատ լիցքերի մակերևութային խտությունն է, i -ն՝ մակերևութային լիցքերի հոսանքի խտությունը:

Էլեկտրամագնիսական դաշտը կարելի է բնութագրել Փ սկալյար և \mathbf{A} վեկտորական պոտենցիալների միջոցով, որոնք \mathbf{E} և \mathbf{B} վեկտորների հետ կապված են

$$\mathbf{B} = \text{rot} \mathbf{A}, \quad (2.22)$$

$$\mathbf{E} = -\text{grad} \varphi - \frac{1}{c} \frac{\partial \mathbf{A}}{\partial t} \quad (2.23)$$

առնչություններով:

$$\text{div} \mathbf{A} + \frac{\epsilon \mu}{c} \frac{\partial \varphi}{\partial t} = 0 \quad (2.24)$$

Լորենցի պայմանի դեպքում φ և \mathbf{A} պրոտենցիալները բավարարում են Դալամբերի հավասարմանը (անհամասեռ ալիքային հավասարմանը):

$$\Delta \varphi - \frac{\epsilon \mu}{c^2} \frac{\partial^2 \varphi}{\partial t^2} = -\frac{4\pi}{\epsilon} \rho, \quad (2.25)$$

$$\Delta \mathbf{A} - \frac{\epsilon \mu}{c^2} \frac{\partial^2 \mathbf{A}}{\partial t^2} = -\frac{4\pi \mu}{c} \mathbf{j}: \quad (2.26)$$

Էներգիայի պահպանության օրենքը էլեկտրադինամիկայում արտահայտվում է, այսպես կոչված, էներգիայի հաշվեկշռի հավասարումով (Π ոյնտինգի թեորեմ):

$$Q = -\frac{\partial \omega}{\partial t} - \text{div} \mathbf{S}, \quad (2.27)$$

որտեղ Q -ն էլեկտրամագնիսական դաշտի կատարած աշխատանքն է միավոր ժավալի ազատ լիցքերի վրա, միավոր ժամանակում՝

$$Q = j \cdot E, \quad (2.28)$$

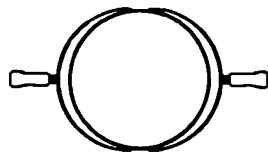
ա-ն էլեկտրամագնիսական դաշտի էներգիայի խտությունն է միջավայրում՝

$$w = \frac{1}{8\pi} (E \cdot D + B \cdot H), \quad (2.29)$$

S-ը էլեկտրամագնիսական էներգիայի հոսքի խտությունը միջավայրում (Պոյնտինգի վեկտոր)

$$S = \frac{c}{4\pi} (E \times H): \quad (2.30)$$

- 2.1** 1771 թ. անգլիացի ֆիզիկոս Ջավենդիչը փորձով ցույց է տվել, որ եթե լիցքավորված մետաղյա գնդին հայենք մեկուսիչ բռնակներով երկու մետաղյա կիսուլորտներ և հետո հեռացնենք, ապա արդյունքում գնդի լիցքը կհավասարվի զրոյի:



Ենթադրենով, որ երկու էլեկտրական լիցքի փոխազդեցությունը կենտրոնական բնույթի է, այսինքն նրանց փոխազդեցության ուժը կարելի է ներկայացնել $F_{12} = e_1 e_2 f(r)r/r$ տեսքով, և հենվելով Ջավենդիչի փորձի արդյունքների վրա՝ ցույց տվեք, որ $f(r) = 1/r^2$:

- 2.2** Ընդունելով, որ r_0 շառավիղ վեկտորով կետում գտնվող Idl հոսանքի տարրի ստեղծած dB դաշտը r կետում ունի $dl \times R$ ուղղություն ($R = r - r_0$) և գրելով $dB = I(dl \times R)f(R)$, գտեք $f(R)$ Փունկցիան՝ օգտվելով այն փորձնական փաստից, որ հոսանքատար սլենոիդի դաշտը նրանից դուրս հավասար է զրոյի:

- 2.3** Օգտվելով Կոլունի օրենքից և Վերադրման սկզբունքից, ստացեք Մաքսվելի $\text{div}E = 4\pi\rho$ հավասարումը:

- 2.4** Օգտվելով Ֆարաենի էլեկտրամագնիսական մակածման օրենքից ստացեք Մաքսվելի $\text{rot}E = -\frac{1}{c} \frac{\partial B}{\partial t}$ հավասարումը:

- 2.5** Օգտվելով Ամպերի բանաձևից՝ $dF = \frac{I}{c} (dl \times B)$, ցույց տվեք, որ B մագնիսական դաշտում ու արագությամբ շարժվող e կետային լիցքի վրա ազդում է $F = \frac{e}{c} (v \times B)$ ուժը (Լորենցի ուժը):

2.6 Ապացուցեք Զ.Զ.Թոմսոնի երկու թեորեմները.

ա) Եթե էլեկտրամագնիսական դաշտը ստեղծում է հաստատուն արագությամբ շարժվող լիցքերի համակարգը, ապա

$$\mathbf{B} = \mathbf{v} \times \mathbf{E} / c:$$

բ) Եթե էլեկտրամագնիսական դաշտը ստեղծում են հաստատուն արագությամբ շարժվող հաստատուն հոսանքները, ապա

$$\mathbf{E} = \mathbf{v} \times \mathbf{B} / c:$$

2.7 Ցույց տվեք, որ Մաքսվելի (2.3) և (2.4) հավասարումները (2.1) և (2.2) հավասարումների սկզբնական պայմաններն են:

2.8 Ցույց տվեք, որ (2.5) ամընդհատության հավասարումը պարունակվում է Մաքսվելի հավասարումների մեջ:

2.9 Ցույց տվեք, որ լիցքերի և հոսանքների բայցակայության դեպքում էլեկտրական դաշտի \mathbf{E} լարվածությունը և մագնիսական դաշտի \mathbf{B} ինդուկցիան բավարարում են ալիքային հավասարմանը:

2.10 Ինչպիսի՞ հավասարումների են բավարարում φ և \mathbf{A} պոտենցիալները ϵ և μ բափանցելիություններով համասեռ միջավայրում, $\text{div} \mathbf{A} = 0$ Կուլոնյան չափաբերման պայմանի դեպքում:

2.11 Ցույց տվեք, որ արտաքին մագնիսական դաշտը չի կարող բափանցել իդեալական հաղորդիչի մեջ:

2.12 Օգտվելով էներգիայի պահպանության օրենքից և էլեկտրամագնիսական դաշտի էներգիայի դրականության պայմանից, ստացեք Լենցի կանոնը:

2.13 Ցույց տվեք, որ միջավայրի բայցակայության դեպքում Լորենցի ուժի խտությունը կարելի է ներկայացնել

$$f_k = -\frac{\partial g_k}{\partial t} + \frac{\partial T_{ik}}{\partial x_i}$$

տեսքով, որտեղ

$$\mathbf{g} = \frac{1}{4\pi c} (\mathbf{E} \times \mathbf{B}), \quad T_{ik} = \frac{1}{4\pi} \left\{ E_i E_k + B_i B_k - \frac{1}{2} (E^2 + B^2) \delta_{ik} \right\}:$$

2.14 Օգտվելով իմպուլսի պահպանության օրենքից և համարելով, որ էլեկտրամագնիսական դաշտին կարելի է վերագրել մեխանիկական իմպուլս, պարզեք նախորդ խնդրում մտցրած \mathbf{g} և T_{ik} մեծությունների ֆիզիկական իմաստը:

2.15 Ցույց տվեք, որ ատատիկ դեպքում T_{ik} լարումների թենգորի հոսքը V ծավալը պարփակող S նակերնույթով հավասար է այդ ծավալի ներսում գտնվող լիցքավորված մասնիկների վրա ազդող գումարային ուժին:

- 2.16** Օգտվելով էներգիայի հաշվեկշռի հավասարումից ապաստուցեք, որ Մաքսվելի հավասարումների համակարգը $E(r,t)$, $H(r,t)$ դաշտերի համար V ծավալում, յանկացած է պահին ունի միակ լուծում, եթե
 ա) V ծավալի յուրաքանչյուր կետում տրված են այդ վեկտորները $t = 0$ պահին,
 բ) ժամանակի յանկացած պահին հայտնի է այդ վեկտորներից որևէ մեկի տանգենցիալ բաղադրիչը V ծավալը պարփակող S մակերևույթի յուրաքանչյուր կետում:

- 2.17** Ցույց տվեք, որ երկու միջավայրերի սահմանի վրա հոսանքի խտության նորմալ և տանգենցիալ բաղադրիչները բավարարում են

$$\frac{j_{1x}}{\lambda_1} - \frac{j_{1t}}{\lambda_2} = 0, \quad j_{2x} - j_{1x} = -\frac{\partial \sigma}{\partial t},$$

պայմաններին, որտեղ λ -ն նյութի տեսակարար հաղորդականությունն է, իսկ σ -ն մակերևութային լիցքերի խտությունը:

- 2.18** Մաքսվելի հավասարումները միջավայրերում գրեք Լորենցի ուժը որոշող E և B դաշտերի և միջավայրում նրանց մակածած օչապպ և $j_{կապ}$ լիցքերի և հոսանքների խտությունների միջոցով: Ցույց տվեք, որ $\rho_{կապ}$ -ը և $j_{կապ}$ -ը բավարարում են անխօնիության հավասարմանը:

- 2.19** Ցույց տվեք, որ լիցքերի δr աճվերջ փոքր տեղափոխության ժամանակ նրանց ը խտությունը փոխվում է $\delta r = -\operatorname{div}(\rho \delta r)$ չափով:

- 2.20** Ստացեք էլեկտրական դիպոլի պոտենցիալն ու լարվածությունը $r >> l$ հեռու կետերում, որտեղ l -ը դիպոլի լիցքերի հեռավորությունն է: Պատասխանն արտահայտեք $p = el$ դիպոլային մոմենտի միջոցով:

- 2.21** Տրված է էլեկտրական քննուայման վեկտորի $P(r)$ դաշտը: Հայտնի է, որ $P(r)$ ֆունկցիան շատ հեռվում ավելի արագ է նվազում, քան $1/r^2$ ֆունկցիան: Ապաստուցեք, որ քննուայման վեկտորի այդալիքի բաշխվածությամբ ստեղծված էլեկտրական դաշտը հանարժեք է $\rho(r) = -\operatorname{div}P(r)$ ծավալային խտությամբ լիցքի դաշտին:

- 2.22** Ցույց տվեք, որ կապված լիցքերի

$$\int_V \rho_{կապ} dV = 0$$

չեղոքության պայմանից և

$$\frac{\partial \rho_{\text{կապ}}}{\partial t} + \operatorname{div} j_{\text{կապ}} = 0$$

պահպանության օրենքից հետևում են կապված լիցքերի և հոսանքների հետևյալ ներկայացումները՝

$$\rho_{\text{կապ}} = -\operatorname{div} P, \quad j_{\text{կապ}} = \frac{\partial P}{\partial t} + c \operatorname{rot} I :$$

Ենթադրվում է, որ այսպես որոշված P և I վեկտորները նյութից դուրս հավասար են զրոյի:

2.23 Նյութի V ծավալով մակրոկտորի P էլեկտրական և m մագնիսական դիպոլային նոմենտները սահմանվում են այսպես՝

$$P = \int_V \rho_{\text{կապ}} r dV, \quad m = \frac{1}{2c} \int_V (r \times j_{\text{կապ}}) dV :$$

P -ն և m -ը արտահայտելով նախորդ խնդրում մտցրած P և I վեկտորների միջոցով, պարզեր վերջիններիս ֆիզիկական իմաստը:

2.24 Ցույց տվեք, որ կապված լիցքերի չեզքորության պայմանի շնորհիվ P էլեկտրական դիպոլային նոմենտը կախված չէ կոռորդինատների սկզբնակետի ընտրությունից:

2.25 Ցույց տվեք, որ $\partial P / \partial t = 0$ պայմանի շնորհիվ m մագնիսական մոմենտը կախված չէ կոռորդինատների սկզբնակետի ընտրությունից:

2.26 Ցույց տվեք, որ $j = c \operatorname{rot} I$ մագնիսացումով պայմանավորված հոսանքի խտորդյան ներդրումը նորության կանաչական կտրվածքով անցնող լրիվ հոսանքի մեջ հավասար է զրոյի:

2.27 Ժամանակի $t = 0$ պահին միանում է $B = B(t)$ լարվածությամբ մագնիսական դաշտը ($B(0) = 0$), որի ուղղությունը չի փոխվում: Դաշտում գտնվող m գանգվածով և Q լիցքով համաստ գունդը դաշտի ազդեցության տակ սկսում է պտտվել: Ենթադրելով, որ զնոյի ներսում B դաշտը համաստ է և անտեսելով զնոյի հակադարձ ազդեցությունը արտաքին մագնիսական դաշտի վրա, որոշեք զնոյի պտույտի Ω անկյունային արագությունը:

2.28 Գրեք Մաքսվելի հավասարումները $E(r, t)$ և $B(r, t)$ դաշտերի ժամանակային և լրիվ Ֆուրիե-պատկերների համար (դատարկության դեպքում):

2.29 Լորենցի պայմանը և ալիքային հավասարումները գրեք $\phi(r, t)$ և $A(r, t)$ պոտենցիալների ժամանակային և լրիվ Ֆուրիե-պատկերների համար (դատարկության դեպքում):

ԷԼԵԿՏՐԱՊԻՆԱՄԻԿԱՅԻ ՆՅՈՒԹԱԿԱՆ ՀԱՎԱՍԱՐՈՒՄՆԵՐԸ

E արտաքին դաշտում դիէլեկտրական միջավայրը բնութագրվում է $P = \sum_i p_i$, էլեկտրական բնեռացման վեկտորով, որտեղ p_i -ն միջավայրի i -րդ մասնիկի (ատոմի, իոնի, նոլեկուլի) դիպոլային մոմենտն է, իսկ գումարումը կատարվում է ըստ միավոր ծավալի բոլոր մասնիկների: Բնեռացման մեխանիզմի տեսակետից դիէլեկտրիկները բաժանվում են երկու հիմնական խմբի՝ բնեռային և ոչ բնեռային դիէլեկտրիկների:

Բնեռային դիէլեկտրիկներում միջավայրի մասնիկներն օժտված են սեփական դիպոլային մոմենտով (կոչու դիպոլներ), որոնք երբ արտաքին դաշտը բայցայում է, ունեն քառային ուղղվածություն: Արտաքին դաշտում նրանք ձեռք են բերում գերադասելի ուղղվածություն և միջավայրը բնեռանում է:

Ոչ բնեռային դիէլեկտրիկներում միջավայրի մասնիկները սեփական էլեկտրական դիպոլային մոմենտ չունեն, սակայն արտաքին էլեկտրական դաշտում կառուցվածքային մասնիկների ներսում (ատոմ, մոլեկուլ) դրական և բացասական լիցքերի կենտրոնների հակուրդված տեղաշարժերի պատճառով դրանք ձեռք են բերում դիպոլային մոմենտ: Այդպիսի դիպոլները ստուգել են քվազիառաճգական դիպոլներ անվանումը: Ներքին ատոմական դաշտերի համեմատությամբ բույլ արտաքին դաշտերում քվազիառաճգական դիպոլների ձեռք բերած մոմենտը համեմատական է դաշտին՝ $p = \gamma_e E$, γ_e -ն կոչվում է բնեռացման գործակից (բնեռացման դիպոլային անդամություն):

Ոչ նույն դիէլեկտրիկներում միջավայրի մասնիկների վլա ազդող E' տեղային (լոկալ) դաշտը միջավայրի բնեռացման պատճառով կարող է զգալիորեն տարբերվել E արտաքին դաշտից: Եզրուապ միջավայրերում E' տեղային և E արտաքին դաշտերը կապված են

$$E' = E + \frac{4\pi P}{3} \quad (3.1)$$

առնչությամբ, որտեղ $4\pi P/3$ անդամը կոչվում է Լորենցի արդյունարար դաշտ:

Ներքին ատոմական դաշտերի համեմատությամբ բույլ արտաքին դաշտերում $P(E)$ և $D(E)$ կախվածությունները գծային են: E հաստատուն արտաքին դաշտում տեղափորված իզոտրոպ դիէլեկտրիկներում այդ կապերն ունեն պարզագույն տեսք՝

$$\mathbf{P} = \chi_{\epsilon}^{(0)} \mathbf{E}, \quad \mathbf{D} = \epsilon^{(0)} \mathbf{E}, \quad (3.2)$$

որտեղ $\chi_{\epsilon}^{(0)}$ -ն միջավայրի ստատիկ դիէլեկտրական ընկալունակությունն է, $\epsilon^{(0)}$ -ն՝ ստատիկ դիէլեկտրական քափանցնելիությունը: Անգոտորոպ միջավայրերում (3.2) առնչությունները փոխարինվում են

$$P_i = \chi_{ik} E_k, \quad D_i = \epsilon_{ik} E_k \quad (3.3)$$

թենգորական առնչություններով:

Փոփոխական էլեկտրական դաշտում \mathbf{P} և \mathbf{E} վեկտորների միջև ամենաընդհանուր գծային կապը համասեռ միջավայրերում ունի

$$\mathbf{P}(\mathbf{r}, t) = \int_{-\infty}^t dt' \int dV' \kappa(\mathbf{r} - \mathbf{r}', t - t') \mathbf{E}(\mathbf{r}', t') \quad (3.4)$$

տեսքը, որտեղ $\kappa(\mathbf{r}, t)$ ֆունկցիան որոշվում է միջավայրի հատկություններով: (3.4)-ում հաշվի է առնված, որ տարածության \mathbf{r} կետում ժամանակի t պահին էլեկտրական ընռուացումը կարող է կախված լինել ինչպես շրջակա կետերում դաշտի արժեքներից (տարածական դիսպերսիայի երևույթ), այնպես էլ պահին նախորդած պահերին դաշտի արժեքներից (ժամանակային դիսպերսիայի երևույթ): Տարածական դիսպերսիայի բացակայության դեպքում (3.4)-ը դառնում է

$$\mathbf{P}(t) = \int_{-\infty}^t \kappa(t-t') \mathbf{E}(t') dt' \quad (3.5)$$

կամ անցնելով \mathbf{P} և \mathbf{E} ֆունկցիաների ֆուրիե պատկերներին՝

$$\mathbf{P}(\omega) = \chi_{\epsilon}(\omega) \mathbf{E}(\omega), \quad (3.6)$$

որտեղ

$$\chi_{\epsilon}(\omega) = \int_0^{\infty} \kappa(t) e^{i\omega t} dt: \quad (3.7)$$

Տարածական դիսպերսիայի բացակայության դեպքում $\mathbf{D}(t)$ և $\mathbf{E}(t)$ վեկտորների միջև կապն ընդունված է գրել

$$\mathbf{D}(t) = \mathbf{E}(t) + 4\pi \int_{-\infty}^t \kappa(t-t') \mathbf{E}(t') dt' \quad (3.8)$$

տեսքով, կամ, ֆուրիե-պատկերների համար՝

$$\mathbf{D}(\omega) = \epsilon(\omega) \mathbf{E}(\omega), \quad (3.9)$$

որտեղ

$$\epsilon(\omega) = 1 + 4\pi \chi_{\epsilon}(\omega): \quad (3.10)$$

(3.6)-ում և (3.9)-ում $\chi(\omega)$ և $\varepsilon(\omega)$ կոմպլեքս գործակիցները նույնական կոչվում են դիելեկտրական ընկալունակություն և դիէլեկտրական քափանցելիություն, սակայն նրանք հիմա կապ են հաստատում տրված հաճախությանը համապատասխանող $P(\omega)$, $E(\omega)$ և $D(\omega)$, $E(\omega)$ վեկտորների միջև և իրենք էլ կախված են նույն հաճախությունից (այդ պատճառով ժամանակային դիսպերսիայի փոխարեն օգտագործում են նաև հաճախային դիսպերսիա անվանումը):

$$\varepsilon(\omega) = \varepsilon'(\omega) + i\varepsilon''(\omega) \quad (3.11)$$

Կոմպլեքս քափանցելիության իրական մասը ω -ից կախված զույգ ֆունկիա է, կեղծ մասը՝ կենտ ֆունկիա՝

$$\varepsilon'(-\omega) = \varepsilon'(\omega), \quad \varepsilon''(-\omega) = -\varepsilon''(\omega): \quad (3.12)$$

Սրանք իրար հետ կապված են, այսպես կոչված, դիսպերսիոն առնչություններով (Քրամերս-Քրոնիզի առնչություններ):

$$\varepsilon'(\omega) - 1 = \frac{1}{\pi} P \int_{-\infty}^{\infty} \frac{\varepsilon''(\omega')}{\omega' - \omega} d\omega', \quad (3.13)$$

$$\varepsilon''(\omega) = \frac{1}{\pi} P \int_{-\infty}^{\infty} \frac{\varepsilon'(\omega') - 1}{\omega' - \omega} d\omega', \quad (3.14)$$

Որտեղ P նշանը ցույց է տալիս, որ ինտեգրալները հաշվվում են զիսավոր արժեքի իմաստով:

Մագնետիկների հիմնական բնութագրերից է I մագնիսական բնեղացման (մագնիսացման) վեկտորը, որը բույլ դաշտերի դեպքում գծայնորեն է կախված մագնիսական ինդուկցիայից: Ըստ որում հաստատում դաշտում գտնվող իզոտրոպ մագնետիկներում

$$I = \chi_m^{(0)} B, \quad H = \frac{1}{\mu^{(0)}} B, \quad (3.15)$$

Որտեղ $\chi_m^{(0)}$ -ն ստատիկ մագնիսական ընկալունակությունն է, $\mu^{(0)}$ -ն՝ մագնիսական քափանցելիությունը: Մագնետիկները դասակարգվում են ըստ մագնիսական ընկալունակության մեծության և նշանի: $\chi_m^{(0)} < 0$ հատկությամբ միջավայրերը կոչվում են դիամագնիսներ, $\chi_m^{(0)} > 0$ պարամագնիսներ: Ծատ մեծ մագնիսական ընկալունակությամբ նյութերը ($\chi_m^{(0)} >> 0$) կոչվում են ֆեռոմագնիսներ, սակայն նրանց համար $I(B)$ կապը գծային չէ:

Արտաքին մագնիսական դաշտի ազդեցության տակ դիամագնիսների ատոմների էլեկտրոնային քաղանքներում էլեկտրամագնիսական մակածման օրենքի համաձայն առաջանում են մակածված շրջանային

հոսանքներ, որոնցով պայմանավորված մագնիսական մոմենտները, Լենցի կանոնի համաձայն, հակառակ են ուղղված մագնիսական դաշտին: Դիամագնիսությունը բնորոշ է բոլոր նյութերին, սակայն դրանով պայմանավորված մագնիսացումը բույլ է ($|j| \sim 10^{-6}$):

Պարամագնիսներում ատոմներն օժտված են սեփական մագնիսական մոմենտով. սակայն դրանց ուղղվածությունը տարածության մեջ քառային է, այնպես որ, արտաքին մագնիսական դաշտի բացակայության դեպքում նրանք մագնիսական հատկություններ չեն դրսնորում: Արտաքին մագնիսական դաշտում մագնիսական դիպոլները ձեռք են բերում զերադասելի ուղղվածություն և միջավայրը մագնիսանում է: Պարամագնիսների մագնիսական բափանցելիությունը մեծ չէ ($\chi_{\text{m}}^{(0)} \sim 10^{-6} \div 10^{-4}$) և կախված է միջավայրի ջերմաստիճանից:

Փոփոխական մագնիսական դաշտներում $\chi_{\text{m}}(\omega)$ և $\mu(\omega)$ մեծությունների հատկությունները նման են $\chi_e(\omega)$ -ի և $\epsilon(\omega)$ -ի հատկություններին, միայն թե ω -ի աճի հետ $\mu(\omega)$ մագնիսական բափանցելիությունը արագ զգուռում է մենքի:

Մետաղների էլեկտրոնային տեսառյունում (Դրույդ-Լորենցի տեսառյուն) ենթադրվում է, որ մետաղներում կա ազատ էլեկտրոնային գազ, ըստ որում արտաքին դաշտի բացակայության դեպքում էլեկտրոնները կատարում են չկարգավորված ջերմային շարժում: Արտաքին էլեկտրական դաշտում էլեկտրոնների ջերմային շարժմանը գումարվում է ուղղորդված շարժում և առաջանում է էլեկտրական հոսանք: Ենթադրվում է, որ էլեկտրոնների բախումները միմյանց հետ կարելի է անտեսել, իսկ իրների հետ բախվելիս էլեկտրոններն ամբողջովին նրանց ենթադրում արտաքին էլեկտրական դաշտում ձեռք բերած էներգիան, որի հետևանքով միջավայրը տաքանում է (անջատվում է ջոռվան ջերմություն): Այս ենթադրությունների հիման վրա կարելի է բացատրել Օմի

$$j = \lambda E \quad (3.16)$$

և Զոռու-Լենցի

$$q = \lambda E^2 \quad (3.17)$$

օրենքները, որտեղ j -ն հոսանքի խտությունն է, q -ն՝ միջավայրի միավոր ծավալում միավոր ժամանակում անջատված ջերմության քանակը, λ -ն՝ ստատիկ հաղորդականությունը:

Փոփոխական էլեկտրական դաշտում հաղորդականությունը կախված է դաշտի առաջախությունից և կապ է հաստատում $j(\omega)$ և $E(\omega)$ վեկտորների միջև՝

$$j(\omega) = \lambda(\omega)E(\omega): \quad (3.18)$$

λ(ω) կոմպլեքս հաղորդականության համար նոյնպես տեղի ունեն (3.11)-(3.14) տիպի առնչություններ:

Նշենք, որ $\varepsilon(\omega)$, $\mu(\omega)$, $\lambda(\omega)$ կոմպլեքս մեծությունների իրական մասերը բնութագրում են էլեկտրամագնիսական ալիքների ցրումը միջավայրերում, իսկ կեղծ մասերը՝ միջավայրի կլանող հատկությունները:

- 3.1 Ելնելով ընդհանուր դասողություններից որոշեք, թե հաստատում էլեկտրական դաշտում ինչ տեսք ունի ոչ բնեռային դիէլեկտրիկ-ների $\chi_e^{(0)}$ դիէլեկտրական ընկալունակությունը:
- 3.2 Գտեք ատոմի γ_e բնեռայնվելիությունը, եթե էլեկտրոնները շարժվում են շրջանագծային ուղղերերով:
- 3.3 Զրածնի ատոմում էլեկտրոնային ամպի խտությունը նկարագրվում է

$$\rho(r) = -\frac{e}{\pi a^3} e^{-2r/a}$$

բանաձևով, որտեղ e -ն տարրական լիցքն է, a -ն հաստատում է: Որոշեք ատոմի γ_e բնեռայնման գործակիցը (բնեռայնվելիությունը)՝ համարելով, որ էլեկտրոնային ամպի տեսքը մնում է անփոփոխ:

- 3.4 Հավանականությունը, որ \mathbf{p} դիպոլային մոմենտով նոլեկուլը արտաքին դաշտի հետ կկազմի $d\Omega$ մարմնային անկյան մեջ ընկած 9 անկյուն, տրվում է Բոլյմանի բաշխումով՝

$$dw = Ge^{-W(9)/kT} d\Omega,$$

որտեղ G -ն շափաբերման հաստատունն է, $W(9) = -\mathbf{p} \cdot \mathbf{E}$ մեծությունը՝ \mathbf{p} դիպոլի և \mathbf{E} դաշտի փոխազդեցության էներգիան, k -ն Բոլյմանի հաստատունը, T -ն միջավայրի ջերմաստիճանը: Օգտվելով Բոլյմանի բաշխումից հաշվեք միջավայրի դիէլեկտրական ընկալունակությունը \mathbf{p} դիպոլային մոմենտով կոչտ դիպոլներից կազմված բնեռային դիէլեկտրիկում: Առանձին քննարկեք $\mathbf{p} \cdot \mathbf{E} <> kT$ և $\mathbf{p} \cdot \mathbf{E} >> kT$ դեպքերը:

- 3.5 Ընդունելով, որ իզոտրոպ դիէլեկտրիկի ներսում գործող \mathbf{E}' տեղային դաշտը \mathbf{E} արտաքին դաշտի հետ կապված է $\mathbf{E}' = \mathbf{E} + 4\pi\mathbf{P}/3$ առնչությամբ, ստացեք կապ $\varepsilon^{(0)}$ դիէլեկտրական բափանցելիության և $\chi_e^{(0)}$ դիէլեկտրական ընկալունակության միջև (Կլաուգուս-Մոստիի առնչություն):

- 3.6** Օգտվելով էլեկտրաստատիկ դաշտի էներգիայի խտության $w = E \cdot D / 8\pi$ արտահայտությունից, ցույց տվեք, որ $\epsilon_{ik} \eta_{ik} \epsilon_{ik}$ -տրական թենզորը համաչափ է՝ $\epsilon_{ik} = \epsilon_{ik}$:
- 3.7** Որոշեք առ սեփական հաճախությամբ լիցքավորված տարածական օսցիլյատորի տատանումների հաճախությունը B հաստատուն մագնիսական դաշտում:
- 3.8** Հաշվեք B համասեռ մագնիսական դաշտի միացման ժամանակ մակածված մրրկային էլեկտրական դաշտի կողմից ատոմական էլեկտրոնին հաղորդված ΔP իմպուլսը:
- 3.9** Հաշվեք B համասեռ մագնիսական դաշտի միացման ժամանակ մակածված մրրկային էլեկտրական դաշտի կատարած ΔA աշխատանքը շրջանագծային ուղեծրով շարժվող ատոմական էլեկտրոնի վրա: Ենթադրեք, որ էլեկտրոնի առ անկյունային արագության փոփոխությունը շատ փոքր է:
- 3.10** Հաշվեք միջավայրի էլեկտրոնների Լարմորյան պտույտով պայմանավորված մագնիսական բևեռացման I վեկտորը (դիամագնիսացում):
- 3.11** Օգտվելով նախորդ խնդրի արդյունքից և էլեկտրոնային ամպի խտության համար 3.3 խնդրում բերված բանաձևից՝ հաշվեք ջրածնի ատոմներից կազմված միջավայրի $\chi^{(0)}$ մագնիսական ընկալունակությունը:
- 3.12** Հաշվեք m_0 մագնիսական մոմենտով մոլեկուլներից կազմված միջավայրի մագնիսական բևեռացման I վեկտորը (պարամագնիսացում):
- 3.13** Ցույց տվեք, որ B_0 արտաքին հաստատուն մագնիսական դաշտում գտնվող պարամագնիսներում I մագնիսացման վեկտորը շրջանային պրեցեսիա է կատարում B_0 վեկտորի ուղղության շուրջը:
- 3.14** Ելնելով մետաղների Դրադե-Լորենցի էլեկտրոնային տեսության դրույթներից
- ա) ստուգեք հոսանքի խտության և արտաքին էլեկտրական դաշտի լարվածության $j(E)$ կախվածությունը: Զննարկեք փոքր և մեծ դաշտերի դեպքը.
- բ) ստուգեք հաղորդիչի միավոր ծավալում միավոր ժամանակում անջատված ջերմության քանակի $q(E)$ կախվածությունը արտաքին էլեկտրական դաշտի E լարվածությունից,

գ) Յույց տվեք, որ եթե համասեռ, հաստատուն **B** մազնիսական դաշտին ուղղահայաց, երկար, **d** լայնությամբ մետաղյա ժապավենի երկայնքով անցնում է **j** խտությամբ հոսանք, ապա ժապավենի եղբերին առաջանում է $\Delta\phi \sim jBd$ պոտենցիալների տարբերություն (ζ ոլլի էֆեկտ):

3.15 Ընդունելով, որ գերհաղորդիչներում նյութական հավասարումն ունի

$$j = -\frac{c}{4\pi\Lambda_0} A$$

տեսքը (Լոնդոնների հավասարում), որտեղ j -ն հոսանքի խտությունն է, A -ը՝ վեկտոր-պոտենցիալը. $\Lambda_0 = mc^2 / 4\pi N_e e^2$, N_e -ն էլեկտրոնների խտությունն է, յույց տվեք, որ մազնիսական դաշտը չի թափանցում գերհաղորդիչի ներսը (Մայների էֆեկտ):

3.16 Հաշվեք m զանգվածով և q լիցքով չփոխազդող մասնիկներից կազմված նոսր գազի $\chi_e(\omega)$ դիէլեկտրական ընկալունակությունը և $\epsilon(\omega)$ դիէլեկտրական թափանցելիությունը:

3.17 Յույց տվեք, որ մեծ հաճախությամբ փոփոխվող էլեկտրամագնիսական դաշտում բոլոր նյութերի $\epsilon(\omega)$ դիէլեկտրական թափանցելիությունը որոշվում է նախորդ խոդրում ստացված առնչությամբ, որտեղ N -ը միջավայրի էլեկտրոնների խտությունն է:

3.18 Որոշեք նոսր, ոչ քենուային դիէլեկտրիկների $\chi_e(\omega)$ ընկալունակությունը և $\epsilon(\omega)$ թափանցելիությունը: Ենթադրվում է, որ ω_i հաճախությամբ էլեկտրոնների հարաբերական թիվը f_i է, և որ էլեկտրոնների վրա ազդում է նրանց արագությանը համեմատական դիմադրության ուժ:

3.19 Ինչպես կփոխվի $\epsilon(\omega)$ դիէլեկտրական թափանցելիությունը ոչ քենուային դիէլեկտրիկում ω_0 ոնցոնանսային հաճախությանը մոտ հաճախությունների դեպքում՝ Լորենցի արդյունարար դաշտի հաշվառմանը:

3.20 Միջավայրը կազմված է N խտությամբ առաձգականորեն կապված լիցքավորված մասնիկներից, որոնց առաձգականության գործակիցները տարբեր են եթեք փոխուղղահայաց ուղղություններով: Գտեք միջավայրի $\epsilon_{ik}(\omega)$ դիէլեկտրական թափանցելիության թենզորը:

3.21 Հաշվեք լավ հաղորդիչ միջավայրի $\lambda(\omega)$ հաղորդականությունը, $\chi(\omega)$ ընկալունակությունն ու $\epsilon(\omega)$ թափանցելիությունը՝ համա-

բերով, որ հաղորդականության էլեկտրոնների արգելակման բոլոր պրոցեսները կարելի է նկարագրել նրանց արագությանը համեմատական շիման ուժի միջոցով:

- 3.22** Ըստ Դեքայի, բնեոային դիէլեկտրիկներում E_0 էլեկտրական դաշտը միացնելիս դիէլեկտրիկը բնեոանում է աստիճանաբար, $P(t) = P_0(1 - e^{-\frac{t}{\tau}})$ օրենքով, որտեղ τ -ն ուղարսացիայի ժամանակամիջոցն է, $P_0 = \chi_{\epsilon}^{(0)} E_0$ մնջությունը բնեոայնան կայունացված արժեքն է E_0 հաստատում դաշտում, եթե $t >> \tau$, $\chi_{\epsilon}^{(0)} - \text{ԱՌԱՋԻԿԱՆ}$ դիէլեկտրական ընկալունակությունը: Հաշվեք բնեոային դիէլեկտրիկի $\epsilon(\omega)$ դիէլեկտրական քափանցելիությունը:
- 3.23** Համոզվեք, որ բնեոային դիէլեկտրիկի $\epsilon(\omega)$ քափանցելիության իրական և կեղծ մասերը բավարարում են Քրամեր-Քրոնիզի դիսպերսիոն առնչություններին:
- 3.24** Օգտվելով (3.12)-ից՝ (3.13) դիսպերսիոն առնչությունը ներկայացրեք հաճախության միայն դրական արժեքների տիրույթով ինտեգրալի տեսքով:
- 3.25** Էլեկտրոնների N խտությունն արտահայտեք $\epsilon(\omega)$ կոմպեքս դիէլեկտրական քափանցելիության կեղծ մասի միջոցով:
- 3.26** Հաշվելով փոփոխական դաշտում ջերմության ձևով աճացալած էներզիայի խտությունը, ցույց տվեք, որ $\epsilon(\omega)$ և $\mu(\omega)$ քափանցելիությունների կեղծ մասերը բնութագրում են էներզիայի ոչ դարձելի կորուստները միջավայրում և որ նրանք առական հաճախություններից կախված դրական ֆունկցիաներ են:
- 3.27** Ցույց տվեք, որ ստատիկ դիէլեկտրական քափանցելիությունը միշտ մեծ է մեկից:
- 3.28** Պարամագնիսական միջավայրը տեղափորված է $\mathbf{B} = \mathbf{B}_0 + \mathbf{b}$ արտաքին մագնիսական դաշտում, որի \mathbf{B}_0 բաղադրիչը հաստատում է, \mathbf{b} -ն փոփոխվում է առանձին հաճախությամբ, ըստ որում $\mathbf{B}_0 + \mathbf{b} \neq 0$ և $\mathbf{b} \ll \mathbf{B}_0$: Ցույց տվեք, որ եթե ω -ն հավասարվում է \mathbf{B}_0 դաշտում մագնիսական մոմենտների պրեցեսիայի հաճախությանը, տեղի է ունենում միջավայրի մագնիսական բնեոայնան ուղղնանսային աճ (պարամագնիսական ուղղնանսի երևույթ):

ԳԼՈՒԽ 4

ԷԼԵԿՏՐԱՍԱՏԻԿԱ

Հաստատուն էլեկտրական դաշտի E լարվածությունը և D ինդուկցիան բավարարում են

$$\operatorname{rot} E = 0, \quad (4.1)$$

$$\operatorname{div} D = 4\pi\rho \quad (4.2)$$

Մարսկելի հավասարումներին: Այսուեղ օ-ն ազատ լիցքերի խոռոչունն է: Իզոտրոպ դիէլեկտրիկներում թույլ դաշտերի դեպքում

$$D = \epsilon E, \quad (4.3)$$

որտեղ ϵ -ը միջավայրի ստատիկ դիէլեկտրական բափանցելիությունն է (երրորդ գլխում այդ մեծության համար օգտագործել ենք $\epsilon^{(0)}$ նշանակումը):

(4.2) հավասարման ինտեգրալ տեսքը կոչվում է Գառսի թեորեմ՝

$$\oint_S D \cdot dS = 4\pi q_S, \quad (4.4)$$

որտեղ S -ը կամայական փակ մակերևույթ է, q_S -ը այդ մակերևույթի ներսում պարունակվող լրիվ լիցքը: Լիցքերի բաշխման որոշակի համաշփորչունների դեպքում Գառսի թեորեմը նրանց ստեղծած դաշտը հեշտությամբ հաշվելու հնարավորություն է տալիս:

Հաստատուն էլեկտրական դաշտը բնութագրում են նաև ֆակալյար պոտենցիալով, որը սահմանվում է

$$E = -\operatorname{grad}\phi \quad (4.5)$$

առնչությամբ:

Տրված E դաշտին համապատասխանող ֆակուլտետայի պոտենցիալը որոշվում է

$$\phi(r) = - \int_0^r E \cdot dr \quad (4.6)$$

բանաձևով, որտեղ r -ն պոտենցիալի գրոյական արժեքին համապատասխանող շառավիղ վեկտորն է՝ $\phi(r_0) = 0$:

Տարածության երկու կետերի միջև պոտենցիալների $\phi_1 - \phi_2$ տարբերությունը հավասար է միավոր լիցքը առաջին կետից երկրորդ կետը տանելու ժամանակ էլեկտրական դաշտի կատարած աշխատանքին:

Համասեռ միջավայրում ֆակուլտետայի պոտենցիալը բավարարում է Պուասոնի հավասարմանը՝

$$\Delta\phi = -\frac{4\pi}{\epsilon}\rho: \quad (4.7)$$

Եթե լիցքը V ծավալում բաշխված է $\rho(r)$ ծավալային խտությամբ, ապա պոտենցիալը ներկայացվում է

$$\phi(r) = \frac{1}{\epsilon} \int_V \frac{\rho(r') dV'}{|r - r'|} \quad (4.8)$$

տեսքով:

$\sigma(r)$ մակերևութային խտությամբ, S մակերևույթով բաշխված լիցքի ստեղծած դաշտի պոտենցիալը որոշվում է

$$\phi(r) = \frac{1}{\epsilon} \int_S \frac{\sigma(r') dS'}{|r - r'|} \quad (4.9)$$

բանաձևով:

Նման ձևով, $\chi(r)$ գծային խտությամբ, L կորով բաշխված լիցքի ստեղծած դաշտի պոտենցիալը կարելի է ներկայացնել

$$\phi(r) = \frac{1}{\epsilon} \int_L \frac{\chi(r') dr'}{|r - r'|} \quad (4.10)$$

տեսքով:

l բնութագրական չափերով լիցքերի համակարգի $\phi(r)$ պոտենցիալը $r >> l$ հեռավորությունների վրա կարելի է ներկայացնել

$$\phi(r) = \frac{q}{r} + \frac{\mathbf{p} \cdot \mathbf{r}}{r^3} + \frac{Q_{ik} x_i x_k}{2r^5} + \dots \quad (4.11)$$

զուգամիտող շարքի տեսքով, որտեղ q -ն համակարգի լրիվ լիցքն է, \mathbf{p} -ն՝ համակարգի էլեկտրական դիպոլային նոմենտը՝

$$\mathbf{p} = \int r \rho(r) dV, \quad (4.12)$$

իսկ Q_{ik} -ն համակարգի էլեկտրական քվադրուալու մոմենտի բնագործ՝

$$Q_{ik} = \int (3x_i x_k - r^2 \delta_{ik}) \rho(r) dV: \quad (4.13)$$

Երկու միջավայրերի բաժանման սահմանին գործում են

$$E_{1r} = E_{2r}, \quad (4.14)$$

$$D_{2n} - D_{1n} = 4\pi\sigma \quad (4.15)$$

կամ՝

$$\Phi_1 = \Phi_2, \quad (4.16)$$

$$\epsilon_1 \frac{\partial \Phi_1}{\partial n} - \epsilon_2 \frac{\partial \Phi_2}{\partial n} = 4\pi\sigma \quad (4.17)$$

պայմանները: Այստեղ ենթադրվում է, որ մակերևույթի հարմակ վեկտորը ուղղված է առաջին միջավայրից երկրորդը, ո ինդեքսով նշանակ-

ված են վեկտորների բաղադրիչները և ուղղության վրա, τ -ինդեքսով՝ մակերևության շոշափող ուղղության վրա, իսկ σ -ն ազատ լիցքերի մակերևության խտությունն է:

Դիէլեկտրիկներում կապված լիցքերի $\rho_{\text{կապ}}$ խտությունը արտահայտվում է էլեկտրական բնեղացման P վեկտորի միջոցով՝

$$\rho_{\text{կապ}} = -\operatorname{div} P : \quad (4.18)$$

Միջավայրերի բաժանման սահմանին կապված լիցքերի $\sigma_{\text{կապ}}$ մակերևության խտությունը որոշվում է

$$\sigma_{\text{կապ}} = P_{1n} - P_{2n} \quad (4.19)$$

առնչությամբ:

Կոնդենսատորի ունակություն կոչվում է

$$C = \frac{q}{\Phi_1 - \Phi_2} \quad (4.20)$$

հարաբերությունը, որտեղ q -ն և Φ_1 -ը բիբեղներից որևէ մեկի լիցքն ու պոտենցիալն են, իսկ Φ_2 -ը՝ մյուս բիբեղի պոտենցիալը:

Էլեկտրաստատիկ դաշտի էներգիան V ծավալում հավասար է՝

$$W = \frac{1}{8\pi} \int E \cdot D dV : \quad (4.21)$$

Տարածության սահմանափակ տիրույթում բաշխված լիցքերի համակարգի էլեկտրաստատիկ դաշտի էներգիան ամբողջ տարածությունում կարելի է հաշվել

$$W = \frac{1}{2} \int \rho(r) \phi(r) dV \quad (4.22)$$

բանաձևով:

$\rho(r)$ ծավալային խտությամբ բաշխված լիցքերի համակարգի և $\phi(r)$ պոտենցիալով արտաքին էլեկտրական դաշտի փոխազդեցության էներգիան որոշվում է

$$W = \int \rho(r) \phi(r) dV \quad (4.23)$$

առնչությամբ:

4.1 Գտեք ρ ծավալային խտությամբ հավասարաչափ լիցքավորված ա) R շառավիրով զնիի,

բ) R շառավիրով անվերջ զլանի,

գ) 2a հաստությամբ անվերջ սալի

ստեղծած էլեկտրական դաշտի E լարվածությունն ու ϕ պոտենցիալը տարածության բոլոր կետերում: Խնդիրը լուծեք երկու եղա-

նակով՝ Գառւսի թեորեմի (ինտեգրալ եղանակ) և Պուասոնի հավասարման միջոցով (դիֆերենցիալ եղանակ):

- 4.2 Գտեք σ մակերևության խտությամբ հավասարաշափ լիցքավորված
- ա) R շառավղով գնդային մակերևույթի,
 - բ) R շառավղով անվերջ գլանային մակերևույթի,
 - գ) անվերջ հարթության
- Էլեկտրական դաշտի E լարվածությունն ու σ պոտենցիալը: Խնդիրը լուծեք երկու եղանակով՝ Գառւսի թեորեմի և Պուասոնի հավասարման միջոցով:
- 4.3 թ ծավալային խտությամբ հավասարաշափ լիցքավորված R շառավղով գնդի ներսում կենտրոնից a հեռավորության վրա կա r շառավղով գնդային խոռոչ ($r + a < R$): Գտեք էլեկտրական դաշտի լարվածությունը խոռոչի ներսում:
- 4.4 Լիցքը բաշխված է $\rho = \rho(r)$ կենտրոնահամաշափ օրենքով: Էլեկտրաստատիկ դաշտի $\phi(r)$ պոտենցիալն ու $E(r)$ լարվածությունը արտահայտեք $\rho(r)$ -ի միջոցով՝ ըստ r -ի միապատիկ ինտեգրալ-ների տեսքով:
- 4.5 Երկու համակենտրոն R_1 և R_2 ($R_1 < R_2$) շառավիղներով գնդային մակերևույթների միջև լիցքը բաշխված է $\rho = \alpha / r^2$ օրենքով: Գտեք համակարգի լիիվ q լիցքը, ϕ պոտենցիալն ու E դաշտը ամբողջ տարածության մեջ:
- 4.6 Որոշեք ջրածնի ատոմի էլեկտրոնային թաղանթի ստեղծած պոտենցիալը, եթե հիմնական վիճակում էլեկտրոնի լիցքը տարածության մեջ բաշխված է $\rho(r) = -(e / \pi a^3) e^{-2r/a}$ օրենքով (a -ն հաստատում է, իսկ e -ն՝ տարրական լիցքը):
- 4.7 Որոշեք q լիցքով հավասարաշափ լիցքավորված $2l$ երկարությամբ հատվածի ϕ պոտենցիալը և համապատենցիալ մակերևույթների տեսքը:
- 4.8 Կրկնակի էլեկտրական շերտ անվանում են $+σ$ և $-σ$ մակերևության խտությամբ լիցքավորված, իրարից l հեռավորության վրա դասավորված զուգահեռ մակերևույթների սահմանային համակարգը, եթե $l \rightarrow 0$, $\sigma \rightarrow \infty$, սակայն $sl = \Sigma$ վեկտորի մնանությունը մնում է հաստատուն և վերջավոր (l վեկտորը ուղղված է բացասական լիցքավորված մակերևույթի դեպի դրականը): Ստացեք բանաձևն նման համակարգի պոտենցիալի համար, այն արտա-

հայտնիով կրկնակի շերտի Σ հզրությամբ: Ցույց տվեք, որ պոտենցիալն այս դեպքում ունի խզում:

- 4.9** Համասեռ կրկնակի էլեկտրական շերտն ունի R շառավղով սկավառակի տեսք: Z առանցքն ուղղահայաց է սկավառակին և անցնում է սկավառակի կենտրոնով: Համարելով, որ կրկնակի շերտի Σ հզրությունն ուղղված է Z առանցքով, գտեք էլեկտրական դաշտի Փ պոտենցիալն ու E լարվածությունը Z առանցքի վրա:
- 4.10** Կրկնակի էլեկտրական շերտն ունի Z համաչափության առանցքով կիսագնդային մակերևույթի տեսք, որի կենտրոնը համընկնում է կոորդինատական համակարգի սկզբնակետի հետ: Կրկնակի շերտի Σ հզրությունը մոդուլով հաստատուն է և ուղղված շառավիղ վեկտորի ուղղությամբ $\Sigma = \Sigma r / r$: Գտեք էլեկտրական դաշտի Փ պոտենցիալն ու E լարվածությունը Z առանցքի վրա:
- 4.11** ($y = 0, x \geq 0$) Կիսահարթությունը կրկնակի էլեկտրական շերտ է, որի Σ հզրությունը ուղղված է Y առանցքով և հաստատուն է: Գտեք էլեկտրական դաշտի Փ պոտենցիալն ու E լարվածությունը ամենուրեք:
- 4.12** Լիցքը տարածության մեջ բաշխված է $\rho(r) = r_0 \cos\alpha \cos\beta y \cos\gamma$ պարբերական օրենքով: Որոշեք էլեկտրական դաշտի Փ պոտենցիալն ու E լարվածությունը տարածության յուրաքանչյուր կետում:
- 4.13** Լիցքը բաշխված է XOY հարթության մեջ $\sigma(x, y) = \sigma_0 \sin\alpha x \sin\beta y$ պարբերական օրենքով: Որոշեք էլեկտրական դաշտի Փ պոտենցիալն ու E լարվածությունը:
- 4.14** Գտեք R շառավղով գնդային մակերևույթի ստեղծած Փ պոտենցիալն ու E լարվածությունը, եթե նրա վրա մակերևութային լիցքը բաշխված է $\sigma = \sigma_0 \cos\theta$ օրենքով:
- 4.15** χ_1 և χ_2 լիցքի գծային բաշխումով երկու գուգահեռ լարերի հեռավորությունը $2h$ է: Գտեք նրանց համապոտենցիալ մակերևույթների հավասարումը: Առանձին քննարկեք $\chi_1 = \chi_2 = \chi$, $\chi_1 = -\chi_2 = \chi$ դեպքերը:
- 4.16** Պարզեք, թե իրարից h հեռավորության վրա գտնվող q_1 և q_2 կետային լիցքերի համակարգի համապոտենցիալ մակերևույթների բվում ինչ պայմանի դեպքում կլինի գնդային մակերևույթ:

Գտեք վերջինիս կենտրոնի դիրքը և շառավիղը: Ի՞նչի՞ է հավասար պոտենցիալն այդ մակերևույթի վրա, եթե $\phi(\infty) = 0$:

4.17 Գտեք σ մակերևութային խոռոքյամբ հավասարաշափ լիցքավորված R_1 և R_2 արտաքին շառավիղներով հարք օղակի φ պոտենցիալն ու E լարվածությունը օղակի հարթության ուղղահայաց համաչափության առանցքի վրա: Դիտարկեք սահմանային դեպքեր՝

ա) անվերջ բարակ օղակի դաշտը ($R_2 - R_1 = \Delta R \ll R_1$),

բ) հարք սկավառակի դաշտը ($R_1 \rightarrow 0$),

գ) լիցքավորված հարթության դեպքը ($R_1 \rightarrow 0, R_2 \rightarrow \infty$):

4.18 R շառավղով բարակ օղակը կազմված է երկու, q և $-q$ լիցքերով հավասարաշափ լիցքավորված կիսողակներից: Որոշեք էլեկտրական դաշտի φ պոտենցիալն ու E լարվածությունը օղակի առանցքին մոտ կետերում: Ի՞նչ բնույթ ունի դաշտը օղակից շատ հեռու կետերում:

4.19 Գտեք q լիցքով հավասարաշափ լիցքավորված R շառավղով բարակ օղակի ֆ պոտենցիալն ու E լարվածությունը տարածության կամայական կետում:

4.20 Որոշեք լիցքերի բաշխումը տարածության մեջ, եթե էլեկտրաստատիկ դաշտի ֆ պոտենցիալն ունի հետևյալ տեսքը.

$$\text{ա) } \varphi(x) = \begin{cases} ax & (x > 0), \\ -ax & (x < 0), \end{cases} \quad \text{բ) } \varphi(r) = \begin{cases} q/r & (r > R), \\ C = \text{const} & (r < R), \end{cases}$$

որտեղ r -ը հեռավորությունն է կոորդինատների սկզբնակետից:

$$\text{զ) } \varphi(r) = \begin{cases} q \ln r & (r > R), \\ C = \text{const} & (r < R), \end{cases}$$

որտեղ r -ը հեռավորությունն է OZ առանցքից:

Այստեղ a , q և R մեծությունները հաստատուններ են:

4.21 Լիցքերի ինչպիսի՞ բաշխումն է ստեղծված գնդային կոորդինատական համակարգում

$$\varphi(r) = \frac{e}{a} e^{-2r/a} \left(\frac{a}{r} + 1 \right)$$

տեսք ունեցող պոտենցիալով դաշտը:

4.22 Հաշվեք R շառավղով և q լիցքով հավասարաշափ լիցքավորված գնդի և գնդային մակերևույթի էլեկտրաստատիկ դաշտերի էներգիան:

- 4.23** Իրարից և հեռավորության վրա գտնվող երկու գնդեր լիցքավորված են q_1 և q_2 լիցքերով: Լիցքերի բաշխումը գնդերում կենտրոնահամաշափ է: Որոշեք գնդերի փոխազդեցության էներգիան:
- 4.24** Ցույց տվեք, որ միայն էլեկտրաստատիկ ուժերի ազդեցության տակ լիցքերի համակարգը չի կարող գտնվել կայուն հավասարակշռության վիճակում (Իրնշոուի թեորեմը):
- 4.25** Ապացույցեք, որ պոտենցիալը չի կարող նվազագույն կամ առավելագույն արժեքներ ընդունել հաղորդիչից դուրս գտնվող կետերում:
- 4.26** q կետային լիցքը տեղափորված է R_1 և R_2 շառավիղներով երկու համակենտրոն հողակյալքած հաղորդիչ գնդային մակերևույթների միջև, կենտրոնից R հեռավորության վրա ($R_1 < R < R_2$): Գտեք գնդային մակերևույթների վրա մակածված լիցքերը:
- 4.27** q կետային լիցքը տեղափորված է իրարից d հեռավորության վրա գտնվող գուգահեռ հաղորդիչ հարթությունների միջև, հարթություններից մեկից / հեռավորության վրա: Գտեք հարթությունների վրա մակածված լիցքերը:
- 4.28** q կետային լիցքը գտնվում է R շառավիղով հողակյալքած գնդային հաղորդչի կենտրոնից d հեռավորության վրա: Որոշեք էլեկտրաստատիկական դաշտի ϕ պոտենցիալը տարածության մեջ, մակածված լիցքերի σ_0 մակերևության խտությունը գնդի վրա, գնդի կողմից q լիցքի վրա ազդող F ուժը: $R \rightarrow \infty$ սահմանային անցնանք միջոցով գտեք հաղորդիչ, անվերջ հարթությունից և սրանից $h = d - R$ հեռավորության վրա գտնվող q լիցքի կազմված համակարգի պոտենցիալը:
- 4.29** Նախորդ խնդիրը լուծեք այն դեպքում, եթե գունդը մեկուսացված է և ունի Q լիցք:
- 4.30** R շառավիղով հողակյալքած հաղորդիչ գունդը տեղափորված է E_0 համասեռ էլեկտրական դաշտում: Որոշեք էլեկտրական դաշտի ϕ պոտենցիալը տարածության մեջ:
- 4.31** Ապացույցեք, որ եթե լիցքերի համակարգը էլեկտրաչեղոր է, ապա այդ համակարգի գումարային դիպոլային մոմենտը կախված չէ կոորդինատների սկզբնակետի ընտրությունից:
- 4.32** Ապացույցեք, որ եթե լիցքերի համակարգը էլեկտրաչեղոր է և նրա գումարային դիպոլային մոմենտը հավասար է զրոյի, ապա այդ

համակարգի քվադրուազոլ մոմենտի թենզորը կախված չէ կոռորդինատների սկզբնակետի ընտրությունից:

- 4.33** *q* կետային լիցքը գտնվում է r_1 շառավիղ վեկտորով կետում, իսկ p մոմենտով էլեկտրական դիպոլը՝ r_2 շառավիղ վեկտորով կետում: Որոշեք լիցքի և դիպոլի W փոխազդեցության էներգիան, դիպոլի վրա ազդող F ուժը և K ուժի մոմենտը:

- 4.34** p_1 մոմենտով էլեկտրական դիպոլը գտնվում է կոռորդինատների սկզբնակետում, իսկ p_2 մոմենտով դիպոլը՝ r_0 շառավիղ վեկտորով կետում: Որոշեք նրանց փոխազդեցության W էներգիան, յուրաքանչյուր դիպոլի վրա ազդող F ուժը և K ուժի մոմենտը: Դիպոլների ինչպիսի՞ դասավորության դեպքում փոխազդեցության էներգիան և ուժը կունենան առավելագույն արժեքը:

- 4.35** R շառավիղով հավասարաչափ թեռոացված գնդի միավոր ծավալի դիպոլային մոմենտը (էլեկտրական թեռոացման վեկտորը) P է: Գտեք էլեկտրական դաշտի պոտենցիալը:

- 4.36** ϵ դիէլեկտրական թափանցելիությամբ գունդը տեղավորված է արտաքին էլեկտրական դաշտում, որը գնդից շատ հեռու տիրութում հանասեռ է և ունի E_0 լարվածություն: Որոշեք E լարվածությունը և P թեռոացումը գնդի ներսում:

- 4.37** Որոշեք էլեկտրական դաշտի E' լարվածությունը հանասեռ թեռոացված ϵ թափանցելիությամբ դիէլեկտրիկի ներսում հանված գնդաներու խոռոշում: Ենթադրվում է, որ խոռոշի առկայությունը չի փոխում դիէլեկտրիկի թեռոացումը:

- 4.38** R_1 ներքին և R_2 արտաքին շառավիղներ ունեցող գնդային կոնդենսատորի ներսում դիէլեկտրական թափանցելիությունը բաշխված է հետևյալ օրենքով՝

$$\epsilon(r) = \begin{cases} \epsilon_1 = \text{const}, & (R_1 \leq r < R), \\ \epsilon_2 = \text{const}, & (R \leq r \leq R_2), \end{cases}$$

($R_1 < R < R_2$): Որոշեք կոնդենսատորի C ունակությունը և կապված լիցքերի բաշխումը: Ինչի՞ է հավասար գումարային կապված լիցքը:

- 4.39** *q* կետային լիցքը տեղավորված է ϵ_1 և ϵ_2 դիէլեկտրական թափանցելիություններով երկու համասեռ, անվերջ դիէլեկտրիկների հարք սահմանի վրա: Գտեք էլեկտրական դաշտի ϕ պոտանուալը, E լարվածությունը և D ինդուկցիան: Պարզեք կապված լիցքերի բաշխումը և գումարային կապված լիցքը:

- 4.40** *a* շառավիղ և *q* լիցք ունեցող հաղորդիչ գնդի կենտրոնը գտնվում է երկու անվերջ, համասեռ, ε_1 և ε_2 դիէլեկտրական թափանցելիություններով դիէլեկտրիկուլիքի հարք սահմանի վրա: Գտեք էլեկտրական դաշտի պոտենցիալը, գնդի մակերևույթի վրա ազատ և կապված լիցքերի թաշխումը ու գումարային կապված լիցքը:
- 4.41** գ կետային լիցքը գտնվում է ε_1 և ε_2 դիէլեկտրական թափանցելիություններով անվերջ, համասեռ միջավայրերի բաժանման հարք սահմանից *a* հեռավորության վրա՝ առաջին միջավայրում: Արտացոլման մերուդով որոշեք Փ պոտենցիալը, կապված լիցքերի $\sigma_{\text{կապ}}$ խոռոչունը և գումարային կապված լիցքերը $z=0$ բաժանման սահմանի վրա ու *q* լիցքի գունվելու կետում:
- 4.42** Ցույց տվեք, որ կամայական անհամասեռ դիէլեկտրական միջավայրում r_1 կետում գտնվող լիցքի ստեղծած $\varphi_1(r_2)$ պոտենցիալը r_2 կետում հավասար է r_2 կետում գտնվող նույն մնանական լիցքի ստեղծած $\varphi_2(r_2)$ պոտենցիալին η կետում:
- 4.43** Ցույց տվեք, որ եթե լիցքերի տրված համակարգի ստեղծած դաշտի մեջ մտցնենք չեզոք դիէլեկտրիկի կտոր, որի դիէլեկտրական թափանցելիությունը շրջապատի թափանցելիությունից տարբերվում է ծե փոքր մեծությամբ, ապա առաջին մոտավորությամբ համակարգի էներգիայի փոփոխությունը կլինի՝
- $$\delta W = -\frac{1}{8\pi} \int E^2 \delta \varepsilon dV:$$
- 4.44** Ցույց տվեք, որ եթե լիցքերի համակարգի ստեղծած դաշտի մեջ մտցնենք շիցքավորված հաղորդիչ, ապա համակարգի էներգիան կնվազի:
- 4.45** *E* լարվածությամբ համասեռ արտաքին էլեկտրական դաշտում գտնվող սահմանափակ տիրույթում լիցքերի ծավալային խոռոչունը $\rho(r)$ է: Լիցքերի և արտաքին էլեկտրական դաշտի փոխազդեցության (4.23) պոտենցիալ էներգիան արտահայտեք լիցքերի համակարգի P դիպոլային մոմենտի միջոցով:
- 4.46** Որոշեք կետային լիցքի դաշտը ε_{ik} դիէլեկտրական թափանցելությամբ համասեռ անհզուրող միջավայրում:

ԳԼՈՒԽ 5

ՍԱԳՆԻՍԱՍԱՏԻԿԱ

Հաստատուն մագնիսական դաշտի H լարվածությունը և B ինդուկտիվան բավարարում են

$$\text{rot} H = \frac{4\pi}{c} j, \quad (5.1)$$

$$\text{div} B = 0 \quad (5.2)$$

Մաքսվելի հավասարումներին, որտեղ j -ն լիցքերի ծավալային խառությունն է: Խզուրուց դիմագնետիկներում և պարամագնետիկներում բույլ դաշտերի դեպքում

$$B = \mu H, \quad (5.3)$$

որտեղ μ -ն նյութի մագնիսական թափանցելիությունն է (երրորդ գլուխ այդ մեծությունը նշանակել ենք $\mu^{(0)}$ -ով):

(5.1) հավասարման ինտեգրալ տեսքը կոչվում է Ամպերի օրենք՝

$$\oint_L H \cdot dI = \frac{4\pi}{c} I, \quad (5.4)$$

որտեղ I -ն L փակ կորի վրա հենվող կամայական մակերևույթով անցնող լրիվ հոսանքն է:

Հաստատուն մագնիսական դաշտը կարելի է բնութագրել A վեկտորական պոտենցիալով, որը սահմանվում է

$$B = \text{rot} A \quad (5.5)$$

առնչությամբ: A վեկտոր-պոտենցիալի ընտրության կամայականությունը սահմանափակելու նպատակով նրա վրա դրվում է

$$\text{div} A = 0 \quad (5.6)$$

Մրացույիչ պայմանը: Համասեռ միջավայրերում A -ն բավարարում է

$$\Delta A = -\frac{4\pi\mu}{c} j \quad (5.7)$$

Պուասոնի հավասարմանը:

Ծավալային հոսանքների վեկտոր պոտենցիալն ու մագնիսական դաշտի լարվածությունը համասեռ միջավայրերում կարելի է ներկայացնել ծավալային ինտեգրալների տեսքով՝

$$A(r, t) = \frac{\mu}{c} \int \frac{j(r')}{|r - r'|} dV', \quad (5.8)$$

$$\mathbf{H}(\mathbf{r}, t) = \frac{1}{c} \int \frac{\mathbf{j}(\mathbf{r}') \times (\mathbf{r} - \mathbf{r}')}{|\mathbf{r} - \mathbf{r}'|^3} dV', \quad (5.9)$$

(Վերջինս Բիո-Սավարի օրենքն է):

Հոսանքներից մեծ հեռավորությունների վրա

$$\mathbf{A} = \frac{\mathbf{m} \times \mathbf{r}}{r^3}, \quad (5.10)$$

որտեղ \mathbf{m} -ը հոսանքի մագնիսական մոմենտն է՝

$$\mathbf{m} = \frac{1}{2c} \int (\mathbf{r}' \times \mathbf{j}) dV': \quad (5.11)$$

Երկու միջավայրերի բաժանման սահմանին գործում են

$$\mathbf{B}_{2n} = \mathbf{B}_{1n}, \quad (5.12)$$

$$\hat{\mathbf{n}} \times (\mathbf{H}_2 - \mathbf{H}_1) = \frac{4\pi}{c} \mathbf{t} \quad (5.13)$$

սահմանային պայմանները:

Այստեղ լ-ն հոսանքի մակերևութային խտությունն է: Ռ-ը նորմալի միավոր վեկտորն է, որն ուղղված է առաջին միջավայրից երկրորդը:

Տարածության այն կետերում, որտեղ $j = 0$, բավարարվում է $\text{rot} \mathbf{H} = 0$ հավասարությունը, հետևաբար \mathbf{H} -ը կարելի է ներկայացնել

$$\mathbf{H} = -\text{grad}\psi \quad (5.14)$$

տեսքով, որտեղ մագնիսական դաշտի ψ սկալյար պոտենցիալը $\mu = \text{const}$ դեպքում բավարարում է Լավլասի հավասարմանը:

Հոսանքի $.Idl$ տարրի վրա ազդող ուժը որոշվում է Ամպերի բանաձևով՝

$$d\mathbf{F} = \frac{I}{c} (dl \times \mathbf{B}): \quad (5.15)$$

Մագնիսական դաշտի էներգիան V ծավալում՝

$$W = \frac{1}{8\pi} \int_V \mathbf{B} \cdot \mathbf{H} dV: \quad (5.16)$$

Վերջավոր տիրույթում բաշխված հոսանքների դեպքում

$$W = \frac{1}{2c} \int_V \mathbf{j} \cdot \mathbf{A} dV: \quad (5.17)$$

$\mathbf{j}(\mathbf{r})$ ծավալային խտությամբ բաշխված հոսանքի և $\mathbf{A}(\mathbf{r})$ վեկտոր-պոտենցիալով արտաքին դաշտի փոխազդեցության էներգիան հավասար է՝

$$W = \frac{1}{c} \int_V \mathbf{j}(\mathbf{r}) \cdot \mathbf{A}(\mathbf{r}) dV: \quad (5.19)$$

- 5.1** Ցույց տվեք, որ I փակ հոսանքի ստեղծած մագնիսական դաշտի ինդուկցիան կարելի է հաշվել

$$\mathbf{B} = \frac{\mu I}{c} \text{grad}\Omega$$

թանաձնով, որտեղ Ω -ն այն մարմնային անկյունն է, որի տակ դիտման կետից երևում է հոսանքատար կոնտուրը:

- 5.2** Օգտվելով նախորդ խնդրի արդյունքից ստացեք Ամպերի օրենքը՝

$$\oint_{\mathcal{L}} \mathbf{B} \cdot d\mathbf{l} = \frac{4\pi\mu}{c} I;$$

- 5.3** R_1 շառավղով անվերջ գլանային հաղորդիչով, որի մագնիսական թափանցելիությունը μ_0 է, անցնում է $/$ հաստատուն հոսանք: Հաղորդիչը շրջապատող նյութի մագնիսական թափանցելիությունը μ է: Որոշեք $/$ հոսանքի ստեղծած H մագնիսական դաշտն ու B ինդուկցիան: Խնդիրը լուծեք երկու եղանակով՝ օգտվելով Ամպերի օրենքից (խնտեցրալ եղանակ) և A վեկտոր-պոտենցիալի միջոցով (դիֆերենցիալ եղանակ):

- 5.4** R_1 շառավղով անվերջ գլանը տեղավորված է R_2 ներքին և R_3 արտաքին շառավիղներ ունեցող անվերջ գլանային խողովակի մեջ, ըստ որում նրանց առանցքները համընկնում են: Դրանցով հոսում են հակուղված, քայլ մեծությամբ հավասար $/$ հոսանքներ: Որոշեք հոսանքների ստեղծած H մագնիսական դաշտը, B ինդուկցիան, ինչպես նաև A վեկտոր-պոտենցիալը տարածության բոլոր կետերում:

- 5.5** R_1 շառավղով անվերջ հաղորդիչ գլանի ներսում կա R_2 շառավղով անվերջ գլանային խոռոչ: Նրանց առանցքները գուգահեռ են, առանցքների միջև հեռավորությունը՝ a : Որոշեք մագնիսական դաշտի լարվածությունը խոռոչում:

- 5.6** Գտեք $/$ հոսանքով անվերջ երկար ուղղագիծ լարի ստեղծած մագնիսական դաշտի ψ սկալյար պոտենցիալը, մագնիսական դաշտի H լարվածության և A վեկտոր-պոտենցիալի բաղադրիչները:

- 5.7** Որոշեք անվերջ հարթության ստեղծած H մագնիսական դաշտը, եթե նրանով անցնում է i մակերևությային խտությամբ համաստ հոսանք:

- 5.8** Որոշեք իրարից $2a$ հեռավորության վրա գտնվող երկու գուգահեռ հարթությունների ստեղծած մագնիսական դաշտը, եթե նրանցով

- անցնում է նույն և խտորթյամբ մակերևութային հոսանք: Դիտարկեք երկու դեպք:
- հոսանքներն ունեն նույն ուղղությունը,
 - հոսանքները հակառակ են ուղղված:
- 5.9** Որոշեք երկու անվերջ, ուղղագիծ, հակուլրված I հոսանքների ստեղծած A վեկտոր-պոտենցիալն ու մազնիսական դաշտի H լարվածությունը: Հոսանքների միջև հեռավորությունը $2b$ է:
- 5.10** Որոշեք նախորդ խնդրում նկարագրված հոսանքների միավոր երկարությանը բաժին ընկնող փոխազդեցության ուժը և էներգիան:
- 5.11** Ուղղագիծ, անվերջ երկար թիրեղի լայնությունը a է: Թիրեղի երկայնքով հոսում է լայնությամբ հավասարաչափ բաշխված I հոսանք: Որոշեք հոսանքի ստեղծած H մազնիսական դաշտը: Դիտարկեք սահմանային դեպք, եթե $a \rightarrow \infty$: Ի՞նչ կստացվի $a \rightarrow 0$ սահմանում:
- 5.12** Հակառակ ուղղված նույն I մեծությամբ հոսանքները հոսում են երկու բարակ, անվերջ երկար գուգահեռ թիրեղներով, որոնք համընկնում են ուղղանկյուն կտրվածք ունեցող անվերջ պրիզմայի հակադիր նիստերի հետ: Թիրեղների լայնությունը a է, իսկ հեռավորությունն իրարից՝ b : Գտեք H մազնիսական դաշտը և թիրեղների միավոր երկարությանը բաժին ընկնող փոխազդեցության ուժը: Դիտարկեք սահմանային դեպք, եթե $a \rightarrow 0$:
- 5.13** Գտեք a շառավղով բարակ օղակով հոսող I հոսանքի ստեղծած A վեկտորական պոտենցիալն ու H մազնիսական դաշտը: Դիտարկեք մասնավոր դեպք, եթե դիտման կետը գտնվում է օղակի առանցքի վրա: Միջավայրը համասեռ է և ունի մ մազնիսական բափանցելիություն:
- 5.14** a_1 և a_2 շառավղիներով երկու համառանցք օղակներով հոսում են համապատասխանաբար I_1 և I_2 հոսանքներ: Օղակների կենտրոնների հեռավորությունը b է: Գտեք օղակների փոխազդեցության ուժը: Միջավայրի մազնիսական բափանցելիությունը μ է:
- 5.15** Տրված է վերջավոր V ծավալուն հոսող հաստատուն հոսանքի $j = j(r)$ ծավալային խտորթյունը: Դիտարկվող ծավալից դրուս դատարկություն է, իսկ ներսում $j(r)$ ֆունկցիան անընդհատ է: Ապացույցեք, որ

$$\int_V j dV = 0:$$

- 6.16** Ապացուցեք, որ $j = j(r)$ ծավալային խտությամբ հոսանքի m մագնիսական մոմենտը կախված չէ կոռուպինատների սկզբնակետի ընտրությունից: Ենթադրվում է, որ m -ի արժեքները վերջավոր են:
- 6.17** **B** լարվածությամբ համասեռ արտաքին մագնիսական դաշտում գտնվող սահմանափակ տիրույթում հոսանքի ծավալային խտությունը $j(r)$ է: Հոսանքի և արտաքին մագնիսական դաշտի փոխազդեցության (5.20) էներգիան արտահայտեք հոսանքի m մագնիսական մոմենտի միջոցով:
- 6.18** Նախորդ խնդրի պայմաններին բավարարող $j(r)$ հոսանքի վրա ազդող ուժի **K** մոմենտը արտահայտեք հոսանքի m մագնիսական մոմենտի միջոցով: Ապացուցեք, որ **K**-ն կախված չէ սկզբնակետի ընտրությունից, որի նկատմամբ այն հաշվում է:
- 6.19** **R** շառավղով, **Q** լիցքով հավասարաշափ լիցքավորված գլանը անկյունային արագությամբ պտտվում է իր առանցքի շուրջը, որը **B** արտաքին դաշտի հետ կազմում է ա անկյուն: Որոշեք գլանի և արտաքին մագնիսական դաշտի փոխազդեցության էներգիան:

ԳԼՈՒԽ 6
ՔՎԱԶԻՍԱՑԻՈՆԱՐ
ԵԼԵԿՏՐԱՄԱԳՆԻՍԱԿԱՆ ԴԱՇ

Էլեկտրամագնիսական դաշտը կոչվում է քվազիստացիոնար, եթե
ա) դաշտի ω հաճախությանը համապատասխանող $\lambda = c/\omega$ ալիքի
երկարությունը շատ մեծ է դիտարկվող համակարգի l չափերից՝

$$\omega \ll c/l, \quad (6.1)$$

բ) շեղման հոսանքը կարելի է անտեսել հաղորդականության հո-
սանքի նկատմամբ՝

$$\frac{1}{c} \frac{\partial \mathbf{D}}{\partial t} \ll \frac{4\pi j}{c}, \quad (6.2)$$

գ) միջավայրը բնութագրող մեծությունները (ϵ և μ թափանցելիու-
թյունները, λ հաղորդականությունը) ունեն նույն արժեքները, ինչ հաս-
տառուն դաշտերում:

Քվազիստացիոնար էլեկտրամագնիսական դաշտի հավասարում-
ներն են՝

$$\text{rot} \mathbf{H} = \frac{4\pi j}{c}, \quad (6.3)$$

$$\text{rot} \mathbf{E} = - \frac{1}{c} \frac{\partial \mathbf{B}}{\partial t}, \quad (6.4)$$

$$\text{div} \mathbf{B} = 0, \quad (6.5)$$

$$\text{div} \mathbf{D} = 4\pi\rho : \quad (6.6)$$

(6.3) և (6.4) հավասարումներից կարելի է ստանալ երկրորդ կարգի
դիֆերենցիալ հավասարումներ \mathbf{E} և \mathbf{H} վեկտորների համար՝

$$\Delta \mathbf{H} = \frac{4\pi\mu\lambda}{c^2} \frac{\partial \mathbf{H}}{\partial t}, \quad (6.7)$$

$$\Delta \mathbf{E} = \frac{4\pi\mu\lambda}{c^2} \frac{\partial \mathbf{E}}{\partial t} : \quad (6.8)$$

Արտաքին փոփոխական մագնիսական դաշտը թափանցելով հա-
ղորդիչի մեջ էլեկտրամագնիսական մակածման երևույթի համաձայն
ստեղծում է մրրկային էլեկտրական դաշտ, որը իր հերթին առաջանում
է ծավալային հոսանքներ (Ֆուկոյի հոսանքներ): ա հաճախությամբ
փոփոխվող դաշտի թափանցումը հաղորդիչի մեջ բնութագրվում է

$$\delta = \frac{c}{\sqrt{2\mu\lambda\omega}} \quad (6.9)$$

մեծությամբ (սկին շերտի հաստությամբ):

$\mathcal{E}_{կողմ}(t)$ կողմնային էլեկտրաշարժ ուժ պարունակող C ունակությամբ, L ինդուկտիվությամբ, R դիմադրությամբ փակ շղթայում $I(t)$ հոսանքը և կոնդենսատորի շրջադիրի $q(t)$ լիցքը քվազիստացիոնար մոտավորությամբ բավարարում են

$$\frac{1}{c^2} L \frac{d^2 q}{dt^2} + R \frac{dq}{dt} + \frac{1}{C} q = \mathcal{E}_{կողմ}, \quad (6.10)$$

$$\frac{1}{c^2} L \frac{d^2 I}{dt^2} + R \frac{dI}{dt} + \frac{1}{C} I = \frac{d\mathcal{E}_{կողմ}}{dt} \quad (6.11)$$

հավասարումներին:

Ներդաշնակ օրենքով փոփոխվող $\mathcal{E}_{կողմ} \sim e^{-i\omega t}$ կողմնային էլշուի դիագրում $I(t)$ -ն և $\mathcal{E}_{կողմ}(t)$ -ը կապված են՝

$$I(t) = \frac{\mathcal{E}_{կողմ}(t)}{Z} \quad (6.12)$$

առնչությամբ, որտեղ Z -ը կոչվում է շղթայի կոմպլեքս դիմադրություն (հմակերան) և հավասար է՝

$$Z = R + i \left(\frac{1}{\omega C} - \frac{\omega L}{c^2} \right); \quad (6.13)$$

ճյուղավորված շղթաներում առանձին տեղամասերի հոսանքները գտնելու համար կարելի է օգտվել Կիրխոնֆի կանոններից՝

- 1) շղթայի յուրաքանչյուր հանգույցում մտնող և դուրս եկող հոսանքների հաճրահաշվական գումարը հավասար է զրոյի,
- 2) ճյուղավորված շղթայի յուրաքանչյուր կոնտուրում բոլոր աղբյուրների էլշու-ների գումարը հավասար է լարման անկումների գումարին:

Եթե գծային շղթայում էլշու-ն ստեղծվում է էլեկտրամագնիսական մակածման միջոցով, ապա այն կարելի է հաշվել Ֆարադեյի օրենքի օգնությամբ՝

$$\mathcal{E}_{կողմ} = -\frac{1}{c} \frac{d\Phi}{dt}, \quad (6.14)$$

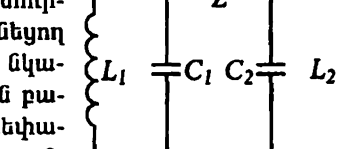
որտեղ Φ -ն մագնիսական ինդուկցիայի վեկտորի հոսքն է շղթայով:

Եթե տրված են ինդուկտիվությամբ կապված մի քանի շղթաներ, ապա i -րդ շղթայով մագնիսական ինդուկցիայի լրիվ հոսքը որոշվում է

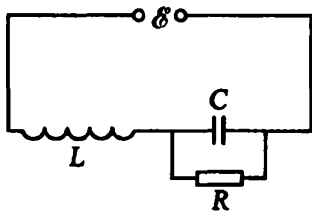
$$\Phi_i = \frac{1}{c} \sum_k L_{ik} I_k \quad (6.15)$$

բանաձևով, որտեղ I_k -ն հոսանքն է k -րդ շղթայում, L_{ik} -երը փոխինդուկցիայի ($i \neq k$) և ինքնինդուկցիայի ($i = k$) գործակիցներն են:

- 6.1** Որոշեք հոսանքի ուժի փոփոխության օրենքը R դիմադրությունից, L ինդուկտիվությունից և C էլշու ունեցող հոսանքի աղբյուրի կազմված փակ շղթայի (ա) միացման և (բ) անջատման ժամանակ:
 - 6.2** Գտեք սեփական տատանումների առանձին հաճախությունը իդեալական տատանողական կոնտուրում:
 - 6.3** Գտեք լիցքի $q(t)$ ժամանակային վարքը R ակտիվ դիմադրությամբ տատանողական կոնտուրում, եթե $t = 0$ պահին կոնդենսատորի լիցքը q_0 է:
 - 6.4** Գտեք $I(t)$ հոսանքի ուժը ներդաշնակ օրենքով փոփոխվող էլեկտրաշարժ ուժ պարունակող R ակտիվ դիմադրությամբ տատանողական կոնտուրում:
 - 6.5** Գտեք $I(t)$ հոսանքի ուժը R ակտիվ դիմադրությամբ տատանողական կոնտուրում, եթե $t = 0$ պահին միանում է \mathcal{E}_0 հաստատուն էլեկտրաշարժ ուժը, իսկ կոնդենսատորի սկզբնական լիցքը q_0 է:
 - 6.6** L_1 , C_1 և L_2 , C_2 պարամետրերով երկու իդեալական տատանողական կոնտուրներ կապված են L_{12} փոխինդուկցիայի գործակցով ինդուկտիվությամբ: Որոշեք էլեկտրական տատանումների սեփական հաճախությունները: Զննարկեք սահմանային դեպք, եթե $L_{12} \rightarrow 0$:
-
-
- 6.7** L_1 , C_1 և L_2 , C_2 պարամետրերով երկու իդեալական տատանողական կոնտուրներ կապված են Z ինպետան ունեցող տարրով, ինչպես պատկերված է նկարում: Ստացեք հավասարում, որին բավարարում են այդ հանակարգի սեփական տատանումների հաճախությունները:
 - 6.8** Ստացեք նախորդ խնդրում նկարագրված համակարգի սեփական հաճախությունները, եթե Z տարրը (ա) L ինդուկտիվություն է, (բ) C ունակություն է:



- 6.9** Ցույց տվեք, որ եթե նկարում պատկերված շղթայում \mathcal{E} էլեկտրաշարժութիւնիսվում է ներդաշնակ օրենքով՝ $\omega_0 = c/\sqrt{LC}$ հաճախությամբ, ապա R դիմադրությամբ անցնող հոսանքը կախված չէ այդ դիմադրության մեծությունից:
- 6.10** B_0 հաստատուն մագնիսական դաշտում գտնվող հաղորդիչ օդակը առաջանագույն արագությամբ պտտվում է իր տրամագծի շուրջը, որն ուղղահայաց է B_0 -ին: Գտեք $I(t)$ հոսանքի ուժը օդակում, $K(t)$ արգելակող ուժի մոմենտը և պտույտը ապահովելու համար անհրաժեշտ P միջին հզորությունը:
- 6.11** R , L , C պարամետրերով և S մակերեսով հարթ կոնտուրը հաստատուն անկյունային արագությամբ պտտվում է B_0 հաստատուն մագնիսական դաշտում, այդ դաշտին ուղղահայաց և կոնտուրի հարթության մեջ գտնվող առանցքի շուրջը: Գտեք \bar{K} միջին արգելակող ուժի մոմենտը:
- 6.12** $\mathcal{H}(t) = \mathcal{H}_0 e^{-i\omega t}$ համասեռ փոփոխական մագնիսական դաշտում տեղափորված է և հաղորդականություն և մագնիսական թափանցիկություն ունեցող անվերջ երկար, R շառավղով մետաղյա զլան, որի առանցքը գուգահեռ է դաշտի ուղղությանը: Գտեք էլեկտրամագնիսական դաշտի E և H լարվածությունները զլանի ներսում և դրամ:
- 6.13** Գտեք հոսանքի J խտության բաշխումը նախորդ խնդրում նկարագրված զլանում: Քննարկեք մեծ և փոքր հաճախությունների դեպքերը:
- 6.14** R շառավղով, λ հաղորդականությամբ, մ մագնիսական թափանցիկությունը անվերջ երկար մետաղյա զլանը գտնվում է հաստատուն, համասեռ, զլանի առանցքին գուգահեռ \mathcal{H}_0 դաշտում: Ժամանակի $t = 0$ պահին մագնիսական դաշտն անջատվում է: Գտեք մագնիսական դաշտի մարման վարքը զլանում:
- 6.15** Անվերջ երկար, շրջանային կտրվածքով հաղորդալարով հոսում է առաջանագույն արագությամբ I փոփոխական հոսանք: Գտեք հոսանքի խտության բաշխումը հաղորդալարի ներսում ն ցույց տվեք, որ մեծ հաճախությունների դեպքում հոսանքը հիմնականում կանցնի հաղորդիչի մակերևությային բարակ շերտով (Սկին էֆեկտ):



ՊԱՏԱՍԽԱՆԱՆԵՐ

ԳԼՈՒԽ 1 ՄԱԹԵՄԱՏԻԿԱԿԱՆ ՆԵՐԱԾՈՒԹՅՈՒՆ

- 1.1** ա) $\mathbf{E} = \mathbf{b} \times \mathbf{a}$, բ) $\mathbf{E} = \mathbf{a}(\mathbf{b} \cdot \mathbf{r}) + \mathbf{b}(\mathbf{a} \cdot \mathbf{r}) - 2\mathbf{r}(\mathbf{a} \cdot \mathbf{b})$,
 գ) $\mathbf{E} = (\mathbf{a} \cdot \mathbf{r})\mathbf{k} \sin(\mathbf{k} \cdot \mathbf{r}) - \mathbf{a} \cos(\mathbf{k} \cdot \mathbf{r})$, դ) $\mathbf{E} = \frac{3(\mathbf{p} \cdot \mathbf{r})\mathbf{r}}{r^5} - \frac{\mathbf{p}}{r^3}$,
 ե) $\mathbf{E} = -\left(f \frac{dg}{dr} + g \frac{df}{dr}\right) \frac{\mathbf{r}}{r}$, զ) $\mathbf{E} = -\frac{df}{dg} \frac{dg}{d(\mathbf{a} \cdot \mathbf{r})} \mathbf{a}$:
- 1.2** ա) կարելի է՝ $\operatorname{rot} \mathbf{E}_0 = 0$, $\operatorname{div} \mathbf{E}_0 = 0$,
 բ) չի կարելի՝ $\operatorname{rot} \mathbf{E} = \mathbf{b} \times \mathbf{a}$, $\operatorname{div} \mathbf{E} = \mathbf{a} \cdot \mathbf{b}$,
 գ) կարելի է միայն $\mathbf{a} \perp \mathbf{b}$ դեպքում՝ $\operatorname{rot} \mathbf{E} = 0$, $\operatorname{div} \mathbf{E} = 3(\mathbf{a} \cdot \mathbf{b})$,
 դ) չի կարելի՝ $\operatorname{rot} \mathbf{E} = \mathbf{a} \times \mathbf{b}$, $\operatorname{div} \mathbf{E} = -2(\mathbf{a} \cdot \mathbf{b})$,
 ե) չի կարելի՝ $\operatorname{rot} \mathbf{E} = 3(\mathbf{a} \cdot \mathbf{r})\mathbf{k} - (\mathbf{a} \cdot \mathbf{k})\mathbf{r}$, $\operatorname{div} \mathbf{E} = \mathbf{a}(\mathbf{k} \times \mathbf{r})$,
 զ) չի կարելի՝ $\operatorname{rot} \mathbf{E} = 3(\mathbf{r} \times \mathbf{a})$, $\operatorname{div} \mathbf{E} = -2(\mathbf{a} \cdot \mathbf{r})$,
 թ) չի կարելի՝ $\operatorname{rot} \mathbf{E} = (\mathbf{b} \times \mathbf{a}) \cos(\mathbf{k} \cdot \mathbf{r}) - (\mathbf{b} \cdot \mathbf{r})(\mathbf{k} \times \mathbf{a}) \sin(\mathbf{k} \cdot \mathbf{r})$,
 $\operatorname{div} \mathbf{E} = (\mathbf{a} \cdot \mathbf{b}) \cos(\mathbf{k} \cdot \mathbf{r}) - (\mathbf{a} \cdot \mathbf{k})(\mathbf{b} \cdot \mathbf{r}) \sin(\mathbf{k} \cdot \mathbf{r})$,
 ը) կարելի է՝ $\operatorname{rot} \mathbf{E} = 0$, $\operatorname{div} \mathbf{E} = 0$,
 թ) կարելի է՝ $\operatorname{rot} \mathbf{E} = 0$, $\operatorname{div} \mathbf{E} = 0$:
- 1.3** ա) կարելի է՝ $\operatorname{rot} \mathbf{H} = 0$, $\operatorname{div} \mathbf{H} = 0$,
 բ) չի կարելի՝ $\operatorname{rot} \mathbf{H} = (\hat{\mathbf{e}}_x + \hat{\mathbf{e}}_y + \hat{\mathbf{e}}_z) \mathbf{a}$, $\operatorname{div} \mathbf{H} = 0$,
 գ) կարելի է՝ $\operatorname{rot} \mathbf{H} = 0$, $\operatorname{div} \mathbf{H} = 0$:
- 1.4** ա) $\rho = \frac{a^2}{4\pi}$, բ) $\rho = \frac{qr}{\pi}$, գ) $\rho = \frac{e}{\pi a^3} e^{-2r/a}$
 դ) $\rho = \rho_0 \cos \vartheta$ ($r \leq R$), $\rho = 0$ ($r > R$),
 թ) $\rho = \rho_0 \cos \alpha$ ($r \leq R$), $\rho = 0$ ($r > R$),
- 1.5** ա) $\mathbf{j} = \frac{c}{2\pi} \left[f(r) \mathbf{a} + \frac{df}{dr} \frac{\mathbf{r} \times (\mathbf{a} \times \mathbf{r})}{2r} \right]$, բ) $\mathbf{j} = \frac{c}{4\pi} [3(\mathbf{a} \cdot \mathbf{r})\mathbf{b} - (\mathbf{a} \cdot \mathbf{b})\mathbf{r}]$,
 զ) $j_r = j_\theta = 0$, $j_a = \frac{acr}{4\pi} \sin \vartheta$ ($r \leq R$), $\mathbf{j} = 0$ ($r > R$),
 դ) $j_r = 0$, $j_a = \frac{bcr}{2\pi}$, $j_\theta = \frac{9c}{2\pi}$ ($r \leq R$), $\mathbf{j} = 0$ ($r > R$),
- 1.7** ա) $\rho(x, y, z) = q\delta(x - x_0)\delta(y - y_0)\delta(z - z_0)$

$$\rho(r, \vartheta, \alpha) = \frac{q}{r_0^2 \sin \vartheta_0} \delta(r - r_0) \delta(\vartheta - \vartheta_0) \delta(\alpha - \alpha_0),$$

$$\rho(r, \alpha, z) = \frac{q}{r_0} \delta(r - r_0) \delta(\alpha - \alpha_0) \delta(z - z_0),$$

p) $\rho(x, y, z) = 2R\sigma \delta(x^2 + y^2 + z^2 - R^2)$, $\rho(r, \vartheta, \alpha) = \sigma \delta(r - R)$,

$$\rho(r, \alpha, z) = 2R\sigma \delta(r^2 + z^2 - R^2),$$

q) $\rho(x, y, z) = 2R\lambda \delta(x^2 + y^2 - R^2) \delta(z)$,

$$\rho(r, \vartheta, \alpha) = \frac{\lambda}{R} \delta(r - R) \delta(\cos \vartheta) = \frac{\lambda}{R} \delta(r - R) \delta\left(\vartheta - \frac{\pi}{2}\right),$$

$$\rho(r, \alpha, z) = \lambda \delta(r - R) \delta(z),$$

η) Դեկարտյան կոորդինատակամ համակարգ.

Քանի որ լիցքը բաշխված է առանցքով, ապա՝

$$\rho(x, y, z) = \begin{cases} \infty, & \text{եթե } x = y = 0, \\ 0 & \text{մնացած դեպքերում:} \end{cases}$$

Եշանակում է, կարող ենք գրել՝

$$\rho(x, y, z) = a \delta(x) \delta(y):$$

ա գործակիցը կգտնենք պահանջելով. որ dz երկարությամբ լարի dq լիցքը հավասար լինի λdz -ի: Քաի որ

$$dq = dz \int_{-\infty}^{\infty} \int_{-\infty}^{\infty} a \delta(x) \delta(y) dx dy = a dz,$$

ապա կստանանք՝ $a = \lambda$ և

$$\rho(x, y, z) = \lambda \delta(x) \delta(y):$$

Գնդային կոորդինատակամ համակարգ.

Այս դեպքում

$$\rho(r, \vartheta, \alpha) = \begin{cases} \infty, & \text{եթե } \vartheta = 0 \text{ կամ } \vartheta = \pi \\ 0 & \text{մնացած դեպքերում:} \end{cases}$$

Ծավալի տարրի $dV = r^2 \sin \vartheta d\vartheta d\alpha$ արտահայտությունը հուշում է, որ ավելի նպատակահարմար է $\vartheta = 0$ կամ $\vartheta = \pi$ պայմանները գրել $\cos \vartheta$ ֆունկցիայի միջոցով՝ $\cos 0 = 1$ կամ $\cos \pi = -1$: Վերջիններս կարելի է միավորել՝ գրելով $\cos^2 \vartheta = 1$:

Այստեղից կհետևի, որ

$$\rho(r, \vartheta, \beta) = a \delta(1 - \cos^2 \vartheta):$$

ա գործակիցը կարելի է գտնել՝ պահանջելով, որ $[r, r+dr]$ գնդային շերտում պարունակվող լիցքը լինի $dq=2\lambda dr$: Քանի որ

$$\begin{aligned} dq &= 2\lambda dr = r^2 dr \int_0^\pi a \delta(1 - \cos^2 \vartheta) \sin \vartheta d\vartheta \int_0^{2\pi} d\alpha = \\ &= 2\pi r^2 adr \int_{-1}^1 \delta(1 - \xi^2) d\xi = 4\pi r^2 adr \int_0^1 \delta(1 - \xi^2) d\xi = \\ &= 2\pi r^2 adr \int_0^1 \frac{\delta(1 - \xi^2) d\xi^2}{\xi} = \\ &= 2\pi r^2 adr \int_0^1 \frac{\delta(1 - \eta) d\eta}{\sqrt{\eta}} = 2\pi r^2 adr \cdot \frac{1}{2}, \end{aligned}$$

ապա $a=2\lambda/\pi r^2$, և վերջնականապես՝

$$\rho(r, \vartheta, \alpha) = \frac{2\lambda}{\pi r^2} \delta(1 - \cos^2 \vartheta):$$

Գլանային կոռորդինատական համակարգ.

Քանի որ

$$\rho(r, \vartheta, \alpha) = \begin{cases} \infty, & \text{եթե } r = 0, \\ 0, & \text{եթե } r \neq 0, \end{cases}$$

ապա լիցքի խտությունը կարող ենք ներկայացնել

$$\rho(r, \vartheta, \alpha) = a(r) \delta(r)$$

տեսքով: **Պահանջնենք**, որ $[z, z+dz]$ հատվածում լիցքը լինի $dq = \lambda dz$:

$$\begin{aligned} \lambda dz &= dz \int_0^\infty a(r) \delta(r) r dr \int_0^{2\pi} d\alpha = \\ &= 2\pi dz \cdot \frac{1}{2} [a(r)r]_{r=0} = \pi [a(r)r]_{r=0} dz, \end{aligned}$$

որտեղից՝ $[a(r)r]_{r=0} = \lambda/\pi$ և $a(r) = \lambda/\pi r$: Արդյունքում ստանում ենք՝

$$\rho(r, \alpha, z) = \frac{\lambda}{\pi r} \delta(r) :$$

հ) $\rho(x, y, z) = \sigma \delta(z)$, $\rho(r, \vartheta, \alpha) = \frac{\sigma}{r} \delta(\cos \vartheta) = \frac{\sigma}{r} \delta\left(\vartheta - \frac{\pi}{2}\right)$,

$$\rho(r, \alpha, z) = \sigma \delta(z)$$

գ) $\rho(x, y, z) = 2R\sigma\delta(x^2 + y^2 - R^2)$,
 $\dot{\rho}(r, \theta, \alpha) = \sigma \delta(r \sin \theta - R)$, $\rho(r, \alpha, z) = \sigma \delta(r - R)$:

1.8 $r_+ = r_0 + l$ և $r_- = r_0$ շառավիղ վեկտորներով կետերում գտնվող e և
 $-e$ լիցքնի ծավալային խտությունը՝

$$\rho_l(r) = e [\delta(r - r_+) - \delta(r - r_-)]:$$

Կամայական ածանցելի $f(r)$ ֆունկիայի շարքի վերլուծության

$$f(r + \varepsilon) = f(r) + (\varepsilon \cdot \nabla) f(r) + o(\varepsilon^2)$$

բանաձևից, կունենանք

$$\delta(r - r_+) = \delta(r - r_0) - (l \cdot \nabla) \delta(r - r_0) + o(l^2),$$

որտեղից

$$\rho_l(r) = -e(l \cdot \nabla) \delta(r - r_0) + o(l^2):$$

կատարելով $l \rightarrow 0$, $e \rightarrow \infty$ սահմանային անցում, կստանանք

$$\rho(r) = \lim_{\substack{l \rightarrow 0 \\ e \rightarrow \infty \\ cl \rightarrow p}} \rho_l(r) = -(p \cdot \nabla) \delta(r - r_0):$$

1.9 ա) $\phi(r) = \frac{c_1}{r} + c_2$, պ) $\phi(\theta) = c_1 \ln\left(\tg \frac{\theta}{2}\right) + c_2$,

զ) $\phi(\alpha) = c_1 \alpha + c_2$, որտեղ c_1 -ը և c_2 -ը հաստատուններն են:

1.10 ա) $\phi(r) = c_1 \ln r + c_2$, պ) $\phi(\alpha) = c_1 \alpha + c_2$,

զ) $\phi(z) = c_1 z + c_2$, որտեղ c_1 -ը և c_2 -ը հաստատուններն են:

1.11 Ճույղում. անհրաժեշտ է ցույց տալ, որ ամենուրեք $\Delta \phi = 0$, քայլ $r = r_0$ կետից, և որ $r_0 \in V$ դեպքում $\int_V \Delta \phi dV = -4\pi q$:

1.12 ա) $\phi(r) = \frac{e}{|r - r_0|}$,

$$\begin{aligned} \text{պ)} \quad & \int_V \frac{(p \cdot \nabla') \delta(r')}{|r - r'|} dV' = p \cdot \int_V \frac{\nabla' \delta(r')}{|r - r'|} dV' = \\ & = p \cdot \int_V \nabla \frac{\delta(r')}{|r - r'|} dV' - p \cdot \int_V \delta(r') \nabla \frac{1}{|r - r'|} dV' = \\ & = p \cdot \int_S \frac{\delta(r')}{|r - r'|} dS' - p \cdot \int_V \delta(r') \nabla \frac{r - r'}{|r - r'|^3} dV' = -\frac{p \cdot r}{r^3}: \end{aligned}$$

Այստեղ հաշվի առնվեց, որ $\delta(\mathbf{r}')$ ֆունկցիայի շնորհիվ մակերևութային ինտեգրալը հավասարվում է զրոյի, իսկ ∇ -ի վրայի շտրիխով ցույց է տալիս, որ ածանցումը կատարվում է ըստ շտրիխված կոորդինատների: Վերջնականապես՝

$$\Phi(\mathbf{r}) = \frac{\mathbf{p} \cdot \mathbf{r}}{r^3}:$$

զ) Գնդային կոորդինատական համակարգում ծավալային ինտեգրալը դառնում է

$$\Phi(\mathbf{r}) = \int_0^\infty \int_0^\pi \int_0^{2\pi} \frac{\rho(r') r'^2 \sin \theta dr' d\theta da}{(r^2 + r'^2 - 2rr \cos \theta)^{1/2}} = 2\pi \int_0^\infty \rho(r') r'^2 F(r, r') dr',$$

որտեղ

$$F(r, r') = \int_0^\pi \frac{\sin \theta d\theta}{(r^2 + r'^2 - 2rr \cos \theta)^{1/2}} = \begin{cases} \frac{2}{r'} & (r > r'), \\ \frac{2}{r} & (r < r'): \end{cases}$$

Վերջինս տեղադրելով $\Phi(\mathbf{r})$ -ի արտահայտության մեջ, կստանանք

$$\Phi(\mathbf{r}) = \begin{cases} \frac{4\pi R^3}{3} \rho_0 \frac{1}{r} & (r > R), \\ \frac{4\pi \rho_0 R^2}{6} \left(3 - \frac{r^2}{R^2} \right) & (r \leq R): \end{cases}$$

1.13 Օգտվելով $\frac{\mathbf{r} - \mathbf{r}'}{|\mathbf{r} - \mathbf{r}'|} = -\text{grad} \frac{1}{|\mathbf{r} - \mathbf{r}'|}$ առնչությունից և (1.11) խնդրի արդյունքից, կստանանք՝

$$\text{div} \mathbf{E}(\mathbf{r}) = 4\pi \rho(\mathbf{r}), \quad \text{rot} \mathbf{E}(\mathbf{r}) = 0,$$

$$\text{div} \mathbf{H}(\mathbf{r}) = 0, \quad \text{rot} \mathbf{H}(\mathbf{r}) = \frac{4\pi}{c} \mathbf{j}(\mathbf{r}):$$

1.14 ա) Դիտարկվող ինտեգրալը բազմապատկելով \mathbf{b} կամայական հաստատուն վեկտորով և օգտվելով (1.10) նույնությունից ու Գաուսի թեորեմից, կստանանք

$$\mathbf{m} \cdot \mathbf{b} = \frac{1}{2c} \left\{ \int_S f(r) \mathbf{a} \times (\mathbf{b} \times \mathbf{r}) \cdot d\mathcal{S} + \int_V f(r) \mathbf{a} \cdot \text{rot}(\mathbf{b} \times \mathbf{r}) dV \right\}:$$

Խնդրում նշված պայմանի շնորհիվ մակերևութային ինտեգրալը անվերջ հեռվում ձգում է զրոյի: Օգտագործելով $\text{rot}(\mathbf{b} \times \mathbf{r}) = 2\mathbf{b}$ առնչությունը, կունենանք

$$\mathbf{m} \cdot \mathbf{b} = \frac{1}{c} \mathbf{a} \cdot \mathbf{b} \int_V f(r) dV,$$

որտեղից

$$\mathbf{m} = \frac{4\pi}{c} \mathbf{a} \int_0^{\infty} f(r) r^2 dr:$$

$$\begin{aligned} \text{p)} \quad \mathbf{m} &= \frac{1}{2c} \int_V \mathbf{r} \times [(\mathbf{a} \times \nabla) \delta(\mathbf{r} - \mathbf{r}_0)] dV = \\ &= -\frac{1}{2c} \int_V \mathbf{r} \times [(\mathbf{a} \times \nabla_{\mathbf{r}_0}) \delta(\mathbf{r} - \mathbf{r}_0)] dV = \\ &= \frac{1}{2c} (\mathbf{a} \times \nabla_{\mathbf{r}_0}) \times \int_V \mathbf{r} \delta(\mathbf{r} - \mathbf{r}_0) dV = \frac{1}{2c} (\mathbf{a} \times \nabla_{\mathbf{r}_0}) \times \mathbf{r}_0 = \\ &= \frac{1}{2c} \{ \nabla_{\mathbf{r}_0} (\mathbf{r}_0 \cdot \mathbf{a}) - \mathbf{a} (\nabla_{\mathbf{r}_0} \cdot \mathbf{r}_0) \} = -\frac{\mathbf{a}}{c} \end{aligned}$$

1.16 Ցուցում. Ապացույնելու համար $\int A dV$ ինտեգրալը բազմապատկեր կամայական \mathbf{c} հաստատուն վեկտորով և օգտագործեք $\mathbf{c} = \text{grad}(\mathbf{c} \cdot \mathbf{r})$ նույնությունը:

1.17 Պահանջվող նույնությունները ստանալու համար Գ-առև.-Օստրովայսկու թեորեմը կիրառեք $\mathbf{a} = \varphi \nabla \psi - \psi \nabla \varphi$ և $\mathbf{a} = \psi \nabla \varphi$ վեկտորների նկատմամբ:

1.18 Գրինի առաջին նույնության մեջ (տես նախորդ խնդիրը) վերցնելով $\psi = \frac{1}{|\mathbf{r} - \mathbf{r}_0|}$ և օգտվելով 1.11 խնդրի արդյունքից, կստանանք՝

$$4\pi\varphi(\mathbf{r}_0) = \oint_S \frac{1}{|\mathbf{r} - \mathbf{r}_0|} \text{grad} \varphi \cdot d\mathbf{S} + \oint_S \frac{\mathbf{r} - \mathbf{r}_0}{|\mathbf{r} - \mathbf{r}_0|^3} \cdot d\mathbf{S}:$$

Որպես ինտեգրման S մակերևույթ վերցնելով $R = |\mathbf{r} - \mathbf{r}_0|$ շառավղով գնդային մակերևույթը և հաշվի առնելով, որ

$$\oint_S \text{grad} \varphi \cdot d\mathbf{S} = \int_V \Delta \varphi dV = 0,$$

կգանք

$$\varphi(r_0) = \frac{1}{4\pi R^2} \oint_S \varphi dS$$

Վերջնական արդյունքին:

- 1.19 ա) $\mathcal{F}\left[\frac{\partial \varphi(r,t)}{\partial t}\right] = -i\omega \varphi_F(k,\omega)$, բ) $\mathcal{F}\left[\frac{\partial^2 \varphi(r,t)}{\partial t^2}\right] = -\omega^2 \varphi_F(k,\omega)$,
 գ) $\mathcal{F}[\text{grad}\varphi(r,t)] = -ik\varphi_F(k,\omega)$, դ) $\mathcal{F}[\Delta\varphi(r,t)] = -k^2\varphi_F(k,\omega)$,
 ե) $\mathcal{F}[\text{div}\mathbf{A}(r,t)] = i k \cdot \mathbf{A}_F(k,\omega)$, զ) $\mathcal{F}[\text{rot}\mathbf{A}(r,t)] = ik \times \mathbf{A}_F(k,\omega)$:

- 1.21 Ընտրենք գնդային կոռորդինատական համակարգ, որի ֆ թվեռային անկյունը հաշվում է k վեկտորի ուղղությունից: Հաշվի առնելով, որ $dV = r^2 \sin \theta dr d\theta d\alpha$, կստանանք

$$\varphi_F(k) = \int_V \varphi(r) e^{ik \cdot r} dV = 2\pi \int_0^\infty \int_0^\pi \int_0^{2\pi} e^{ikr \cos \theta} r \sin \theta dr d\theta d\alpha :$$

Սկզբում կատարենք ըստ r -ի ինտեգրումը՝

$$\begin{aligned} \int_0^\infty e^{ikr \cos \theta} r dr &= \lim_{a \rightarrow 0} \int_0^\infty e^{r(i k \cos \theta - a)} r dr = \\ &= \lim_{a \rightarrow 0} \frac{1}{(ik \cos \theta - a)^2} = -\frac{1}{k^2 \cos^2 \theta}, \end{aligned}$$

$$\varphi_F(k) = -\frac{2\pi}{k^2} \int_0^\pi \frac{\sin \theta d\theta}{\cos^2 \theta} = \frac{4\pi}{k^2}:$$

- 1.22 $\mathbf{j}_F(k,\omega) = 2\pi e v \delta(\mathbf{k} \cdot \mathbf{v} - \omega)$:

- 1.23 $G(r, r') = \frac{1}{|r - r'|} + \Phi(r, r')$, որտեղ $\Phi(r, r')$ ֆունկցիան

$\Delta\Phi(r, r') = 0$ Լապլասի հավասարման լուծումն է:

- 1.24 Դաշտային հավասարման $G(R, \tau)$ գրինի ֆունկցիան բավարարում է

$$\Delta G(R, \tau) - \frac{1}{c^2} \frac{\partial^2 G(R, \tau)}{\partial \tau^2} = -4\pi \delta(R) \delta(\tau)$$

հավասարմանը, որտեղ $R = r - r'$, $\tau = t - t'$: Հաշվի առնելով, որ

$$\delta(R) \delta(\tau) = \frac{1}{(2\pi)^4} \int d^3 k \int d\omega e^{i(kR - \omega\tau)},$$

$$G(\mathbf{R}, \tau) = \frac{1}{(2\pi)^4} \int d^3 k \int d\omega g(k, \omega) e^{i(k\mathbf{R} - \omega\tau)}, \quad (1)$$

Գրինի ֆունկցիայի $g(k, \omega)$ ֆուրիե-պատկերի համար կստանանք

$$\left(k^2 - \frac{\omega^2}{c^2} \right) g(k, \omega) = 4\pi \quad (2)$$

հավասարումը, որի լուծումը $k^2 \neq \omega^2/c^2$ դեպքում ունի $4\pi/(k^2 - \omega^2/c^2)$ տեսքը: Նկատենք, որ եթե վերջինիս գումարենք միայն $k^2 = \omega^2/c^2$ դեպքում զրոյից տարբերվող կամայական ֆունկցիա, կստանանք (2)-ին բավարարող նոր լուծում: Նշանակում է (2)-ի ընդհանուր լուծումը կարող ենք ներկայացնել

$$g(k, \omega) = \frac{4\pi}{k^2 - \omega^2/c^2} + \Phi_0(k, \omega) \delta(k^2 - \omega^2/c^2) \quad (3)$$

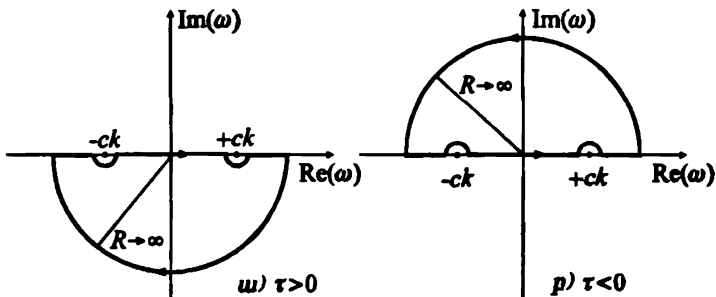
տեսրով, որտեղ $\Phi_0(k, \omega)$ -ն կամայական վերջավոր ֆունկցիա է: Այժմ (2)-ի օգնությամբ հաշվենք Գրինի ֆունկցիան: Նախ նշենք, որ (1) ձևափոխությունը կիրառելով $\Phi_0(k, \omega) \delta(k^2 - \omega^2/c^2)$ անդամի վրա ստանում ենք ինչ-որ $G_0(\mathbf{R}, \tau)$ ֆունկցիա, որը Դալամբերի համասեռ հավասարման լուծում է: Հաշվի առնելով այս հանգամանքը, կգրենք

$$G(\mathbf{R}, \tau) = G_1(\mathbf{R}, \tau) + G_0(\mathbf{R}, \tau),$$

որտեղ

$$G_1(\mathbf{R}, \tau) = \frac{1}{4\pi^3} \int d^3 k e^{i k \mathbf{R}} \int_{-\infty}^{\infty} d\omega \frac{e^{-i\omega\tau}}{k^2 - \omega^2/c^2}: \quad (4)$$

Ըստ ω -ի ինտեգրալը հաշվելու համար այն ներկայացնենք Կոշու ինտեգրալի տեսրով: Ենթիմտեզրալ ֆունկցիան ունի երկու հատուկ կետ՝ $\omega_{1,2} = \pm ck$: $\tau > 0$ դեպքում ինտեզրման կրնտուրն ընտ-



թենք նկարում պատճերված ա) ձևով. իսկ $\tau < 0$ դեպքում բ) ձևով, այնպիս, որ $R \rightarrow \infty$ դեպքում մեծ կիսաշրջանագծերով ինտեգրալը ձգուի զրոյի: Հաշվի առնելով, որ ընտրված տիրույթներում այլև հատուկ կիսեր չկան, իսկ զրոյի ձգուող շառավիղներով փոքր կիսաշրջանագծերով ինտեգրալները հավասար են համապատասխան մնացած կամ կամաց մնացած մասերում:

$$\int_{-\infty}^{\infty} \frac{e^{-i\omega t}}{k^2 - \omega^2/c^2} d\omega + \text{sgn}(\tau) \pi i \sum_{m=1}^2 \text{Res} \left\{ \frac{e^{-i\omega t}}{k^2 - \omega^2/c^2}; \omega_m \right\} = 0,$$

ՈՐՄԵԴԻԿ ԿԱՌԱՎՎԻ՝

$$\int_{-\infty}^{\infty} \frac{e^{-i\omega\tau}}{k^2 - \omega^2/c^2} d\omega = \frac{\pi c}{k} \operatorname{sgn}(\tau) \sin(ck\tau):$$

Ստացվածը տեղադրելով (4)-ի մեջ և օգտվելով $k \cdot R = kR \cos \theta$,
 $d^3k = k^2 \sin \theta dk d\theta d\alpha$ ներկայացներից, ինտեգրելու հետո
 կստանանք՝

$$G(R, \tau) = \frac{1}{2R} \left\{ \delta\left(\tau - \frac{R}{c}\right) + \delta\left(\tau + \frac{R}{c}\right) \right\} + G_0(R, \tau)$$

Եթե Φ_0 կամայական ֆունկցիան ընտրենք $\Phi_0(k, \omega) = \pm 4\pi^2 i \operatorname{sgn}(\omega)$ տեսքով, ապա կստացվին համաստ հավասարման

$$G_0^\pm(R, \tau) = \pm \frac{1}{2R} \left\{ \delta\left(\tau - \frac{R}{c}\right) - \delta\left(\tau + \frac{R}{c}\right) \right\}$$

լուծումներ, որոնք բայց կատար որոշել գիշինի տշապող (Retarded) և առաջ ընկածող (Advanced) ֆունկցիաները՝

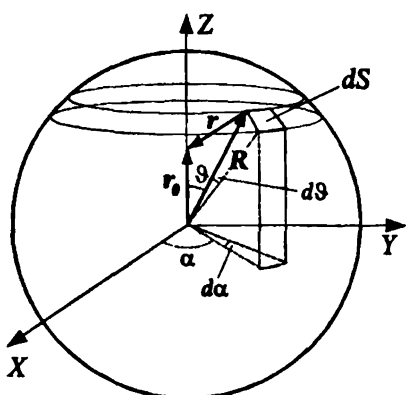
$$G^{(R)}(R, \tau) = \frac{1}{R} \delta\left(\tau - \frac{R}{c}\right) \text{ and } G^{(A)}(R, \tau) = \frac{1}{R} \delta\left(\tau + \frac{R}{c}\right);$$

$$1.25 G(R, \omega) = \frac{1}{R} e^{i\omega R} :$$

ԳԼՈՒԽ 2

ԵԵԿՏՐԱՄԻՆԱՄԻԿԱՅԻ ԳՐԱՎԱԿԱՆ ՕՐԵՆՔՆԵՐԻ ՈՒ ՀԱՎԱՍԱՐՈՒՄՆԵՐԸ

- 2.1 Քավեմդիշի փորձից հետևում է, որ լիցքը բաշխվել է գնդի մակերևույթով:** Խնդրի գնդային համաշափությունն էլ բույլ է տալիս պնդելու, որ այդ բաշխումը հսկասարաշափ է: Կարելի է ցույց տալ, որ գնդի ներսում լիցք կմնար միայն այն դեպքում, եթե հավասարաշափ լիցքավորված գնդային մակերևույթի կողմից գնդի ներսում տեղափորված լիցքի վրա ազդող ուժը գրոյից տարրեր լիներ: Իրոք, այս դեպքում գնդի ներսում գտնվող լիցքի բաշխումը նույնական է գնդային համաշափություն ունենար, այսինքն բաշխված լիներ գնդային շերտով: Գնդային շերտում գտնվող լիցքի տարրի վրա շերտի մյուս լիցքերի կողմից կազդի վանողական ուժ՝ շառավղային ուղղությամբ: Ակնհայտ է, որ դիտարկվող լիցքը կմնար գնդի ներսում միայն այն դեպքում, եթե գնդի մակերևույթին հավասարաշափ բաշխված լիցքի կողմից այդ տարրի վրա ազդող ուժը լիներ գրոյից տարրեր: Այսպիսով ծավալային լիցքի բացակայությունը խոսում է այն մասին, որ հավասարաշափ լիցքավոր-



ված գնդային մակերևույթի կողմից գնդի ներսում տեղափորված լիցքի վրա ազդող ուժը հավասար է գրոյի:

զ լիցքով հավասարաշափ լիցքավորված R շառավղով գնդային մակերևույթի $dS = R^2 \sin \theta d\theta d\alpha$ տարրի կողմից r_0 կետում տեղափորված e լիցքի վրա ազդող ուժը կլինի

$$dF = \frac{eqf(r)r}{4\pi r} \sin \theta d\theta d\alpha ,$$

$$\text{որտեղ } r = r_0 - R:$$

Ազդող լրիվ ուժի համար կունենանք

$$F = \frac{eq}{4\pi} \int \frac{f(r)r}{r} \sin \theta d\theta d\alpha , \quad (1)$$

$$\text{որտեղ } r = (r_0^2 + R^2 - 2r_0R \cos \theta)^{1/2}:$$

Նկատի ունենալով, որ $f(r) r / r = \nabla_r \psi(r)$, որտեղ $\psi'(r) = f(r)$, (1) ինտեգրալը կներկայացնենք այսպես՝

$$\mathbf{F} = \frac{eq}{2} \nabla_{\mathbf{r}_0} \int_0^{\pi} \psi(r) \sin \theta d\theta :$$

Ինչպես տեսնում ենք, ազդող ուժը հավասար է զրոյի, եթե

$$I = \int_0^{\pi} \psi(r) \sin \theta d\theta \quad (2)$$

ինտեգրալը կախված չէ r_0 -ից: (2) ինտեգրալի մեջ Թ փոփոխականից անցնելով r փոփոխականի, կստանանք

$$I = \frac{1}{r_0 R} \int_{R-r_0}^{R+r_0} \psi(r) r dr :$$

Կարելի է ցույց տալ, որ միայն $\psi(r) = a + b/r$ ֆունկցիայի դեպքում, որտեղ a -ն և b -ն հաստատուններ են, I ինտեգրալը կախված չի լինի r_0 -ից: Հետևաբար միայն $f(r) = \psi'(r) = -b/r^2$ կախվածության դեպքում ազդող ուժը ներսում հավասար կլինի զրոյի:

2.2 x, y, z առանցքներն ընտրենք այնպես, ինչպես ցույց է տրված նկարում: Քանի որ խնդիրն ունի առանցքային համաշափություն, ապա ընդհանրությունը խախտած չենք լինի, եթե քննարկենք դաշտը x առանցքի վրա գտնվող կետերում: $(x, 0, 0)$ կետում մագնիսական դաշտի ինդուկցիան հավասար կլինի զրոյի

$$\int_{-\infty}^{\infty} dz \oint (dl \times \mathbf{R}) f(R) = 0 \quad (1)$$

պայմանի դեպքում: Օգտագործենով dl և R վեկտորների

$$dl(-a \sin \alpha da, a \cos \alpha da, 0),$$

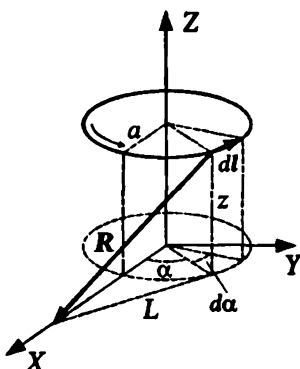
$$R(x - a \cos \alpha, -a \sin \alpha, z)$$

բաղադրիչները, (1)-ը կգրենք այսպես.

$$\int_{-\infty}^{\infty} zdz \int_{-\pi}^{\pi} f(R) \cos \alpha da = 0, \quad (2\alpha)$$

$$\int_{-\infty}^{\infty} zdz \int_{-\pi}^{\pi} f(R) \sin \alpha da = 0, \quad (2\beta)$$

$$\int_{-\infty}^{\infty} dz \int_{-\pi}^{\pi} f(R)(a - x \cos \alpha) da = 0, \quad (2\gamma)$$



որտեղ $R(x, z, \alpha; a) = (L^2 + z^2)^{1/2}$, $L(x, \alpha; a) = (x^2 + a^2 - 2ax \cos \alpha)^{1/2}$, իսկ a -ն սոլենոիդի շառավիղն է: Քանի որ $R(x, z, \alpha; a)$ ֆունկցիան z -ի զույգ ֆունկցիա է, ապա $z f(R)$ ֆունկցիան կլինի կենտ ֆունկցիա, որի շնորհիվ (2ա) և (2բ) հավասարումները կրավարարվեն կամայական $f(R)$ ֆունկցիայի դեպքում: (2գ)-ում հաշվի առնելով ինտեգրվող ֆունկցիայի զույգ լինելը և անցնելով $\xi = R/L$ նոր փոփոխականի, կստանանք

$$\int_0^\pi (a - x \cos \alpha) \int_1^\infty \frac{L \xi f(L \xi) d\xi}{(\xi^2 - 1)^{1/2}} d\alpha = 0: \quad (3)$$

Ցույց տանք, որ միայն $f(R) = c/R^3$ ֆունկցիայի դեպքում տեղի կունենա (3) առնչությունը: Ենթադրենք $f(R) = cR^\delta$: Այս դեպքում (3)-ը կգրվի այսպես

$$\int_0^\pi (a - x \cos \alpha) L(x, \alpha; a)^{\delta+1} d\alpha \int_1^\infty \frac{\xi^{\delta+1} d\xi}{(\xi^2 - 1)^{1/2}} = 0: \quad (4)$$

Նկատենք, որ $\delta \neq -3$ դեպքում այս հավասարումը տեղի չունի: Իբրոք, նկատի ունենալով

$$\frac{\partial L(x, \alpha; a)}{\partial a} = \frac{a - x \cos \alpha}{L(x, \alpha; a)}$$

առնչությունը, $\delta \neq -3$ ենթադրության դեպքում կունենանք

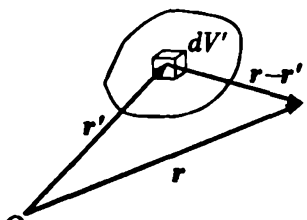
$$\frac{\partial}{\partial a} \int_0^\pi L(x, \alpha; a)^{\delta+3} d\alpha \int_1^\infty \frac{\xi^{\delta+1} d\xi}{(\xi^2 - 1)^{1/2}} = 0,$$

այսինքն $\int_0^\pi L(x, \alpha; a)^{\delta+3} d\alpha$ ինտեգրալը կախված չէ a -ից: Ակնհայտ է, որ $\delta \neq -3$ դեպքում վերջին ինտեգրալը կախված կլինի a -ից: Ինչ վերաբերում է $\delta = -3$ դեպքին, ապա այս դեպքում (4) հավասարման մեջ հանդես եկող ինտեգրալը կդառնա

$$\int_0^\pi \frac{(a - x \cos \alpha) d\alpha}{\xi^2 + a^2 - 2ax \cos \alpha},$$

որը, ինչպես կարելի է համոզվել, հավասար է զրոյի: Այսպիսով, միայն $f(R) = C/R^3$ ֆունկցիայի դեպքում մագնիսական դաշտը սոլենոիդից դուրս հավասար կլինի զրոյի:

- 2.3** Ենթադրենք ունենք $\rho(r)$ խտությամբ լիցքերի տարածական բաշխում: r' շառավիղ վեկտորով բնութագրվող կետի շուրջը վերցրած տարրական dV' ծավալում գտնվող $\rho(r')dV'$ լիցքի ստեղծած էլեկտրական դաշտի լարվածությունը r շառավիղ վեկտորով կետում համաձայն Կուլոնի օրենքի կլինի՝



$$d\mathbf{E} = \frac{\rho(r')dV'}{|r - r'|^3} (r - r'): \quad (1)$$

Վերադրման սկզբունքից հետևում է, որ բոլոր լիցքերի ստեղծած դաշտը հավասար է՝

$$\mathbf{E}(r) = \int \frac{\rho(r')(r - r')}{|r - r'|^3} dV', \quad (2)$$

որտեղից՝

$$\operatorname{div} \mathbf{E}(r) = \int \rho(r') \operatorname{div} \frac{r - r'}{|r - r'|^3} dV': \quad (3)$$

Հաշվի առնելով, որ

$$\frac{r - r'}{|r - r'|^3} = -\operatorname{grad} \frac{1}{|r - r'|},$$

կստանանք

$$\operatorname{div} \mathbf{E}(r) = - \int \rho(r') \Delta \frac{1}{|r - r'|} dV': \quad (4)$$

Օգտվելով 1.11 խնդրի արդյունքից վերջնականապես՝

$$\operatorname{div} \mathbf{E}(r) = 4\pi\rho(r): \quad (5)$$

- 2.6** ա) Դիտարկենք $\mathbf{a} = \mathbf{B} - (\mathbf{v} \times \mathbf{E})/c$ վեկտորը: Օգտվելով Մաքսվիլի հավասարումներից կստանանք՝

$$\operatorname{rot} \mathbf{a} = \frac{1}{c} \frac{\partial \mathbf{E}}{\partial t} + \frac{1}{c} (\mathbf{v} \cdot \nabla) \mathbf{E}, \quad \operatorname{div} \mathbf{a} = -\frac{1}{c} \mathbf{v} \cdot \frac{\partial \mathbf{B}}{\partial t}: \quad (6)$$

Հաշվի առնելով, որ $\mathbf{E}(r, t) = \mathbf{E}(r - vt)$, $\mathbf{B}(r, t) = \mathbf{B}(r - vt)$ կունենանք՝

$$\operatorname{rot} \mathbf{a} = 0, \quad (1)$$

$$\operatorname{div} \mathbf{a} = \frac{1}{c^2} (\mathbf{v} \cdot \nabla)(\mathbf{v} \cdot \mathbf{a}): \quad (2)$$

(1)-ից հետևում է, որ \mathbf{a} -ն կարելի է ներկայացնել $\mathbf{a} = \operatorname{grad} \psi$ տեսքով, որը տեղադրելով (2)-ի մեջ, կստանանք հավասարում ψ -ի համար՝

$$\Delta \psi = \frac{1}{c^2} (\mathbf{v} \cdot \nabla)^2 \psi : \quad (3)$$

Ստացված հավասարումը բազմապատկենք ψ -ով և ինտեգրենք ըստ ամբողջ տարածության՝

$$\int_V \psi \Delta \psi dV = \int_S \psi \nabla \psi dS - \int_V (\nabla \psi)^2 dV,$$

$$\int_V \psi (\mathbf{v} \cdot \nabla)^2 \psi dV = \mathbf{v} \cdot \int_S \psi (\mathbf{v} \cdot \nabla \psi) dS - \int_V ((\mathbf{v} \cdot \nabla) \psi)^2 dV:$$

Այստեղ մակերևությային ինտեգրալները հավասար են գրոյի, որովհետև լիցքերի սահմանափակ համակարգի դեպքում մեծ հեռավորությունների վրա $\nabla \psi \sim 1/r^2$, $\psi \sim 1/r$, իսկ $dS \sim r^2$: Նշանակում է

$$\int \left[(\nabla \psi)^2 - \frac{1}{c^2} (\mathbf{v} \cdot \nabla \psi)^2 \right] dV = 0:$$

Քանի որ միշտ $v < c$, ապա ենթիմտեգրալային արտահայտությունը գրոյի հավասար կլինի միայն այն դեպքում, եթե $\nabla \psi = \mathbf{a} = 0$, որտեղից հետևում է պահանջվող առնչությունը:

բ) Դիտարկենք $\mathbf{b} = \mathbf{E} - (\mathbf{v} \times \mathbf{B})/c$ վեկտորը: Արա համար

$$\text{rot } \mathbf{b} = 0, \quad \text{div } \mathbf{b} - c^2 (\mathbf{v} \cdot \nabla) (\mathbf{v} \cdot \mathbf{b}) = 4\pi \left[\rho - \frac{1}{c^2} (\mathbf{v} \cdot \mathbf{j}) \right],$$

որտեղ $\mathbf{j} = \rho \mathbf{v}$:

Ըստ խնդրի պայմանի դիտարկվում են հաստատուն հոսանքներ: Լիցքերի հավասարաշափ շարժման համար անհրաժեշտ է, որ տարածության բոլոր այն կետերում, որտեղ $\rho \neq 0$ լիցքերի վրա ազդող լորենցի ուժը հավասար լինի գրոյի

$$\mathbf{F} = \mathbf{e} \left[\mathbf{E} + \frac{1}{c} (\mathbf{v} \times \mathbf{B}) \right] = 0,$$

կամ $\mathbf{b} = 0$, որտեղից հետևում է, որ այդ կետերում $\rho = (\mathbf{v} \cdot \mathbf{j})/c^2$: Նշանակում է տարածության բոլոր կետերում

$$\text{div } \mathbf{b} - \frac{1}{c^2} (\mathbf{v} \cdot \nabla) (\mathbf{v} \cdot \mathbf{b}) = 0:$$

Այսպիսով խնդիրը բերվում է ա) դեպքին և $\mathbf{b} = 0$:

$$2.10 \quad \Delta \mathbf{A} - \frac{\epsilon \mu}{c^2} \frac{\partial^2 \mathbf{A}}{\partial t^2} = - \frac{4\pi \mu}{c} \mathbf{j} + \frac{\epsilon \mu}{c} \text{grad} \frac{\partial \phi}{\partial t}, \quad \Delta \phi = - \frac{4\pi}{\epsilon} \rho:$$

2.14 Ենթադրենք էլեկտրամագնիսական դաշտի աղբյուրներ հանդիսացող ազատ լիցքերն ու հոսանքները գումարում են S անշարժ մակերևույթով պարփակված V ծավալում, իսկ նրանց գումարային մեխանիկական իմպուլսը p -է: Իմպուլսի պահպանության օրենքը V ծավալում կարող ենք գրել

$$\frac{\partial(p + p_e)}{\partial t} = - \oint_S \Pi_i dS_i \quad (1)$$

տեսքով, որտեղ p_e -ն էլեկտրամագնիսական դաշտի իմպուլսն է V ծավալում, Π_i -ն՝ էլեկտրամագնիսական դաշտի իմպուլսի հոսքի խտորդյունը: Մյուս կողմից, աղբյուրների վրա էլեկտրամագնիսական դաշտի կողմից ազդող ուժի k -ը բաղադրիչի համար կարող ենք գրել

$$\frac{\partial P_k}{\partial t} = \int_V f_k dV = \frac{d}{dt} \int_V g_k dV + \int_V \frac{\partial T_{ik}}{\partial x_i} dV,$$

կամ՝ օգտվելով Գաուս-Օստրոգրադսկու թեորեմից՝

$$\frac{d}{dt} \left(P_k + \int_V g_k dV \right) = \oint_S T_{ik} dS_i :$$

Ստացված արտահայտության համեմատությունը (1)-ի հետ ցույց է տալիս, որ g -ն էլեկտրամագնիսական դաշտի իմպուլսի խտորդյունն է, իսկ T_{ik} -ն էլեկտրամագնիսական դաշտի իմպուլսի k -ը բաղադրիչի հոսքի խտորդյունը i ուղղությամբ:

2.16 Դիցուք հայտնի է $E(r, t)$ վեկտորի տանգենցիալ բաղադրիչը մակերևույթի վրա՝ $E_r(r, t) = f_r(r, t)$: Ենթադրենք Մաքսվելի հավասարումներն ունեն երկու լուծում՝ E, H և E', H' : Այդ երկու լուծումներն էլ բավարարում են նույն սկզբանական և եզրային պայմաններին: Նշանակում է նրանց $E'' = E - E'$, $H'' = H - H'$ տարբերությունները կրավարարեն հետևյալ պայմաններին՝

ա) $E''(r, t) = 0$, $H''(r, t) = 0$ ամբողջ ծավալում,

բ) $E_r''(r, t) = 0$ ժամանակի սանկացած պահի, V ծավալը պարփակող S մակերևույթի վրա:

Մաքսվելի հավասարումների գծայնությունից հետևում է, որ E'' և H'' դաշտերը ևս կրավարարեն այդ հավասարումներին: Նշանակում է նրանց համար կարելի է գրել էներգիայի հաշվեկշռի հավասարումը՝

$$\frac{1}{8\pi} \frac{\partial}{\partial t} \int_V (\epsilon E''^2 + \mu H''^2) dV = - \int_V \lambda E''^2 dV - \frac{1}{8\pi} \oint_S (E'' \times H'') \cdot dS :$$

թ) պայմանից հետևում է, որ մակերևութային ինտեգրալը հավասար է զրոյի: Օգտվելով $\mathbf{j} = \lambda \mathbf{E}$ Օհմի օրենքից, վերևի հավասարումը կգրենք այսպես՝

$$\frac{1}{8\pi} \frac{\partial}{\partial t} \int_V (\epsilon E''^2 + \mu H''^2) dV = - \int_V \lambda E''^2 dV:$$

Ստացված առնչության ձախ կողմը չի կարող լինել բացասական, իսկ աջ կողմը՝ դրական: Հետևաբար նրանք հավասար են զրոյի, որտեղից կհետևի, որ $E'' = 0, H'' = 0$:

$$\begin{aligned} \text{2.18} \quad \operatorname{rot} \mathbf{E} &= -\frac{1}{c} \frac{\partial \mathbf{B}}{\partial t}, \\ \operatorname{rot} \mathbf{B} &= \frac{1}{c} \frac{\partial \mathbf{E}}{\partial t} + \frac{4\pi}{c} (\mathbf{j} + \mathbf{j}_{կազ}), \\ \operatorname{div} \mathbf{E} &= 4\pi(\rho + \rho_{կազ}), \\ \operatorname{div} \mathbf{B} &= 0, \end{aligned}$$

որունեղ

$$\rho_{կազ} = -\operatorname{div} \mathbf{P}, \quad \mathbf{j}_{կազ} = \frac{\partial \mathbf{P}}{\partial t} + c \operatorname{rot} \mathbf{I}:$$

$$\text{2.20} \quad \varphi = \frac{\mathbf{p} \cdot \mathbf{r}}{r^3}, \quad \mathbf{E} = \frac{3(\mathbf{p} \cdot \mathbf{r})\mathbf{r} - r^2 \mathbf{p}}{r^5}:$$

2.21 Համաձայն նախորդ խնդրում էլեկտրական դիպոլի պոտենցիալի համար ստացած բանաձևի և վերադրման սկզբունքի, տարածության r կետում պոտենցիալը կիննի՝

$$\varphi(\mathbf{r}) = \int \frac{\mathbf{P}(\mathbf{r}')(\mathbf{r} - \mathbf{r}')}{|\mathbf{r} - \mathbf{r}'|^3} dV',$$

որը կարելի է քերել հետևյալ տեսքի՝

$$\varphi(\mathbf{r}) = \oint \frac{\mathbf{P}(\mathbf{r}') dS'}{|\mathbf{r} - \mathbf{r}'|} - \int_V \frac{\operatorname{div}_r \mathbf{P}(\mathbf{r}')}{|\mathbf{r} - \mathbf{r}'|} dV':$$

Քանի որ $\mathbf{P}(\mathbf{r})$ ֆունկցիան մեծ հեռավորությունների վրա նվազում է r^{-2} օրենքով, ապա մակերևութային ինտեգրալը ճգնաժամ է զրոյի, եթե ինտեգրման ծավալը ճգնում է անվերջի: Այնպես որ

$$\varphi(\mathbf{r}) = \int_V \frac{-\operatorname{div}_r \mathbf{P}(\mathbf{r}')}{|\mathbf{r} - \mathbf{r}'|} dV',$$

այսինքն ստեղծվում է այնպիսի դաշտ, որը կստեղծեր $\rho = -\operatorname{div} \mathbf{P}$ ծավալային բաշխվածություն ունեցող էլեկտրական լիցքը:

2.23 Օգտվելով վեկտորական հաշվի $\text{grad}(\alpha \cdot \mathbf{r}) = \alpha \text{հայտնի նույնությունից}$ և Գառիս-Օստրոգրադսկու թեորեմից, կստանանք՝

$$\mathbf{P} = - \int_V \mathbf{r} \operatorname{div} \mathbf{P} dV = - \oint_S \mathbf{r} (\mathbf{P} \cdot d\mathbf{S}) + \int_V \mathbf{P} dV :$$

Հաշվի առնելով, որ նյութից դուրս $\mathbf{P} = 0$ կունենանք

$$\mathbf{P} = \int_V \mathbf{P} dV$$

այսինքն \mathbf{P} -ն նյութի միավոր ծավալի էլեկտրական դիպոլային մոմենտն է, կամ, որ նույնն է, էլեկտրական բևեռացման վեկտորն է:

$$\mathbf{m} = \frac{1}{2c} \int_V \mathbf{r} \times \frac{\partial \mathbf{P}}{\partial t} dV + \frac{1}{2} \int_V (\mathbf{r} \times \operatorname{rot} \mathbf{I}) dV :$$

Օգտվելով վեկտորական հաշվի $\operatorname{rot}(\mathbf{a} \times \mathbf{r}) = 2\mathbf{a}$ նույնությունից և Գառիս-Օստրոգրադսկու թեորեմից, երկրորդ ինտեգրալի համար կստանանք՝

$$\int_V (\mathbf{r} \times \operatorname{rot} \mathbf{I}) dV = - \oint_S \mathbf{r} \times (\mathbf{I} \times d\mathbf{S}) + 2 \int_V \mathbf{I} dV :$$

Հաշվի առնելով, որ նյութից դուրս $\mathbf{I} = 0$, վերջնականապես կունենանք՝

$$\mathbf{m} = \frac{1}{2c} \int_V \mathbf{r} \times \frac{\partial \mathbf{P}}{\partial t} dV + \int_V \mathbf{I} dV,$$

այսինքն, եթե բևեռացման հոսանքը բացակայում է ($\partial \mathbf{P} / \partial t = 0$), \mathbf{I} -ն միավոր ծավալի մագնիսական նոմենտն է, կամ, որ նույնն է՝ մագնիսական բևեռացման վեկտորն է:

2.27 Ընտրենք գլանային կոռորդինատական համակարգ, որի OZ առանցքն ուղղված է \mathbf{B} դաշտով, իսկ $z = 0$ կետում գտնվում է գնդի կենտրոնը: Գունդը պտտվում է մագնիսական դաշտի մակածած \mathbf{E} էլեկտրական դաշտի ազդեցության տակ, որը ունի $E_r = E_z = 0$, $E_\alpha = E_\alpha(r, t)$ տեսք: Մաքսվելի (2.2) հավասարությունից

$$\frac{1}{r} \frac{\partial(rE_\alpha)}{\partial r} = - \frac{1}{c} \frac{\partial \mathbf{B}}{\partial t} :$$

Վերջինս ըստ r -ի ինտեգրելով ատանում ենք՝ $E_\alpha = -r\dot{\mathbf{B}}/2c$, կամ վեկտորական տեսքով՝

$$\mathbf{E} = \frac{1}{2c} (\mathbf{R} \times \dot{\mathbf{B}}): \tag{1}$$

Այստեղ R -ը գնդի կենտրոնը դիտման կետին միացնող շառավիղ վեկտորն է՝ $\mathbf{R} = \hat{\mathbf{e}}_z z + \hat{\mathbf{e}}_r r$. Պինդ մարմնի պտտական շարժման հիմնական հավասարման համաձայն

$$I_0 \frac{d\Omega}{dt} = M, \quad (2)$$

որտեղ $I_0 = 2mR_0^2/5$ գնդի իներցիայի մոմենտն է կենտրոնով անցնող առանցքի նկատմամբ, R_0 -ն գնդի շառավիղն է, M -ը գնդի վրա ազդող ուժի մոմենտը՝

$$\mathbf{M} = \int (\mathbf{R} \times \rho \mathbf{E}) dV : \quad (3)$$

(1)-ը տեղադրենք (3)-ի մեջ և ինտեգրենք: Կատանանք

$$\mathbf{M} = -\frac{1}{5c} QR_0^2 \dot{\mathbf{B}} :$$

Վերջինս տեղադրենք (2)-ի մեջ և ինտեգրենք ըստ ժամանակի: Արդյունքում կստանանք

$$\Omega = -\frac{QB}{2mc} :$$

$$2.28 \text{ rot } \mathbf{B}(\mathbf{r}, \omega) = \frac{4\pi}{c} \mathbf{j}(\mathbf{r}, \omega) - i \frac{\omega}{c} \mathbf{E}(\mathbf{r}, \omega), \quad \text{rot } \mathbf{E}(\mathbf{r}, \omega) = i \frac{\omega}{c} \mathbf{B}(\mathbf{r}, \omega),$$

$$\text{div } \mathbf{B}(\mathbf{r}, \omega) = 0, \quad \text{div } \mathbf{E}(\mathbf{r}, \omega) = 4\pi\rho(\mathbf{r}, \omega):$$

$$i \mathbf{k} \times \mathbf{B}_F(\mathbf{k}, \omega) = \frac{4\pi}{c} \mathbf{j}_F(\mathbf{k}, \omega) - i \frac{\omega}{c} \mathbf{E}_F(\mathbf{k}, \omega),$$

$$i \mathbf{k} \times \mathbf{E}_F(\mathbf{k}, \omega) = i \frac{\omega}{c} \mathbf{B}_F(\mathbf{k}, \omega),$$

$$i \mathbf{k} \cdot \mathbf{B}_F(\mathbf{k}, \omega) = 0, \quad i \mathbf{k} \cdot \mathbf{E}_F(\mathbf{k}, \omega) = 4\pi\rho_F(\mathbf{k}, \omega):$$

$$2.29 \text{ div } \mathbf{A}(\mathbf{r}, \omega) - i \frac{\omega}{c} \phi(\mathbf{r}, \omega) = 0, \quad \Delta \phi(\mathbf{r}, \omega) + \frac{\omega^2}{c^2} \phi(\mathbf{r}, \omega) = -4\pi\rho(\mathbf{r}, \omega),$$

$$\Delta \mathbf{A}(\mathbf{r}, \omega) + \frac{\omega^2}{c^2} \mathbf{A}(\mathbf{r}, \omega) = -\frac{4\pi}{c} \mathbf{j}(\mathbf{r}, \omega),$$

$$i \mathbf{k} \cdot \mathbf{A}_F(\mathbf{k}, \omega) - i \frac{\omega}{c} \phi_F(\mathbf{k}, \omega) = 0,$$

$$k^2 \phi_F(\mathbf{k}, \omega) + \frac{\omega^2}{c^2} \phi_F(\mathbf{k}, \omega) = -4\pi\rho_F(\mathbf{k}, \omega),$$

$$k^2 \mathbf{A}_F(\mathbf{k}, \omega) + \frac{\omega^2}{c^2} \mathbf{A}_F(\mathbf{k}, \omega) = -\frac{4\pi}{c} \mathbf{j}_F(\mathbf{k}, \omega):$$

ԳԼՈՒԽ 3

ԵԼԵԿՏՐԱՊԻՆԱՍԻՆԿԱՅԻ ՆՑՈՒԹԱԿԱՆ ՀԱՎԱՍԱՐՈՒՄՆԵՐԸ

- 3.1** Ոչ բևեռային դիէլեկտրիկների մոլեկուլներում արտաքին դաշտի բացակայության դեպքում լիսքի բաշխումը կենտրոնահամաշափ է: Համարելով, որ արտաքին դաշտի ազդեցության տակ էլեկտրոնների և իոնների x_i , շեղումները փոքր են, կարող ենք ենթադրել, որ նրանց վրա ազդում է վերադարձնող քվազիառածզական $-m_i\omega_{0i}^2x_i$ ուժ, որտեղ ω_{0i} -ն m_i զանգվածով i -րդ էլեկտրոնի (իոնի) քննութագրական հաճախությունն է: Հավասարակշռության դեպքում i -րդ մասնիկի վրա E' տեղային դաշտի կողմից ազդող ուժը հավասարակշռվում է քվազիառածզական ուժով՝

$$-m_i\omega_{0i}^2x_i + e_iE' = 0$$

որտեղից մոլեկուլի i -րդ մասնիկի $p_i = e_i x_i$ դիպոլային մոմենտի համար կունենանք

$$\mathbf{p}_i = \frac{e_i^2}{m_i\omega_{0i}^2} \mathbf{E}' :$$

Մեկ մոլեկուլի դիպոլային մոմենտը կլինի՝

$$\mathbf{p} = \sum_i \mathbf{p}_i = \gamma_e \mathbf{E}', \quad \gamma_e = \sum_i \frac{e_i^2}{m_i\omega_{0i}^2},$$

որտեղ γ_e -ն մոլեկուլի բևեռայվելիությունն է և ունի ծավալի չափողականություն:

Եթե դիէլեկտրիկի միավոր ծավալում կա N մոլեկուլ, ապա

$$\mathbf{P} = N\mathbf{p} = N\gamma_e \mathbf{E}':$$

Այսպիսով $\chi_e^{(0)}$ դիէլեկտրական ընկալունակության և է դիէլեկտրական բափանցելիության համար ստանում ենք՝

$$\chi_e = N\gamma_e = N \sum_i \frac{e_i^2}{m_i\omega_{0i}^2},$$

$$\varepsilon = 1 + 4\pi N \sum_i \frac{e_i^2}{m_i\omega_{0i}^2},$$

որտեղ գումարումը կատարվում է ըստ մոլեկուլի բոլոր լիսքերի: Քանի որ γ_e -ն հակադարձ համեմատական է մասնիկի զանգվածին, ապա χ_e -ի մեջ կարելի է սահմանափակվել միայն էլեկտրոնների ներդրումով:

3.2 Ծրջանազծով շարժվող i -րդ էլեկտրոնի վրա միջուկի կողմից ազդող կուլոնյան ուժը կատարում է կենտրոնաձիգ ուժի դեր՝

$$\frac{Ze^2}{r_i^2} = m r_i \omega_{0i}^2,$$

որտեղ ω_{0i} -ն i -րդ էլեկտրոնի պտույտի հաճախությունն է, իսկ Z -ը՝ էլեկտրոնների թիվը: Այստեղից՝ $Ze^2/m\omega_{0i}^2 = r_i^3$: Օգտվելով նախորդ խնդրի արդյունքից, կստանանք՝

$$\gamma_e = \sum_i \frac{e^2}{m\omega_{0i}^2} = \frac{1}{Z} \sum_i r_i^3 = \overline{r^3},$$

որտեղ արտահայտության վերևի հորիզոնական գծիկով նշանակված է դրա միջին արժեքը:

3.3 Արտաքին E դաշտի ազդեցությամբ ջրածնի միջուկը (պրոտոնը) կշեղվի դաշտի ուղղությամբ: Այն կիավասարակշռովի r_0 շառավիղ-վեկտորով կետում, որը բավարարում է

$$E + E_e(r_0) = 0$$

պայմանին, որտեղ E_e -ն էլեկտրոնային ամափի դաշտն է:

Գառւսի թեորեմից օգտվելով՝ E_e դաշտի համար կգրենք

$$E_e(r_0) = \frac{\int_0^{r_0} \rho(r) 4\pi r^2 dr}{r_0^2}:$$

Թույլ արտաքին դաշտի դեպքում $r_0 \ll a$ և ինտեգրման ողջ տիրույթում $\exp(-2r/a)$ -ն կարելի է փոխարինել 1-ով: Կստանանք՝

$$E_e(r_0) = -\frac{4e}{a^3} \frac{r_0}{r} \int_0^{r_0} r^2 dr,$$

$$E - \frac{4e r_0}{3a^3} = 0:$$

Դիպոլային մոմենտի համար կունենանք՝

$$p = er_0 = \frac{3}{4} a^3 E:$$

Այսպիսով ջրածնի ատոմի γ բնուայվելիությունը կլինի՝

$$\gamma_e = \frac{3}{4} a^3.$$

Նկատենք, որ լիցքի համասեռ բաշխման դեպքում կստացվեր $\gamma_e = R^3$ արդյունքը, որտեղ R -ը լիցքի հավասարաշափ բաշխման տիրույթի շառավիղն է:

- 3.4 Եթե արտաքին դաշտը բացակայում է, քառային ջերմային շարժում կատարող կոշտ դիպոլների ուղղվածությունը հավասարականական է և միջավայրի գումարային դիպոլային մոմենտը հավասար է զրոյի: Արտաքին դաշտը դիպոլների ուղղվածության մեջ կարգավորություն է նշունում, որի շնորհիվ միջավայրը դաշտի ուղղությամբ ծեռք է բերում P էլեկտրական քննուացում՝

$$P = p \sum_{i=1}^N \cos \theta_i = p N \overline{\cos \theta},$$

որտեղ N -ը մոլեկուլների թիվն է միավոր ծավալում, θ_i -ն անկյունն է i -րդ մոլեկուլի p_i մոմենտի և E դաշտի միջև, $\cos \theta$ -ն θ_i անկյան կոսինոսի միջինայված արժեքն է ըստ բոլոր մոլեկուլների: Բոլովանական բաշխման համաձայն

$$\overline{\cos \theta} = \frac{\int \cos \theta dw}{\int dw} = \frac{\int_0^\pi \cos \theta \sin \theta e^{\frac{pE}{kT} \cos \theta} d\theta}{\int_0^\pi \sin \theta e^{\frac{pE}{kT} \cos \theta} d\theta}:$$

Կատարելով $z = \cos \theta$ փոփոխականի փոխարինում և նշանակելով $\xi = pE/kT$, ինտեգրելով հետո կստանանք

$$\overline{\cos \theta} = \operatorname{cth} \xi - \frac{1}{\xi} = L(\xi),$$

որտեղ $L(\xi)$ -ն այսպես կոչված Լանժենի ֆունկցիան է: Այսպիսով

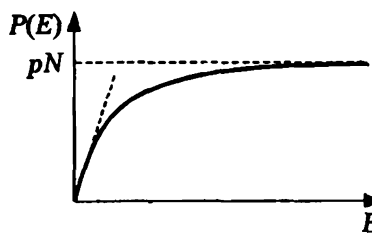
$$P = p N L(pE/kT):$$

Հեշտությամբ կարելի է համոզվել, որ

$$L(\xi) = \begin{cases} 1, & \text{եթե } \xi \gg 1, \\ \xi/3, & \text{եթե } \xi \ll 1, \end{cases}$$

որտեղից

$$P = \begin{cases} Np, & \text{Եթե } pE \gg kT, \\ Np^2 E / 3kT, & \text{Եթե } pE \ll kT. \end{cases}$$



$P(E)$ ֆունկցիայի գրաֆիկը բերված է նկարում: Ուժեղ դաշտերի դեպքում, եթե մոլեկուլի և արտաքին դաշտի փոխազդեցության էներգիան շատ անգամ գերազանցում է ջերմային էներգիան, բոլոր դիպոլներ դասավորվում են դաշտի ուղղությամբ և P -ն հաս-

նում է հագեցման արժեքին: $pE \ll kT$ բույլ դաշտերի դեպքում $P(E)$ կապը գծային է և կարելի է ներմուծել միջավայրի դիէնեկտրական ընկալունակության հասկացողությունը՝

$$\chi_e^0 = \frac{Np^2}{3kT} \sim \frac{1}{T} \quad (\text{Կյուրիի օրենք}):$$

$$3.5 \quad \varepsilon = 1 + \frac{4\pi\chi_e}{1 - 4\pi\chi_e/3} \quad \text{կամ} \quad \frac{\varepsilon - 1}{\varepsilon + 2} = \frac{4\pi\chi_e}{3}:$$

3.7 Էլեկտրոնի շարժման հավասարումն է

$$\ddot{r} + \omega_0^2 r = -\frac{e}{mc} (\mathbf{v} \times \mathbf{B}), \quad (1)$$

որտեղ e -ն տարրական լիցքն է, իսկ $\mathbf{v} = \dot{\mathbf{r}}$: Z առանցքն ուղղենք \mathbf{B} դաշտի ուղղությամբ և (1) հավասարումը գրենք պրոյեկցիաներով՝

$$\ddot{x} + \omega_0^2 x + \frac{eB}{mc} \dot{y} = 0,$$

$$\ddot{y} + \omega_0^2 y - \frac{eB}{mc} \dot{x} = 0,$$

$$\ddot{z} + \omega_0^2 z = 0:$$

Վերջին հավասարումից հետևում է, որ դաշտի ուղղությամբ տարրածական օսիլյատորի հաճախությունը չի փոխվում: Մտցնենք $\xi = x + iy$ նոր փոփոխականը: Այն բավարարում է

$$\ddot{\xi} - 2i\omega_L \dot{\xi} + \omega_0^2 \xi = 0 \quad (2)$$

հավասարմանը: Այստեղ կատարել ենք $\omega_L = eB/2mc$ նշանակումը: (2)-ի լուծումը փնտրենք $e^{\pm i\omega t}$ տեսքով: Կատարանք

$$\omega^2 \mp 2\omega_L \omega - \omega_0^2 = 0$$

բնութագրական հավասարումը, որտեղից՝

$$\omega = \pm \omega_L + \omega_0 \sqrt{1 + \omega_L^2 / \omega_0^2}$$

Գնահատելով կարելի է համոզվել, որ $B \ll 10^8$ Գս լարվածությամբ դաշտերի դեպքում $\omega_L^2 / \omega_0^2 \ll 1$ և

$$\omega \approx \omega_0 \pm \omega_L:$$

ω_L -ը կոչվում է Լարմորի հաճախություն:

$$3.8 \quad \Delta P = -e \int_0^t E dt,$$

որտեղ e -ն տարրական լիցքն է, իսկ t -ն B դաշտի միացման ժամանակամիջոցն է, որի ընթացքում մակածվում է $E = -\frac{1}{c} \frac{\partial A}{\partial t}$ մրրկային էլեկտրական դաշտ (A -ն մագնիսական դաշտի վեկտոր-պոտենցիալն է): Վերջինս տեղադրելով ΔP -ի ինտեգրալի մեջ և հաշվի առնելով, որ համասնո դաշտերի դեպքում

$$A = \frac{1}{2} (B \times r),$$

կստանանք

$$\Delta P = \frac{e}{c} A(t) = \frac{e}{2c} (B \times r) = m \omega_L \times r,$$

որտեղ $\omega_L = eB/2mc$ -ը լարմորյան անկյունային արագությունն է:

3.9 Կոռորդինատների սկզբնակետն ընտրենք շրջանագծային ուղեծրի կենտրոնում: Էլեկտրոնի արագությունը՝ $v = \omega_0 \times r$: Օգտվելով նախորդ խնդրում բերված առնչություններից և $\omega_L \ll \omega_0$ պայմանից, կունենանք՝

$$\Delta A = -e \int_0^t (E \cdot v) dt = \frac{e}{2c} \int_0^t (B \times r) \cdot (\omega_0 \times r) dt \approx$$

$$\approx \frac{e}{2c} r^2 (\omega_0 \cdot B(t)) = mr^2 (\omega_L \cdot \omega_0):$$

3.10 i -րդ ատոմական էլեկտրոնի v_i արագությունը B համասնո մագնիսական դաշտում հավասար է՝

$$v_i = v_{0i} + \omega_L \times r_i,$$

որտեղ v_{0i} -ն այդ էլեկտրոնի արագությունն է դաշտի բացակայության դեպքում, $\omega_L = eB/2mc$ -ն լարմորյան անկյունային արագությունն է: Ատոմի մազնիսական մոմենտը B դաշտում՝

$$\mathbf{m} = -\frac{e}{2c} \sum_{i=1}^Z (\mathbf{r}_i \times \mathbf{v}_i) = -\frac{e}{2c} \sum_{i=1}^Z (\mathbf{r}_i \times \mathbf{v}_{0i}) - \frac{e}{2c} \sum_{i=1}^Z (\mathbf{r}_i \times (\omega_L \times \mathbf{r}_i))$$

Ստացված արտահայտության մեջ

$$\mathbf{m}_0 = -\frac{e}{2c} \sum_{i=1}^Z (\mathbf{r}_i \times \mathbf{v}_{0i})$$

անդամը ատոմի մազնիսական մոմենտն է դաշտի բացակայության դեպքում: Երկրորդ անդամը՝

$$\mathbf{m}_q = -\frac{e}{2c} \sum_{i=1}^Z (\omega_L \mathbf{r}_i^2 - \mathbf{r}_i (\mathbf{r}_i \cdot \omega_L)),$$

ատոմի լարմորյան պրեցեսիայով պայմանավորված մազնիսական մոմենտն է (դիամազնիսական մոմենտ): Եթե կոորդինատական համակարգի Z առանցքն ուղղենք \mathbf{B} վեկտորով, ապա կունենանք

$$m_{qx} = +\frac{e \omega_L}{2c} \sum_{i=1}^Z x_i z_i,$$

$$m_{qy} = +\frac{e \omega_L}{2c} \sum_{i=1}^Z y_i z_i,$$

$$m_{qz} = -\frac{e \omega_L}{2c} \sum_{i=1}^Z (x_i^2 + y_i^2);$$

Եթե արտաքին դաշտի ազդեցությունը շատ փոքր է և էլեկտրոնների բաշխումը ատոմում կարելի է կենտրոնահամաշափ համարել, ապա

$$\sum_{i=1}^Z x_i z_i = \sum_{i=1}^Z y_i z_i = 0,$$

$$\sum_{i=1}^Z x_i^2 = \sum_{i=1}^Z y_i^2 = \sum_{i=1}^Z z_i^2 = \frac{1}{3} \sum_{i=1}^Z (x_i^2 + y_i^2 + z_i^2) = \frac{1}{3} Z \overline{r^2},$$

որտեղ $\overline{r^2}$ -ը էլեկտրոնների միջին քառակուսային հեռավորությունն է միջուկից: Այսպիսով ատոմի լարմորյան պրեցեսիայով պայմանավորված մազնիսական մոմենտի համար կունենանք

$$\mathbf{m}_q = -\frac{e}{3c} \omega_L Z \overline{r^2} \hat{\mathbf{k}} = -\frac{e^2}{6mc} Z \overline{r^2} \mathbf{B};$$

Եթե միջավայրի ատոմների կոնցենտրացիան N է, ապա

$$\mathbf{I}_q = N\mathbf{m}_q = -\frac{e^2 N Z \overline{r^2}}{6mc^2} \mathbf{B};$$

Համապատասխան մագնիսական ընկալունակության համար կստանանք՝

$$\chi_q^{(0)} = -\frac{e^2 N Z \overline{r^2}}{6mc^2};$$

Ինչպես տեսնում ենք, դիամագնիսներում $\chi_q^{(0)}$ մագնիսական ընկալունակությունը բացասական մնձություն է:

3.11 Լարմորյան պրեցեսիայով պայմանավորված մագնիսական մոմենտի համար կունենանք՝

$$\mathbf{m}_q = \frac{1}{2c} \int \rho(r) [\mathbf{r} \times (\boldsymbol{\omega}_L \times \mathbf{r})] dV; \quad (1)$$

Հաշվի առնելով լիցքերի բաշխման կենտրոնահամաշափ լինելը նախորդ խնդրի նման այս դեպքում կստանանք՝

$$\mathbf{m}_q = \frac{\boldsymbol{\omega}_L}{3c} \int \rho(r) r^2 dV; \quad (2)$$

Օգտվելով $\boldsymbol{\omega}_L = e\mathbf{B} / (2mc)$ բանաձևից և 3.3 խնդրում բերված բաշխման տեսքից, կգրենք՝

$$\mathbf{m}_q = -\frac{2e^2 \mathbf{B}}{3mc^2 a^3} \int_0^\infty e^{-2r/a} r^4 dr; \quad (3)$$

Խնտեզրումից հետո ստացվում է՝

$$\mathbf{m}_q = -\frac{e^2 a^2}{2mc^2} \mathbf{B};$$

Միջավայրում ատոմների խտությունը նշանակելով N -ով՝ մագնիսական $\chi_q^{(0)}$ ընկալունակության համար վերջնականապես կստանանք՝

$$\chi_q^{(0)} = -\frac{e^2 a^2 N}{2mc^2};$$

3.12 Խնդիրը լուծվում է 3.4-ի նման, միայն Բոլյմանի բաշխման մեջ $W(\mathcal{O})$ ֆունկցիան այս դեպքում $W(\mathcal{O}) = -\mathbf{m}_0 \cdot \mathbf{B}$ է, որտեղ \mathbf{B} -ն արտաքին մագնիսական դաշտի ինդուկցիան է՝

$$I = Nm_0 L \left(\frac{m_0 B}{kT} \right) = \begin{cases} Nm_0, & \text{եթև } m_0 B \gg kT, \\ Nm_0^2 B / 3kT, & \text{եթև } m_0 B \ll kT: \end{cases}$$

Թույլ դաշտերի դեպքում $I(B)$ կախվածությունը գծային է և կարելի է ներմուծել մագնիսական ընկալունակության հասկացողությունը՝

$$I = \chi_{\infty}^{(0)} B, \quad \chi_{\infty}^{(0)} = \frac{Nm^2}{3kT} \sim \frac{1}{T} \quad (\text{Կյուրիի օրենք}):$$

3.13 Օգտվելով մագնիսական մոմենտի

$$\mathbf{m} = \frac{1}{2c} \sum_i e_i (\mathbf{r}_i \times \mathbf{v}_i)$$

և իմպուլսի մոմենտի

$$\mathbf{l} = \sum_i m_i (\mathbf{r}_i \times \mathbf{v}_i)$$

սահմանումներից և հաշվի առնելով, որ ատոմական էլեկտրոնների համար $e_i/m_i = -e/m$, կստանանք՝

$$\mathbf{m} = -\frac{e}{2mc} \mathbf{l}:$$

Հաշվի առնելով, որ \mathbf{m} մագնիսական մոմենտի վրա \mathbf{B}_0 դաշտի կողմից ազդող ուժի մոմենտը $\mathbf{m} \times \mathbf{B}_0$ է, մոմենտների հավասարությունը մեկ ատոմի համար կգրենք այսպես՝

$$\frac{dl}{dt} = \mathbf{m} \times \mathbf{B}_0,$$

կամ, որ նույնն է՝

$$\frac{d\mathbf{m}}{dt} = -\frac{e}{2mc} \mathbf{m} \times \mathbf{B}_0:$$

Միավոր ծավալի մագնիսական մոմենտի (մագնիսացման) համար կլունենանք՝

$$\frac{d\mathbf{l}}{dt} = \frac{e}{2mc} \mathbf{B}_0 \times \mathbf{I}$$

Նկատենք, որ այս հավասարությունը հետևում է $I^2 = \text{const}$ պայմանը: Հիշելով, որ $\dot{\mathbf{r}} = \omega \times \mathbf{r}$ դիֆերենցիալ հավասարությունը նկարագրում է մոլուզվ հաստատուն \mathbf{r} վեկտորի պառույտը և հաստատուն անկյունային արագությամբ, կարող ենք պնդել, որ \mathbf{I} մագնիսացման վեկտորը

$$\omega = \frac{e}{2mc} \mathbf{B}_0$$

հաստատուն անկյունային արագությամբ (կարմորյան հաճախությամբ) պատվում է B_0 վեկտորի շուրջը:

3.14 ա) Ըստ սահմանման

$$\mathbf{j} = -Ne\bar{\mathbf{v}}, \quad (1)$$

որտեղ N -ը էլեկտրոնների կոնցենտրացիան է, $\bar{\mathbf{v}}$ -ը էլեկտրոնների միջին արագությունը: Համաձայն Նյուտոնի երկրորդ օրենքի երկու հաջորդական բախումների միջև

$$m\dot{\mathbf{v}} = -e\mathbf{E}:$$

Եթե E -ն կախված չէ ժամանակից՝

$$\mathbf{v} = \mathbf{v}_0 - \frac{e}{m} Et:$$

Այստեղ v_0 սկզբնական արագությունը էլեկտրոնը ծեռք է քերում միջավայրի իննաների հետ հերթական բախումից հետո և մեծությամբ էլեկտրոնների զերմային շարժման և միջին արագության կարգի է՝ $v_0 \approx u = (8kT/m)^{1/2}$:

Հաշվենք երկու իրար հաջորդող բախումների միջև արագության ըստ ժամանակի միջին արժեքը՝

$$\bar{\mathbf{v}}_t = \frac{1}{t} \int_0^t \mathbf{v} dt = \mathbf{v}_0 - \frac{e\tau}{2m} \mathbf{E}: \quad (2)$$

Այստեղ τ -ն էլեկտրոնի ազատ վազքի միջին ժամանակն է: $\bar{\mathbf{v}}$ -ը որոշելու համար $\bar{\mathbf{v}}_t$ -ն այժմ պետք է միջինացնել ըստ բոլոր էլեկտրոնների: Քանի որ բախումներից հետո էլեկտրոնի ծեռք քերած v_0 արագությունը հավասար հավանականությամբ կարող է ունենալ կամայական ուղղություն, ապա այդ միջինացումից հետո կստանանք

$$\bar{\mathbf{v}} = -\frac{e\tau}{2m} \mathbf{E}: \quad (3)$$

Հետևաբար (1)-ից՝

$$\mathbf{j} = \frac{Ne^2\tau}{2m} \mathbf{E}: \quad (4)$$

Եթե E -ն այնքան փոքր է, որ $\bar{v} \ll u$, ապա $\tau = l/u$, որտեղ l -ը էլեկտրոնի ազատ վազքի միջին երկարությունն է: Այս դեպքում j և E մեծությունների միջև ստացվում է գծային կապ (Օմի օրենքը):

$$\mathbf{j} = \lambda \mathbf{E}, \quad \lambda = \frac{Ne^2 l}{2mu}: \quad (5)$$

Էլեկտրական դաշտի լարվածության մեծ արժեքների դեպքում համաձայն (3)-ի \bar{v} -ը մեծանում է: $\bar{v} \gg u$ ($E \gg 2\sqrt{2mkT/\pi}/e\tau$) պայմանի դեպքում

$$\tau = \frac{l}{\bar{v}} = \frac{Nel}{j};$$

Վերջինս տեղադրելով (4)-ի մեջ ստանում ենք $j(E)$ կախվածությունը մեծ դաշտերի դեպքում՝

$$j = Ne \sqrt{\frac{el}{2m}} E \frac{E}{E}$$

(Ոիչարդսոնի օրենքը):

Էլեկտրական դաշտի $E_{\text{սահմ}}$ արժեքը, որից հետո (5) գծային կախվածությունը ճիշտ չէ, կորոշենք $\bar{v} = u$ պայմանից: Մետաղներում (արծաթ, պղինձ)

$$l \sim 10^{-6} \text{ սմ}, u \sim 10^7 \text{ սմ/վրկ}, \tau = l/\bar{v}_\tau = l/2u \sim 5 \cdot 10^{-14} \text{ վ:}$$

Սենյակային ջերմաստիճանում ($T = 300K$)

$$E_{\text{սահմ}} = 2(2mkT/\pi)^{1/2}/e\tau \approx 400 \text{ CGSE միավ} \approx 10^7 \text{ Վ/մ:}$$

Այսպիսի մեծ դաշտերում մետաղներն անմիջապես կգոլորշանան: Օրինակ, պղինձի համար տեխնիկապես բույլատրելի էլեկտրական դաշտի լարվածությունը 0.15 Վ/մ է: Խշանակում է մետաղներում Օմի օրենքը միշտ ճիշտ է: Սակայն պլազմայում, որտեղ էլեկտրոնների ազատ վազքի երկարությունը շատ մեծ է, վերջիններս արագ ձեռք են բերում $\bar{v} \geq u$ արագություններ, այնպես որ այստեղ $j(E)$ կախվածությունը ոչ գծային է և Ոիչարդսոնի օրենքը գործում է մեծ ճշտությամբ:

բ) Բայսան ժամանակ իոնին հաղորդված կինետիկ էներգիան հավասար է

$$\Delta E_\eta = \frac{mv^2}{2} - \frac{mv_0^2}{2} = -e\tau v_0 \cdot E + \frac{e^2 \tau^2}{2m} E^2;$$

ΔE_η -ը ըստ բոլոր էլեկտրոնների միջինացնելիս առաջին անդամի ներդրումը հավասար է զրոյի՝

$$\overline{\Delta E_\eta} = \frac{e^2 \tau^2}{2m} E^2$$

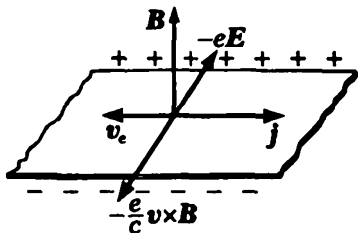
Ստացիոնար ռեժիմում միավոր ժամանակում, միավոր ծավալում պարունակվող իոններին հաղորդված է ներգիան հավասար է միավոր ժամանակում, միավոր ծավալում անջատվող q ջերմության քանակին՝

$$q = \frac{N\overline{\Delta E_q}}{\tau} = \frac{Ne^2\tau}{2m} E^2,$$

կամ հաշվի առնելով, որ մետաղներում $\tau = l/a$, ստանում ենք Զոռվ-Լենցի օրենքը՝

$$q = \lambda E^2:$$

գ) Քանի որ էլեկտրոնների լիցքը բացասական է, ապա նրանց ուղղորդված շարժման $v_e = \vec{v}$ ուղղությունը հակառակ է ուղղված j հոսանքին: B մագնիսական դաշտում v_e արագությամբ շարժվող էլեկտրոնի վրա ազդում $F = - (e/c)(v_e \times B)$ մագնիսական ուժը, որի ազդեցության տակ ժապավենի մի եզրին բացասական, մյուսին՝ դրական լիցք է կուտակվում: Այս արդյունքը կշարունակվի, մինչև որ Լորենցի մագնիսական ուժը հավասարակշռվի կուտակված լիցքի ստեղծած eE Լորենցի էլեկտրական ուժով՝ $eE = ev_e B/c$ ($v_e \perp B$) որտեղից:



$$E = \frac{jB}{Nec}:$$

Վերջինս բազմապատկելով d -ով ստանում ենք

$$\Delta\phi = Ed = \frac{jBd}{Nec} = RjBd:$$

$R = (Nec)^{-1}$ մեծությունը կոչվում է Հոլլի գործակիչ:

3.15 Հաշվի առնելով $\text{rot} A = B$ առնչությունը, Լոնդոնների հավասարումը գրենք

$$\frac{4\pi\Lambda_0^2}{c} \text{rot} j + B = 0$$

տեսքով: Օգտվելով Մաքսվելի (2.12) և (2.14) հավասարումներից, կստանանք՝

$$\Delta B = \Lambda_0^{-2} B:$$

Ենթադրենք, թե միջավայրը գրադենում է $x \geq 0$ կիսատարածությունը: Այդ դեպքում վերջին հավասարումը դառնում է

$$\frac{\partial^2 B}{\partial x^2} = \Lambda_0^{-2} B,$$

որի լուծումն ունի

$$B(x) = B(0)e^{-x/\Lambda_0}$$

տեսքը: Վերջինից հետևում է, որ $x > \Lambda_0 \approx 10^{-6}$ սմ խորությունների վրա $B(x)$ -ը գործնականորեն հավասար է զրոյի:

3.16 $m\ddot{x} = qE$ շարժման հավասարումից, որտեղ $E = E_0 e^{-i\omega t}$, x շեղման համար կստանանք՝ $\ddot{x} = -qE/m\omega^2$: Հաշվի առնելով, որ

$$P(\omega) = Nq\dot{x}(\omega) \quad \text{և} \quad \varepsilon(\omega)E(\omega) = E(\omega) + 4\pi P(\omega)$$

(N -ը մասնիկների կոնցենտրացիան է), կստանանք

$$\chi_e(\omega) = -\frac{Nq^2}{m\omega^2}, \quad \varepsilon(\omega) = 1 - \frac{\omega_p^2}{\omega^2},$$

որտեղ ω_p -ն այսպես կոչված պլազմային հաճախությունն է՝

$$\omega_p = \left(\frac{4\pi Nq^2}{m} \right)^{1/2}$$

3.18 Գրենք $E = E_0 e^{-i\omega t}$ դաշտում քվազիառաձգական ուժով կապված i -րդ տիպի էլեկտրոնի շարժման հավասարումը՝

$$\ddot{r}_i + \gamma_i \dot{r}_i + \omega_{0i}^2 r_i = -\frac{e}{m} E, \quad (1)$$

որտեղ ω_{0i} -ն i -րդ տիպի էլեկտրոնի սեփական հաճախությունն է, γ_i -ն՝ մարման գործակիցը, իսկ e -ն՝ տարրական լիցքը: (1)-ի մասնավոր լուծումը փնտրենք $r_i = r_{0i} e^{-i\omega t}$ տեսքով, որը տեղադրելով (1)-ի մեջ, կունենանք

$$(-\omega^2 - i\gamma_i \omega + \omega_{0i}^2) r_i = -\frac{e}{m} E:$$

Հաշվի առնելով, որ

$$P = N \sum_i f_i p_i = -Ne \sum_i f_i \dot{r}_i,$$

կստանանք՝

$$\chi_e(\omega) = \frac{Ne^2}{m} \sum_i \frac{f_i}{\omega_{0i}^2 - \omega^2 - i\omega\gamma_i}: \quad (2)$$

$\varepsilon(\omega) = 1 + 4\pi\chi_e(\omega)$ առնչությունից՝

$$\varepsilon(\omega) = 1 + \omega_p^2 \sum_i \frac{f_i}{\omega_{0i}^2 - \omega^2 - i\omega\gamma_i},$$

որտեղ $\omega_p = (4\pi Ne^2/m)^{1/2}$ -ը պլազմային հաճախությունն է:

Անջատելով $\epsilon(\omega)$ -ի իրական և կեղծ մասերը, կստանանք՝

$$\epsilon'(\omega) = 1 + \omega_p^2 \sum_i \frac{f_i (\omega_{0i}^2 - \omega^2)^2}{(\omega_{0i}^2 - \omega^2)^2 + \omega^2 \gamma_i^2},$$

$$\epsilon''(\omega) = \omega_p^2 \omega \sum_i \frac{f_i \gamma_i}{(\omega_{0i}^2 - \omega^2)^2 + \omega^2 \gamma_i^2}:$$

3.19 ω_0 ռեզոնանսային հաճախությանը մոտ հաճախությունների դեպքում 3.18 խնդրի լուծման մեջ ստացված (2) բանաձևը կդառնա՝

$$\chi_e(\omega) = \frac{\omega_p^2}{4\pi} \frac{f}{\omega_0^2 - \omega^2 - i\omega}:$$

Օգտագործելով Կլաուզիուս-Մոստիի առնչությունը (տես 3.5 խնդիրը), կստանանք

$$\epsilon(\omega) = 1 + \frac{\omega_p^2 f}{\omega_0^2 - \omega^2 - i\omega - \omega_p^2 f / 3},$$

այսինքն Լորենցի արդյունարար դաշտի ազդեցությունը արտահայտվում է ռեզոնանսային հաճախության քառակուսու շելմամբ $\omega_p^2 f / 3$ չափով:

3.20 Էլեկտրոնի $p = -er$ դիպոլային մոմենտի պրոյեկցիաների համար շարժման հավասարումներից ունենք

$$\ddot{p}_x + \omega_{01}^2 p_x = \frac{e^2}{m} E_x, \quad \ddot{p}_y + \omega_{02}^2 p_y = \frac{e^2}{m} E_y, \quad \ddot{p}_z + \omega_{03}^2 p_z = \frac{e^2}{m} E_z:$$

$E = E_0 e^{-i\omega t}$ դաշտում սրանց լուծումները փնտրենք $p_x = p_{x0} e^{-i\omega t}$, $p_y = p_{y0} e^{-i\omega t}$, $p_z = p_{z0} e^{-i\omega t}$ տեսքով: Միջավայրի էլեկտրական թևեռացման համար կստանանք

$$P_x = Np_x = \frac{Ne^2}{m(\omega_{01}^2 - \omega^2)} E_x,$$

$$P_y = Np_y = \frac{Ne^2}{m(\omega_{02}^2 - \omega^2)} E_y,$$

$$P_z = Np_z = \frac{Ne^2}{m(\omega_{03}^2 - \omega^2)} E_z,$$

Որտեղիս

$$\chi_{ik}(\omega) = \begin{pmatrix} \frac{Ne^2}{m(\omega_{01}^2 - \omega^2)} & 0 & 0 \\ 0 & \frac{Ne^2}{m(\omega_{02}^2 - \omega^2)} & 0 \\ 0 & 0 & \frac{Ne^2}{m(\omega_{03}^2 - \omega^2)} \end{pmatrix}$$

իսկ

$$\varepsilon_{ik}(\omega) = 1 + 4\pi\chi_{ik}(\omega)$$

3.21 Հաղորդականության էլեկտրոնների շարժման հավասարումն է

$$\ddot{\mathbf{r}} + \gamma \dot{\mathbf{r}} = -\frac{e}{m} \mathbf{E}, \quad \mathbf{E} = E_0 r^{-i\omega},$$

որտեղ r -ը էլեկտրոնների շեղման վեկտորն է \mathbf{E} դաշտում, $r = v - t$ -ն էլեկտրոնների միջին արագությունն է դաշտի երկայնքով: r ֆունկցիան փնտրելով $r = r_0 e^{-i\omega t}$ տեսքով, կստանանք՝

$$\mathbf{r} = \frac{e\mathbf{E}}{m\omega} \frac{1}{\omega + i\gamma}, \quad \mathbf{v} = -\frac{e\mathbf{E}}{m} \frac{1}{\gamma - i\omega}:$$

Օգտվելով $\mathbf{j} = -Ne\mathbf{v}$ և $\mathbf{j} = \lambda \mathbf{E}$ առնչություններից կստանանք՝

$$\lambda(\omega) = \frac{Ne^2}{m} \frac{1}{\gamma - i\omega} = \frac{\lambda_0}{1 - i\omega/\gamma}:$$

- Այսուղ լազու = $\lambda(\omega \rightarrow \infty) = Ne^2/m\gamma$ ստատիկ էլեկտրահաղորդականությունն է հաստատում էլեկտրական դաշտում, որը Դրուդե-Լորենցի տեսության սահմաններում ունի $\lambda_0 = Ne^2\tau/2m$ տեսքը (տես 3.14 խնդիրը), որտեղ τ -ն ազատ վազքի միջին ժամանակն է: Նշանակում է շարժականության էլեկտրոնների բախումների հաճախության կարգի է ($\gamma \sim 1/\tau$):

$\mathbf{P} = -Ner$ և $\mathbf{P} = \chi_e(\omega)\mathbf{E}$ առնչություններից ստանում ենք

$$\chi_e(\omega) = -\frac{Ne^2}{m\omega} \frac{1}{\omega + i\gamma},$$

կամ անջատելով իրական և կեղծ մասերը՝

$$\chi'_e(\omega) = -\frac{\lambda_0 \gamma}{\omega^2 + \gamma^2}, \quad \chi''_e(\omega) = \frac{\lambda_0 \gamma^2}{\omega(\omega^2 + \gamma^2)}:$$

$\varepsilon(\omega) = 1 + 4\pi\chi_e(\omega)$ առնչությունից՝

$$\varepsilon'(\omega) = 1 - \frac{4\pi\lambda_0\gamma}{\omega^2 + \gamma^2}, \quad \varepsilon''(\omega) = \frac{4\pi\lambda_0\gamma^2}{\omega(\omega^2 + \gamma^2)}:$$

3.22 Համարելով, որ $E(t) = 0$ եթե $t < 0$ և $E(t) = E_0 = \text{const}$, եթե $t \geq 0$, (3.5)-ից կստանանք

$$P(t) = \begin{cases} 0, & \text{եթե } t < 0, \\ E_0 \int_0^t \kappa(t') dt', & \text{եթե } t \geq 0, \end{cases}$$

որտեղից՝

$$\kappa(t) = \frac{1}{E_0} \frac{dP}{dt} = \begin{cases} 0, & \text{եթե } t < 0, \\ \frac{\chi_e^{(0)}}{\tau} e^{-\frac{t}{\tau}}, & \text{եթե } t \geq 0: \end{cases}$$

(3.7)-ից

$$\chi(\omega) = \frac{\chi_e^{(0)}}{\tau} \int_0^\infty e^{\left(i\omega - \frac{1}{\tau}\right)t} dt = \frac{\chi_e^{(0)}}{1 - i\omega\tau},$$

որի օգնությամբ՝

$$\varepsilon(\omega) = 1 + 4\pi\chi(\omega) = 1 + \frac{4\pi\chi_e^{(0)}}{1 - i\omega\tau}$$

$$\varepsilon'(\omega) = 1 + \frac{4\pi\chi_e^{(0)}}{1 + (\omega\tau)^2}, \quad \varepsilon''(\omega) = \frac{4\pi\omega\tau\chi_e^{(0)}}{1 + (\omega\tau)^2}:$$

3.24

$$\begin{aligned} \int_{-\infty}^{\infty} \frac{\varepsilon''(\omega') d\omega'}{\omega' - \omega} &= \int_{-\infty}^0 \frac{\varepsilon''(\omega') d\omega'}{\omega' - \omega} + \int_0^{\infty} \frac{\varepsilon''(\omega') d\omega'}{\omega' - \omega} = \\ &= \int_0^{\infty} \varepsilon''(\omega') \left\{ \frac{1}{\omega' - \omega} + \frac{1}{\omega' + \omega} \right\} d\omega' = 2 \int_0^{\infty} \frac{\varepsilon''(\omega') \omega' d\omega'}{\omega'^2 - \omega^2}, \end{aligned}$$

որի օգնությամբ (3.13)-ը կդառնա՝

$$\varepsilon'(\omega) - 1 = \frac{2}{\pi} \int_0^{\infty} \frac{\varepsilon''(\omega') \omega' d\omega'}{\omega'^2 - \omega^2}:$$

3.25 Ենթադրենք ու հաճախությունը շատ մեծ է և որ ա՛ հաճախությունները, որոնց դեպքում կլանումը զգալի է, բավարարում են ա՛ << ապայմանին: Այդ դեպքում մի կողմից 3.17 խնդրի համաձայն $\epsilon(\omega) = \epsilon''(\omega) = 1 - 4\pi N e^2 / \pi \omega^2$, մյուս կողմից 3.24 խնդրում ստացված առնչությունից կարելի է գրել

$$\epsilon'(\omega) - 1 = \frac{2}{\pi \omega^2} \int_0^\infty \epsilon''(\omega') \omega' d\omega',$$

Այս երկուսի համեմատությունից ստանում ենք

$$N = \frac{m}{2\pi^2 e^2} \int_0^\infty \epsilon''(\omega') \omega' d\omega':$$

3.26 Դիտարկենք մոնորումատիկ էլեկտրամագնիսական դաշտի դեպքը՝ $E = E_0 e^{-i\omega t}$, $H = H_0 e^{-i\omega t}$: Էներգիայի փոփոխությունը միավոր ժամանակում, միավոր ծավալում տրվում

$$\text{div}S = (c/4\pi) \text{div}(\text{Re}E \times \text{Re}H)$$

բանաձևով, որտեղ S -ը Պոյնտինգի վեկտորն է: Ըստ ժամանակի միջինացված – $\text{div}S$ մեծությունը հավասար կլինի էլեկտրամագնիսական դաշտի աղբյուրների կողմից միավոր ժամանակում միջավայրի միավոր ծավալին տրված էներգիային, որը ծախսվում է էներգիայի կորուստները չեզոքացնելու վրա, այսինքն այն հավասար կլինի միջավայրում միավոր ժամանակում, միավոր ծավալում անջատված q ջերմության քանակին:

Հաշվի առնելով, որ

$$\begin{aligned} \text{Re}E &= \frac{1}{2}(E + E^*), \quad \text{Re}H = \frac{1}{2}(H + H^*), \\ \overline{E \times H} &= (\overline{E_0} \times \overline{H_0}) e^{-\overline{-2i\omega t}} = 0, \\ \overline{E^* \times H^*} &= (\overline{E_0^*} \times \overline{H_0^*}) e^{\overline{2i\omega t}} = 0, \\ \overline{E \times H^*} &= E \times H^*, \\ \overline{E^* \times H} &= E^* \times H, \end{aligned}$$

կունենանք

$$\begin{aligned} q &= -\text{div}S = \frac{c}{4\pi} \frac{1}{4} \text{div}(E \times H^* + E^* \times H) = \\ &= -\frac{c}{8\pi} \text{Re} \text{div}(E \times H^*) = -\frac{c}{8\pi} \text{Re}(H^* \cdot \text{rot}E - E \cdot \text{rot}H^*): \end{aligned}$$

Օգտվելով

$$\text{rot} \mathbf{H} = -i \frac{\omega}{c} \epsilon(\omega) \mathbf{E}, \quad \text{rot} \mathbf{E} = i \frac{\omega}{c} \mu(\omega) \mathbf{H}$$

Մաքսվելի հավասարումներից, կստանանք՝

$$\begin{aligned} q &= -\frac{\omega}{8\pi} \operatorname{Re}(i\mu(\omega)|\mathbf{H}|^2 - i\epsilon''(\omega)|\mathbf{E}|^2) = \\ &= -\frac{\omega}{8\pi} \operatorname{Re}(i(\mu' + i\mu'')|\mathbf{H}|^2 - i(\epsilon' - i\epsilon'')|\mathbf{E}|^2) = \\ &= \frac{\omega}{8\pi} (\mu''|\mathbf{H}|^2 + \epsilon''|\mathbf{E}|^2): \end{aligned}$$

Ստացված առնչությունից հետևում է, որ $\epsilon''(\omega)$ և $\mu''(\omega)$ մեծությունները նկարագրում են էլեկտրամագնիսական ալիքների կանոնը միջավայրերում։ Բայց դրանից, քանի որ q անջատված զերմության քանակը դրական մնանություն է, ապա $\epsilon''(\omega) > 0$, $\mu''(\omega) > 0$ ։ Այս հետևությունները ճիշտ են կամայական փոփոխական դաշտերի համար, որովհետև ֆուրիե վերլուծության միջոցով նրանց միշտ կարելի է ներկայացնել մոնոքրոմատիկ ալիքների գումարի տեսքով։

3.28 $\mathbf{b} = \mathbf{b}_0 e^{-i\omega t}$ փոփոխական դաշտի առկայությամբ միջավայրի մագնիսական բներացումը կարելի է ներկայացնել

$$\mathbf{I} = \mathbf{I}_0 + \mathbf{I}_b(t)$$

տեսքով, որտեղ $\mathbf{I}_0 = \chi \frac{(0)}{m} \mathbf{B}_0$ -ն մագնիսացման հաստատուն քաղաքիչն է, իսկ $\mathbf{I}_b(t)$ -ն՝ $\mathbf{b}(t)$ -ով պայմանավորված մասն է, որը $b \ll B_0$ պայմանի շնորհիվ նույնական է լրացրարի $I_b(t) \ll I_0$ պայմանին։ 3.13 խնդրի նմանությամբ կարող ենք գրել

$$\frac{d\mathbf{I}}{dt} = \frac{e}{2mc} (\mathbf{B} \times \mathbf{I}):$$

Սահմանափակվելով \mathbf{b} և \mathbf{I}_b փոքր մեծությունների գծային անդամներով, կարող ենք գրել

$$\frac{d\mathbf{I}_b}{dt} = \frac{e}{2mc} (\mathbf{B}_0 \times \mathbf{I}_b) + \frac{e}{2mc} (\mathbf{b} \times \mathbf{I}_0):$$

Հաշվի առնելով, որ $\mathbf{I}_0 = \chi \frac{(0)}{m} \mathbf{B}_0$ և օգտվելով Լարմորի անկյունային արագության $\omega_L = e\mathbf{B}_0 / (2mc)$ քանածնից, կգրենք՝

$$\frac{d\mathbf{I}_b}{dt} = \omega_L \times \mathbf{I}_b - \chi \frac{(0)}{m} (\omega_L \times \mathbf{b}): \tag{1}$$

(1) հավասարման լուծումը փնտրենք $I_b = I_{b0} e^{-i\omega t}$ տեսքով, որը տևղադրելուց հետո կստանանք՝

$$-i\omega I_b = \omega_L \times I_B - \chi_m^{(0)} (\omega_L \times b): \quad (2)$$

Այս հավասարումը ճախից վեկտորապես բազմապատկելով $i\vec{\omega}_L/\omega$ վեկտորով և ստացված հավասարումը գումարելով (2)-ին, կունենանք՝

$$(\omega^2 - \omega_L^2) I_b = -\chi_m^{(0)} \omega_L^2 b_\perp - i\omega \chi_m^{(0)} (\omega_L \times b_\perp),$$

որտեղ b_\perp -ը b դաշտի՝ ω_L լարմորի անկյունային արագությանն ուղղահայաց բաղադրիչն է:

Այսպիսով՝

$$I_b = \chi(\omega) b_\perp - ig(\omega) \times b_\perp, \quad (3)$$

որտեղ՝

$$\chi(\omega) = \chi_m^{(0)} \frac{\omega_L^2}{\omega_L^2 - \omega^2}, \quad g(\omega) = -\chi_m^{(0)} \frac{\omega \omega_L}{\omega_L^2 - \omega^2} B_0:$$

(3)-ից հետևում է, որ b դաշտի b_\parallel երկայնական բաղադրիչը գծային մոտավորությամբ I_b -ի վրա ազդեցություն չի քղնում, և եթե այն ունի B_0 հաստատուն դաշտին ուղղահայաց b_\perp բաղադրիչ, ապա $\omega \rightarrow \omega_0$ դեպքում դիտվում է I_b -ի ուղղութանական աճ: Ենթադրելով, որ դեկարտյան կոորդինատական համակարգի z առանցքն ուղղված է B_0 -ով, (3)-ը կարող ենք գրել

$$I_b = \chi_{ik} b_k$$

թենգորական տեսքով, որտեղ χ_{ik} -ն մազմիսական բափանցնելիության թենգորն է՝

$$\chi_{ik} = \begin{pmatrix} \chi & ig & 0 \\ -ig & \chi & 0 \\ 0 & 0 & 0 \end{pmatrix}:$$

ԳԼՈՒԽ 4
ԷԼԵԿՏՐԱՍԱՍԻԿԱ

4.1 ա) $E_1 = \frac{4\pi}{3}\rho r, \quad \Phi_1 = \frac{2\pi R^2 \rho}{3} \left(3 - \frac{r^2}{R^2} \right), \quad (r \leq R),$

$$E_2 = \frac{4\pi R^3 \rho}{3} \frac{r}{r^3}, \quad \Phi_2 = \frac{4\pi R^3 \rho}{3} \frac{1}{r}, \quad (r \geq R);$$

բ) $E_1 = 2\pi \rho r, \quad \Phi_1 = \pi \rho (R^2 - r^2), \quad (r \leq R)$

$$E_2 = 2\pi R^2 \rho \frac{r}{r^2}, \quad \Phi_2 = 2\pi R^2 \rho \ln \frac{R}{r}, \quad (r \geq R);$$

գ) $E_1 = 4\pi \rho x \hat{e}_x, \quad \Phi_1 = -2\pi \rho x^2, \quad (|x| \leq a),$

$$E_2 = 4\pi \rho a (x/|x|) \hat{e}_x, \quad \Phi_2 = -2\pi \rho a (a - 2|x|), \quad (|x| \geq a),$$

Դեկարտյան կոորդինատական համակարգի սկզբնակետով սալի հարթությանը զուգահեռ համաշափության հարթության մեջ է, իսկ x առանցքն ուղղահայաց է նրան:

4.2 ա) $E_1 = 0, \quad \Phi_1 = 4\pi R \sigma, \quad (r < R),$

$$E_2 = 4\pi R^2 \sigma \frac{r}{r^3}, \quad \Phi_2 = \frac{4\pi R^2 \sigma}{r}, \quad (r \geq R);$$

բ) $E_1 = 0, \quad \Phi_1 = 0, \quad (r < R)$

$$E_2 = 4\pi R \sigma \frac{r}{r^2}, \quad \Phi_2 = 4\pi R \sigma \ln \frac{R}{r}, \quad (r \geq R);$$

գ) $E = 2\pi \sigma \frac{x}{|x|} \hat{e}_x, \quad \Phi = -2\pi \sigma |x|, \quad$ այսուհետև լիցքավորված հարթությանն ուղղահայաց առանցքն է:

4.3 Խոսոչի ներսում դաշտը համասնութեան $E = \frac{4\pi}{3} \rho a$:

4.4 $\Phi(r) = \frac{4\pi}{r} \int_0^r \rho(r') r'^2 dr' + 4\pi \int_r^\infty \rho(r') r' dr',$

$$E = \frac{4\pi r}{r^3} \int_0^r \rho(r') r'^2 dr':$$

4.5 $q = 4\pi a(R_2 - R_1)$.

$$\Phi(r) = \begin{cases} \frac{q}{R_2 - R_1} \ln \frac{R_2}{R_1}, & \text{Եթե } (r \leq R_1), \\ \frac{q}{R_2 - R_1} \left(1 - \frac{R_1}{r} + \ln \frac{R_2}{r} \right), & \text{Եթե } (R_1 \leq r \leq R_2), \\ \frac{q}{r}, & \text{Եթե } (r \geq R_2); \end{cases}$$

$$E(r) = \begin{cases} 0, & \text{Եթե } (r \leq R_1), \\ q \frac{r - R_1}{R_2 - R_1} \frac{r}{r^3}, & \text{Եթե } (R_1 \leq r \leq R_2), \\ q \frac{r}{r^3}, & \text{Եթե } (r \geq R_2); \end{cases}$$

4.6 $\Phi(r) = \frac{e}{a} e^{-2r/a} \left(\frac{a}{r} + 1 \right) - \frac{e}{r} :$

4.7 Եթե հատվածը գրաղեցնում է կոորդինատական համակարգի z առանցքի $[-l, l]$ մասը, ապա

$$\Phi(x, y, z) = \frac{q}{2l} \ln \frac{z + l + r_1}{z - l + r_2},$$

որտեղ $r_{1,2} = \sqrt{(z \pm l)^2 + x^2 + y^2}$:

$$E_x = \frac{qx}{2l} \left[\frac{1}{r_2(z - l + r_2)} - \frac{1}{r_1(z + l + r_1)} \right],$$

$$E_y = \frac{qy}{2l} \left[\frac{1}{r_2(z - l + r_2)} - \frac{1}{r_1(z + l + r_1)} \right],$$

$$E_z = \frac{qz}{2l} \left[\frac{1}{r_2} - \frac{1}{r_1} \right]:$$

Φ_0 պոտենցիալ ունեցող կետերի երկրաչափական տեղը կորոշվի

$$\frac{z + l + \sqrt{(z + l)^2 + x^2 + y^2}}{z - l + \sqrt{(z - l)^2 + x^2 + y^2}} = e^{2\Phi_0 l/q} = C \quad (1)$$

հավասարումով: (1) հավասարման աջ և ձախ մասերը բազմապատկելով ձախ մասի հայտարարով, մի կողմ տեղափոխելով արմատները, քառակուսի բարձրացնելով և կատարելով կրճատումներ, կստանանք՝

$$(1+C^2)(x^2+y^2)+2C(z^2-l^2)=2C\sqrt{(x^2+y^2+z^2+l^2)^2-4z^2l^2}:$$

Ստացված հավասարումը նորից քառակուսի բարձրացնենք: Ձևափոխությունից հետո կստանանք՝

$$\frac{z^2}{a^2} + \frac{x^2+y^2}{b^2} = 1, \quad (2)$$

որտեղ

$$a = \frac{C+1}{C-1}l, \quad b = \frac{2}{\sqrt{C}(C-1)}: \quad (3)$$

(2)-ը պոտոման էլիպսիոդի հավասարում է, որի կիսառանցքները որոշվում են (3) առնչություններով, իսկ կենտրոնը համընկնում է լիցքավորված հատվածի երկրաչափական կենտրոնի հետ: C-ն արտահայտելով ϕ_0 -ով, կունենանք՝

$$a = l \operatorname{ctb} \frac{l \phi_0}{q}, \quad b = \frac{l}{\operatorname{sh} \frac{l \phi_0}{q}}:$$

4.8 Սահմանումից հետևում է, որ կրկնակի էլեկտրական շերտը համարժեք է մակերևույթով բաշխված տարրական դիպոլների համախմբի, որոնց դիպոլային մոմենտներն ուղղված են մակերևույթի նորմալի ուղղությամբ: dS' մակերևույթի տարրը կունենա

$$d\mathbf{p}' = \Sigma dS' \quad (1)$$

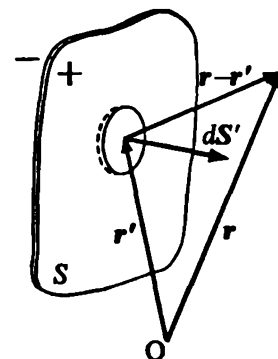
դիպոլային մոմենտ, որի պոտենցիալը \mathbf{r} շառավիղ-վեկտորով կետում կլինի

$$d\phi = \frac{(\mathbf{r} - \mathbf{r}') \cdot (\Sigma dS')}{|\mathbf{r} - \mathbf{r}'|^3}: \quad (2)$$

Հաշվի առնելով մարմնային անկյան

$$d\Omega' = \frac{(\mathbf{r}' - \mathbf{r}) \cdot dS'}{|\mathbf{r}' - \mathbf{r}|^3} \quad (3)$$

սահմանումը, կգրենք



$$\varphi(\mathbf{r}) = - \int_S \Sigma(\mathbf{r}') d\Omega'; \quad (4)$$

Եթե կրկնակի շերտի հզորությունը մոդուլով հաստատուն է, ապա՝

$$\varphi(\mathbf{r}) = -\Sigma\Omega, \quad (5)$$

որտեղ Ω -ն այն մարմնային անկյունն է, որով երևում է կրկնակի շերտը:

Գտնենք սահմանային պայման պոտենցիալի համար: Կրկնակի շերտի վրա գտնվող \mathbf{r}' շառավիղ-վեկտորով կետի շորջը մտավի առանձնացնենք կրկնակի շերտի անվերջ փոքր dS' մակերես: Կրկնակի շերտի մնացած մասի կողմից \mathbf{r}' կետում ստեղծված դաշտի պոտենցիալը նշանակենք $\varphi_0(\mathbf{r}')$ -ով: dS' անվերջ փոքր տարրի ստեղծած դաշտի պոտենցիալի սահմանային արժեքը \mathbf{r}' կետին կրկնակի շերտի դրական երեսից մոտենալիս կլինի

$$\varphi'_+ = 2\pi\Sigma(\mathbf{r}'), \quad (6)$$

իսկ բացասական երեսի կողմից՝

$$\varphi'_- = -2\pi\Sigma(\mathbf{r}'): \quad (7)$$

Վերադրման սկզբունքից օգտվելով կրկնակի էլեկտրական շերտի պոտենցիալի համար կգրենք՝

$$\varphi_+(\mathbf{r}') = \varphi_0(\mathbf{r}') + 2\pi\Sigma(\mathbf{r}'), \quad (8)$$

$$\varphi_-(\mathbf{r}') = \varphi_0(\mathbf{r}') - 2\pi\Sigma(\mathbf{r}'): \quad (9)$$

Ստացվածից երևում է, որ կրկնակի էլեկտրական շերտի վրա պոտենցիալը կրում է

$$\varphi_+(\mathbf{r}') - \varphi_-(\mathbf{r}') = 4\pi\Sigma(\mathbf{r}'): \quad (10)$$

բոլոր:

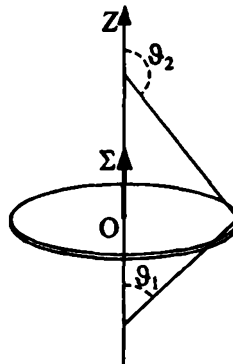
- 4.9** Կոռորդինատական համակարգի սկզբնակետն ընտրենք սկավառակի կենտրոնում և օգտվենք նախորդ խնդրի

$$\varphi = -\Sigma\Omega \quad (1)$$

արդյունքից:

$z < 0$ դեպքում

$$\begin{aligned} \Omega &= -2\pi \cos\theta |\dot{\theta}| = -2\pi(\cos\theta_1 - 1) = \\ &= 2\pi \left(1 - \frac{|z|}{\sqrt{R^2 + z^2}} \right), \end{aligned} \quad (2)$$



$$z = 0 \text{ դեպքում } \Omega = 0 : \quad (3)$$

$z > 0$ դեպքում

$$\Omega = -2\pi \cos \vartheta_1 |_{\frac{\theta}{\pi}} = -2\pi(\cos \vartheta_2 + 1) = -2\pi \left(1 - \frac{z}{\sqrt{R^2 + z^2}}\right); \quad (4)$$

Այսպիսով՝

$$\varphi = \begin{cases} -2\pi \left(1 - \frac{|z|}{\sqrt{R^2 + z^2}}\right), & \text{եթե } z < 0, \\ 0, & \text{եթե } z = 0, \\ 2\pi \left(1 - \frac{z}{\sqrt{R^2 + z^2}}\right), & \text{եթե } z > 0: \end{cases} \quad (5)$$

$$E_x = E_y = 0, \quad E_z = 2\pi \Sigma \frac{R^2}{(R^2 + z^2)^{3/2}}: \quad (6)$$

4.10 4.8 խնդրի (5) բանաձևի համաձայն

$$\varphi = -\Sigma \Omega,$$

որտեղ Ω -ն այն մարմնային անկյունն է, որով երևում է կրկնակի շերտը: $\Omega > 0$, եթե երևում է շերտի բացասական լիցքավորված երեսը՝ $z < R$, և $\Omega < 0$, եթե երևում է դրական երեսը՝ $z > R$:

$z < R$ դեպքում

$$\begin{aligned} \Omega &= -2\pi \cos \vartheta_0 |_{\frac{\theta}{\pi}} = 2\pi(1 - \cos \vartheta_1) = \\ &= 2\pi \left(1 + \frac{z}{\sqrt{R^2 + z^2}}\right); \end{aligned}$$

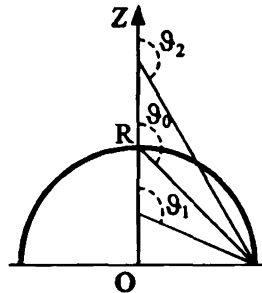
$z > R$ դեպքում՝

$$\Omega = -2\pi \cos \vartheta_1 |_{\frac{\theta}{\pi}} = -2\pi \left(1 - \frac{z}{\sqrt{R^2 + z^2}}\right);$$

$z = R$ դեպքում՝

$$\Omega = -2\pi \cos \vartheta_0 |_{\frac{\theta}{\pi}/2} = -\cos \vartheta_0 = \sqrt{2}\pi:$$

Այսպիսով՝



$$\varphi = \begin{cases} -2\pi \Sigma \left(1 + \frac{z}{\sqrt{R^2 + z^2}} \right), & \text{եթե } z < R, \\ -\sqrt{2}\pi \Sigma, & \text{եթե } z = R, \\ 2\pi \Sigma \left(1 - \frac{z}{\sqrt{R^2 + z^2}} \right), & \text{եթե } z > R: \end{cases}$$

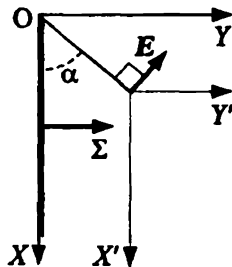
$$E_x = E_y = 0, \quad E_z = \frac{2\pi \Sigma R^2}{(R^2 + z^2)^{3/2}}$$

4.11 4.8 խնդրի լուծման համաձայն

$$\varphi = -\Sigma \Omega,$$

որտեղ Ω -ն այն մարմնային անկյունն է որով երևում է կրկնակի շերտը: Մարմնային անկյունը որոշելու համար ընտրենք դիտման կետի կենտրոնով (x', y', z') օժանդակ կոորդինատական համակարգ:

$$|\Omega| = \left| \int_0^\pi \sin \theta' d\theta' \int_{\pi+\alpha}^{2\pi} d\alpha \right| = 2|\pi - \alpha|:$$



Հաշվի առնելով, որ $\Omega < 0$, եթե երևում է դրական երեսը ($0 < \alpha < \pi$) և $\Omega > 0$, եթե երևում է բացասական երեսը ($\pi < \alpha < 2\pi$), կարող ենք գրել

$$\Omega = 2(\alpha - \pi):$$

Այսպիսով՝

$$\varphi = \begin{cases} 2\Sigma(\pi - \alpha), & \text{եթե } 0 < \alpha < 2\pi, \\ 0, & \text{եթե } \alpha = 0, 2\pi: \end{cases}$$

$$E_r = E_z = 0, \quad E_\alpha = -\frac{1}{r} \frac{\partial \varphi}{\partial \alpha} = \frac{2\Sigma}{r}:$$

Նկատենք, որ ($y = 0, x \geq 0$) հարթության վրա φ պոտենցիալն իսկապես ունի թոփք՝

$$\varphi(\alpha \rightarrow 0) - \varphi(\alpha \rightarrow 2\pi) = 4p\Sigma:$$

$$4.12 \varphi(x, y, z) = \frac{4\pi\rho_0}{\alpha^2 + \beta^2 + \gamma^2} \cos \alpha x \cos \beta y \cos \gamma z,$$

$$E_x(x, y, z) = \frac{4\pi\rho_0\alpha}{\alpha^2 + \beta^2 + \gamma^2} \sin \alpha x \cos \beta y \cos \gamma z,$$

$$E_y(x, y, z) = \frac{4\pi\rho_0\beta}{\alpha^2 + \beta^2 + \gamma^2} \cos \alpha x \sin \beta y \cos \gamma z,$$

$$E_z(x, y, z) = \frac{4\pi\rho_0\gamma}{\alpha^2 + \beta^2 + \gamma^2} \cos \alpha x \cos \beta y \sin \gamma z:$$

4.13 Պոտենցիալը $z < 0$ և $z > 0$ կիսատարածություններում որոշվում է

$$\Delta\phi_1 = 0 \quad (z < 0) \quad \text{և} \quad \Delta\phi_2 = 0 \quad (z > 0) \quad (1)$$

Լապլասի հավասարումներից, լսաւ որում ϕ_1 և ϕ_2 ֆունկցիաները բավարարում են

$$\left. \frac{\partial\phi_1}{\partial z} \right|_{z=0} - \left. \frac{\partial\phi_2}{\partial z} \right|_{z=0} = 4\pi\sigma(x, y), \quad (2)$$

$$\phi_1(x, y, 0) = \phi_2(x, y, 0)$$

սահմանային պայմաններին:

Քանի որ Լապլասի օպերատորը ազդելով \sin ֆունկցիայի վրա նրա տեսքը չի փոխում, ապա (1) հավասարումների լուծումները կարելի են գնում:

$$\phi_{1,2}(x, y, z) = \phi_{1,2}(z) \sigma(x, y)$$

տեսքով, որոնք տեղադրելով (1)-ի մեջ ϕ_1 և ϕ_2 -ի համար ստանում ենք

$$\frac{\partial^2 \phi_{1,2}}{\partial z^2} - \lambda^2 \phi_{1,2} = 0, \quad (z \neq 0), \quad (3)$$

$$\lambda^2 = \alpha^2 + \beta^2 :$$

Քանի որ լրիվ մակերևութային լիցքը հավասար է զրոյի, ապա (1) հավասարումների լուծումները պետք են վազեն $|z| \rightarrow \infty$ դեպքում, որի շնորհիվ

$$\phi_1(z) = C_1 e^{\lambda z}, \quad \phi_2(z) = C_2 e^{-\lambda z} :$$

(2) սահմանային պայմաններից կհետևի $C_1 = C_2 = 2\pi/\lambda$ և վերջնականապես կստանանք՝

$$\phi(x, y, z) = \frac{2\pi}{\lambda} e^{-\lambda|z|} \sigma(x, y),$$

$$E_x(x, y, z) = -\frac{2\pi\alpha}{\lambda} e^{-\lambda|z|} \cos(\alpha x) \sin(\beta y),$$

$$E_y(x, y, z) = -\frac{2\pi\beta}{\lambda} e^{-\lambda|z|} \sin(\alpha x) \cos(\beta y),$$

$$E_z(x, y, z) = \frac{2\pi}{\lambda} \frac{z}{|z|} e^{-\lambda|z|} \sigma(x, y);$$

4.14 Առաջին եղանակ: Գնդային կոռորդինատական համակարգում զրված Լապլասի օպերատորի բևեռային մասը ազդելով $\cos\theta$ ֆունկցիայի վրա նրա տեսքը չի փոխում: Դա հնարավորություն է տալիս Պուասոնի

$$\begin{aligned} \frac{1}{r^2} \frac{\partial}{\partial r} \left(r^2 \frac{\partial \phi(r, \theta)}{\partial r} \right) + \frac{1}{r^2 \sin \theta} \frac{\partial}{\partial \theta} \left(\sin \theta \frac{\partial \phi(r, \theta)}{\partial \theta} \right) = \\ = -4\pi\sigma_0 \delta(r-R) \cos\theta \end{aligned}$$

հավասարման լուծումը փնտրել $\phi(r, \theta) = \phi(r) \cos\theta$ տեսքով, որի շառավղային մասի համար կստանանք

$$\frac{\partial^2 \phi(r)}{\partial r^2} + \frac{2}{r} \frac{\partial \phi(r)}{\partial r} - \frac{2}{r^2} \phi(r) = -4\pi\sigma_0 \delta(r-R)$$

հավասարումը: Ամբողջ տարածության մեջ, բայց $r=R$ կետերից, այս հավասարման լուծումը փնտրենք $\phi(r) = \sum C_n r^n$ աստիճանային շարքի տեսքով, որը տեղադրելով վերևի հավասարման մեջ n -ի համար ստանում ենք $n(n+1) = 2$ բնութագրական հավասարումը: Այստեղից ստանում ենք n -ի երկու հնարավոր արժեքներ՝ $n_1 = 1, n_2 = -2$: Այսպիսով պոտենցիալի շառավղային մասի ընդհանուր լուծումն է՝

$$\phi(r) = C_1 r + \frac{C_2}{r^2}:$$

$r \rightarrow \infty$ դեպքում $\phi(r) \rightarrow 0$ պայմանից հետևում է, որ $r > R$ դեպքում $C_1 = 0$, իսկ գնդային մակերևույթի ներսում ϕ -ի վերջավոր լինելու պայմանից՝ $C_2 = 0$, եթե $r < R$: Այսպիսով

$$\phi(r) = \begin{cases} \phi_1(r) = C_1 r, & (r < R), \\ \phi_2(r) = \frac{C_2}{r^2}, & (r > R): \end{cases}$$

C_1 և C_2 հաստատունները կգտնենք

$$\phi_1(R) = \phi_2(R), \quad \left. \frac{\partial \phi_1}{\partial r} \right|_{r=R} - \left. \frac{\partial \phi_2}{\partial r} \right|_{r=R} = 4\pi\sigma_0$$

սահմանային պայմաններից՝ $C_1 = 4\pi\sigma_0/3$, $C_2 = 4\pi R^3 \sigma_0/3$:

Վերջնականապես պոտենցիալի համար կստանանք՝

$$\varphi(r, \theta) = \begin{cases} \frac{4\pi}{3} \sigma_0 r \cos \theta, & (r \leq R), \\ \frac{4\pi}{3} \sigma_0 \frac{R^3}{r^2} \cos \theta, & (r \geq R); \end{cases}$$

$r > R$ դեպքում գնդի պոտենցիալը համարժեք է $\rho = (4\pi/3)\sigma_0 R^3$ մոմենտով էլեկտրական դիպոլի պոտենցիալին:

Էլեկտրական դաշտի լարվածության համար կստանանք

$$E_r = -\frac{4\pi}{3} \sigma_0 \cos \theta, \quad E_\theta = \frac{4\pi}{3} \sigma_0 \sin \theta, \quad E_\alpha = 0, \quad (r \leq R)$$

$$E_r = -\frac{8\pi}{3} \sigma_0 \frac{R^3}{r^3} \cos \theta, \quad E_\theta = \frac{4\pi}{3} \sigma_0 \frac{R^3}{r^3} \sin \theta, \quad E_\alpha = 0, \quad (r \geq R)$$

Երկրորդ եղանակ: Դիտարկենք միատեսակ

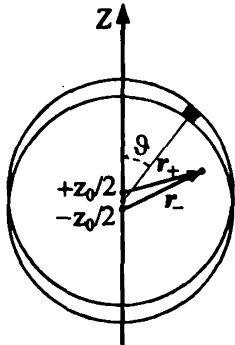
R շառավղով $+r$ և $-r$ ծավալային խտություններով հավասարաչափ լիցքավորված երկու գնդերի համակարգ, որոնց կենտրոններն են համապատասխանաբար $+z_0/2$ և $-z_0/2$ ($z_0 \ll R$): Պարզ է, որ գումարային լիցքերի խտությունը գնդերի վերադրված մասում կլինի գրո: Թանկյան տակ երևացող միավոր մակերեսին բաժին ընկնող լիցքը կլինի $z_0 \rho \cos \theta$:

Եթե կատարենք սահմանային անցում, որի ժամանակ $z_0 \rightarrow 0$, $\rho \rightarrow \infty$ սակայն $z_0 \rho$ արտադրյալը մնում է հաստատուն և հավասար σ_0 -ի, ապա գնդերի համակարգը կանցնի $\sigma = \sigma_0 \cos \theta$ մակերևությային խտությամբ լիցքավորված գնդային մակերևույթի:

Օգտվելով հավասարաչափ լիցքավորված գնդի էլեկտրական դաշտի լարվածության (տե՛ս խնդիր 4. 1ա) արտահայտությունից, $r \leq R$ տիրույթի համար կգրենք (տե՛ս նկ.)

$$\mathbf{E} = \mathbf{E}_+ + \mathbf{E}_- = \frac{4}{3} \pi \rho (\mathbf{r}_+ - \mathbf{r}_-) = -\frac{4}{3} \pi \rho z_0 \hat{\mathbf{e}}_z = -\frac{4}{3} \pi \sigma_0 \hat{\mathbf{e}}_z:$$

Դաշտը գնդային մակերևույթով սահմանափակված տիրույթում համասնութեան է և z առանցքին հակառակ ուղղված: Գնդից դուրս տարածությունում ($z > R$) դաշտը կհամընկնի



$$\mathbf{p} = \frac{4}{3} \pi R^3 \rho z_0 \hat{\mathbf{e}}_z = \frac{4}{3} \pi R^3 \sigma_0 \hat{\mathbf{e}}_z$$

դիպոլային մոմենտով դիպոլի դաշտի հետ՝

$$\mathbf{E} = \frac{4}{3} \pi R^3 \sigma_0 \frac{3r(\hat{\mathbf{e}}_z \cdot \mathbf{r}) - \hat{\mathbf{e}}_z r^2}{r^5}:$$

Այսպիսով

$$\mathbf{E} = \begin{cases} -\frac{4}{3} \pi \sigma_0 \hat{\mathbf{e}}_z, & \text{եթե } r \leq R, \\ \frac{4}{3} \pi R^3 \sigma_0 \frac{3r(\hat{\mathbf{e}}_z \cdot \mathbf{r}) - \hat{\mathbf{e}}_z r^2}{r^5}, & \text{եթե } r \geq R: \end{cases}$$

Պոտենցիալի համար կունենանք՝

$$\varphi = \begin{cases} \frac{4}{3} \pi \sigma_0 r \cos \theta, & \text{եթե } r \leq R, \\ \frac{4}{3} \pi \sigma_0 \frac{R^3}{r^2} \cos \theta, & \text{եթե } r \geq R: \end{cases}$$

4.15 Ենթադրենք լարերը կոռորդինատական համակարգի OX առանցքը հատում են $-h$ և h կետերում, իսկ OZ առանցքը զուգահեռ է լարերին: Խնդրի համաշափությունից հետևում է, որ լարերի գումարային պոտենցիալը շ կոռորդինատից կախված չէ և համապատենցիալ մակերևույթների մասին լրիվ տեղեկություն կստանանք, եթե դիտարկենք նրանց արդյունքները XOY հարթության վրա: XOY հարթության (x, y) կետում լարերի ստեղծած պոտենցիալը համաձայն 4.1 խնդրի կլինի՝

$$\varphi(x, y) = -2\chi_1 \ln r_1 - 2\chi_2 \ln r_2 = -\ln [(r_1^2)^{\chi_1} (r_2^2)^{\chi_2}],$$

$$\text{որտեղ } r_1 = \sqrt{(x+h)^2 + y^2}, \quad r_2 = \sqrt{(x-h)^2 + y^2}:$$

Համապատենցիալ մակերևույթների հավասարությունն է՝

$$(r_1^2)^{\chi_1} (r_2^2)^{\chi_2} = \text{const}:$$

Մասնավոր դեպքում, եթե $\chi_1 = \chi_2 = \chi$, ստանում ենք՝

$$x^4 + y^4 + 2x^2y^2 - 2h^2x^2 + 2h^2y^2 + h^4 = C,$$

որտեղ C -ն կամայական հաստատուն է:

$\chi_1 = -\chi_2 = \chi$ դեպքում համապոտենցիալ մակերևույթների հավասարումը դառնում է

$$(x-a)^2 + y^2 = R^2,$$

որտեղ

$$a = h \frac{1+C_1}{1-C_1}, \quad R^2 = \frac{4C_1 h^2}{(1-C_1)^2},$$

իսկ C_1 -ը կամայական դրական հաստատում է:

Այսպիսով վերջին դեպքում համապոտենցիալ մակերևույթները R շառավղով շրջանային գլաններ են, որոնց առանցքներն հատում են X առանցքը՝ $x > h$ կետերում, եթե $C_1 < 1$ և $x < -h$ կետերում, եթե $C_1 > 1$:

- 4.16** Կոորդինատական համակարգի Z առանցքն ուղղենք կետային լիցքերը միացնող գծով՝ բացարձակ արժեքով փոքր լիցքի դեպի բացարձակ արժեքով մեծ լիցքը: Խնդրի համաշափուրյունից հետևում է, որ եթե գոյություն ունի համապոտենցիալ գնդային մակերևույթ, ապա նրա կենտրոնը գտնվում է Z առանցքի վրա: Որպես սկզբնակետ ընտրենք փնտրվող եամապոտենցիալ գնդային մակերևույթի կենտրոնը: Բացարձակ արժեքով փոքր q_1 լիցքի կոորդինատը նշանակենք z_1 -ով: q_2 լիցքի կոորդինատը կլինի $z_2 = z_1 + h$: Պահանջենք, որ գնդային մակերևույթի վրա

$$\varphi = \frac{q_1}{r_1} + \frac{q_2}{r_2}$$

պոտենցիալը, որտեղ $r_{1,2} = \sqrt{R^2 + z_{1,2}^2 - 2Rz_{1,2} \cos \theta}$, կախված չի նի θ անկյունից: Մաքսիմալ կորինքն դա համարժեք է θ -ի բոլոր արժեքների համար

$$\frac{d\varphi}{d \cos \theta} = 0$$

պայմանի բավարարմանը, որն այս դեպքում ունի

$$\frac{q_1 z_1}{r_1^3} + \frac{q_2 z_2}{r_2^3} = 0 \tag{1}$$

տեսքը: Պարզ է, որ այն կարող է իրականանալ միայն տարանուն լիցքերի դեպքում ($q_1 q_2 < 0$): (1)-ը վերափոխելով $\cos \theta = \frac{1}{2} \sqrt{q_1^2 + q_2^2 - 2q_1 q_2}$ հավասարությունը կամ առաջին արտահայտության և աջ ու ձախ մասերում հավասարեցնելով $\cos \theta = \frac{1}{2} \sqrt{R^2 - R_1^2 - R_2^2}$ հավասարությունը կամ առաջին արտահայտության և աջ ու ձախ մասերում հավասարեցնելով՝

$$\begin{aligned} q_1^2 z_2 &= q_2^2 z_1, \\ z_1 z_2 &= R^2: \end{aligned} \quad (2)$$

Լուծելով (2) հավասարությունների համակարգը, կարելի է որոշել z_1 , z_2 և R մեծությունները՝

$$z_1 = \frac{q_1^2}{q_2^2 - q_1^2} h, \quad z_2 = \frac{q_2^2}{q_2^2 - q_1^2} h, \quad R = \frac{|q_1 q_2|}{q_2^2 - q_1^2} h: \quad (3)$$

Այսպիսով, համապոտեմնային գնդային մակերևույթ գոյություն կունենա միայն, եթե լիցքերը տարբեր նշանի լինեն: Այդ համապոտեմնային գնդային մակերևույթով պարփակված տարածական տիրույթի մեջ ընկած կլինի բացարձակ արժեքով փոքր լիցքը:

Հեշտ է ստուգել, որ այդ գնդային մակերևույթի վրա $\varphi_R = 0$:

Եթե z_1 և z_2 կոորդինատների փոխարեն գործածենք գնդային մակերևույթի մերձակա կետից ($նկարում՝ z = R$ կոորդինատով կետը) q_1 և q_2 կետային լիցքերի համապատասխանաբար $h_1 = R - z_1$ և $h_2 = z_2 - R$ հեռավորությունները, ապա (3)-ը կդառնա՝

$$h_1 = \frac{|q_1|}{|q_1| + |q_2|} h, \quad h_2 = \frac{|q_2|}{|q_1| + |q_2|} h:$$

$q_1 = -q_2$ մասնավոր դեպքում գնդային մակերևույթը վերածվում է երկու լիցքերից հավասարահեռ անվերջ հարթության՝

$$q_2 \rightarrow -q_1, \quad R \rightarrow \infty, \quad h_1 \rightarrow \frac{h}{2}, \quad h_2 \rightarrow \frac{h}{2}:$$

$$4.17 \quad \Phi(z) = 2\pi\sigma \left(\sqrt{R_2^2 + z^2} - \sqrt{R_1^2 + z^2} \right),$$

$$E_x = E_y = 0, \quad E_z(z) = 2\pi\sigma z \left(\frac{1}{\sqrt{R_1^2 + z^2}} - \frac{1}{\sqrt{R_2^2 + z^2}} \right)$$

$$\text{ա)} \quad \Delta R \ll R_1, \quad \Phi(z) = \frac{2\pi R_1 \sigma \Delta R}{\sqrt{R_1^2 + z^2}}, \quad E_z(z) = \frac{2\pi R_1 \sigma \Delta R z}{(R_1^2 + z^2)^{3/2}}:$$

p) $R_1 \rightarrow 0$, $\varphi(z) = 2\pi\sigma \left(\sqrt{R_2^2 + z^2} - |z| \right)$,

$$E_z(z) = 2\pi\sigma \left(\frac{z}{|z|} - \frac{z}{\sqrt{R_2^2 + z^2}} \right);$$

q) $R_1 \rightarrow 0$, $R_2 \rightarrow \infty$, $E_z(z) = 2\pi\sigma \frac{z}{|z|}$:

4.18 z առանքն ուղղենք օղակի համաշափության առանցքով, սկզբնակետը ընտրենք օղակի կենտրոնը. իսկ առանցքներն ուղղենք այնպես, որ $+q$ լիցքով կիսողակը գրավի $y > 0$ տիրույթը. Օղակի պոտենցիալը տարածության (x, y, z) կետում հավասար կլինի՝

$$\varphi(x, y, z) = \frac{q}{\pi} \left\{ \int_0^\pi \frac{d\alpha}{\sqrt{(x - R \cos \alpha)^2 + (y - R \sin \alpha)^2 + z^2}} - \int_{\pi}^{2\pi} \frac{d\alpha}{\sqrt{(x - R \cos \alpha)^2 + (y - R \sin \alpha)^2 + z^2}} \right\};$$

Օղակի առանցքն մոտ կետերում $x, y \ll R$: Ենթադրալ արտահայտությունը շարքի վերլուծելով ըստ x -ի և y -ի և սահմանափակվելով առաջին կարգի անդամներով, կտանանք

$$\varphi = \frac{4qRy}{\pi(R^2 + z^2)^{3/2}},$$

որտեղիս՝

$$E_x = 0, \quad E_y = -\frac{4qR}{\pi(R^2 + z^2)^{3/2}}, \quad E_z = \frac{12qRyz}{\pi(R^2 + z^2)^{5/2}};$$

$|z| \gg R$ դեպքում ստանում ենք՝ $\varphi = 4qRy/\pi z^3$, այսինքն մեծ հեռավորությունների վրա օղակը համարժեք է $p = 4qR\hat{e}_y/\pi$ մոմենտով էլեկտրական դիպոլի:

4.19 Կոորդինատական համակարգի Z առանցքը ընտրենք օղակի հարթությանն ուղղահայաց, այնպես, որ սկզբնակետը գտնվի օղակի կենտրոնում: Լիցքավորված համակարգի զլանային համաշափությունից հետևում է, որ φ պոտենցիալը կախված չէ դիտման կետի և զլանային կոորդինատից: Նշանակում է, առանց ընդհանրությունը խախտելու, դիտման կետը կարելի է ընտրել XOZ հարթության մեջ,

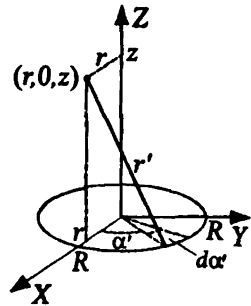
զլանային համակարգի (r, θ, z) կետում:
Օղակի $dl' = R d\alpha'$ տարրի պոտենցիալն
այդ կետում կլինի՝

$$d\phi = \frac{q}{2\pi} \frac{d\alpha'}{r'},$$

որտեղ

$$r' = \sqrt{R^2 + r^2 + z^2 - 2Rr \cos \alpha'} :$$

Օղակի պոտենցիալը դիտման կետում
կլինի



$$\phi(r, z) = \frac{q}{\pi} \int_0^{\pi} \frac{d\alpha'}{\sqrt{R^2 + r^2 + z^2 - 2Rr \cos \alpha'}} : \quad (1)$$

Ընդհանուր դեպքում (1) ինտեգրալը տարրական ֆունկցիաների
միջոցով չի արտահայտվում: Այն կարելի է ներկայացնել

$$\chi(k) = \int_0^{\pi/2} \frac{d\psi}{\sqrt{1 - k^2 \sin^2 \psi}}$$

առաջին սեռի լրիվ էլիպտական ինտեգրալի միջոցով (տե՛ս հավել-
վածի (<3.) բանաձևը): Խսկապես, կատարելով $\alpha' = \pi - 2\psi$ փոփո-
խականի փոխարինում (1)-ը կարող ենք ներկայացնել

$$\phi(r, z) = \frac{2q}{\pi \sqrt{(r+R)^2 + z^2}} \int_0^{\pi/2} \frac{d\psi}{\sqrt{1 - k^2 \sin^2 \psi}} \quad (2)$$

տեսքով, որտեղ

$$k^2 = \frac{4Rr}{(r+R)^2 + z^2} :$$

Արդյունքում՝ սկայար պոտենցիալի համար կստանանք՝

$$\phi(r, z) = \frac{qk}{\pi \sqrt{Rr}} \chi(k) : \quad (3)$$

Ելեկտրական դաշտի E լարվածությունը հաշվելու համար
կօգտվենք

$$\frac{\partial \chi}{\partial k} = \frac{\mathcal{E}(k)}{k(1-k^2)} - \frac{\chi(k)}{k} \quad (4)$$

առնչությունից, որտեղ

$$\mathcal{E}(k) = \int_0^{\pi/2} \sqrt{1 - k^2 \sin^2 \psi} d\psi$$

մնածությունը երկրորդ սերի լրիվ էլիպտական ինտեգրալն է՝ (Հ.4):
Օգտվելով պոտենցիալի (3) արտահայտությունից և հաշվի առ-
նելով (4)-ը, կստանանք՝

$$\begin{aligned} E_r(r, z) &= -\frac{\partial \Phi}{\partial r} = \frac{qk}{2\pi r \sqrt{Rr}} \left\{ \mathcal{K}(k) - \frac{R^2 + z^2 - r^2}{(R-r)^2 + z^2} \mathcal{E}(k) \right\}, \\ E_\alpha &= -\frac{1}{r} \frac{\partial \Phi}{\partial \alpha} = 0, \\ E_z &= -\frac{\partial \Phi}{\partial z} = \frac{qk}{\pi \sqrt{Rr}} \frac{z}{(R-r)^2 + z^2} \mathcal{E}(k); \end{aligned} \quad (5)$$

Օղակի առանցքին մոտ կետերում դաշտը որոշելու համար (5)
արտահայտությունները կարելի են շարքի վերլուծել ըստ k փոքր
պարամետրի: Մենք ավելի նպատակահարմար ենք համարում
պոտենցիալի (1) արտահայտությունը շարքի վերլուծել ըստ
 $r/\sqrt{R^2 + z^2} \ll 1$ պարամետրի՝

$$\Phi(r, z) = \frac{q}{\sqrt{R^2 + z^2}} \left(1 + \frac{R^2 - 2z^2}{4(R^2 + z^2)^2} r^2 \right);$$

E դաշտի համար այս դեպքում կունենանք՝

$$\begin{aligned} E_r(r, z) &= -\frac{q(R^2 - 2z^2)}{2(R^2 + z^2)^{3/2}} r, \\ E_z(r, z) &= \frac{qz}{(R^2 + z^2)^{3/2}} \left[1 - \frac{3}{4} \frac{3R^2 - 2z^2}{(R^2 + z^2)^2} r^2 \right]. \end{aligned}$$

- 4.20** ա) $\sigma = a/2\pi$ մակերևությաին խտությամբ լիցքը բաշխված է XOY
հարթության վրա:
բ) $\sigma = q/4\pi R^2$ մակերևությաին խտությամբ լիցքը բաշխված է R
շառավղով զնդային մակերևություն:
գ) $s = q/2\pi R^2$ մակերևությաին խտությամբ լիցքը բաշխված է R
շառավղով անվերջ զլանային մակերևություն:

4.21 $\rho(r) = e\delta(r) - (e/\pi a^3)e^{-2r/a}$: e կետային լիցքը գտնվում է կոռորդինատական համակարգի սկզբնակետում, իսկ նրա շուրջը $\rho(r) = -(e/\pi a^3)e^{-2r/a}$ տարածական խոռոչյամբ հոծ բաշխված է $-e$ լիցքը:

$$4.22 \text{ a)} W = \frac{3}{5} \frac{q^2}{R}, \quad \text{b)} W = \frac{1}{2} \frac{q^2}{R};$$

$$4.23 W_{\Phi_{\text{պա}}^2} = \frac{q_1 q_2}{a}$$

4.26 Հաղորդիչ գնդային մակերևույթներին մակածված q_1, q_2 լիցքերը չեն փոխվի, եթե q կետային լիցքի փոխարեն դիտարկենք R շառավղով գնդային մակերևույթով հավասարաչափ բաշխված q լիցք: Ստացված նոր համակարգը ունի լրիվ կենտրոնական համաշափություն և նրա պոտենցիալը գտնելու խնդիրը դժվարություն չի ներկայացնում: Օգտվելով

$$\phi(R_1) = 0, \quad \phi(R_2) = 0$$

պայմաններից, կստանանք

$$q_1 = -\frac{R_1(R_2-R)}{R(R_2-R_1)}q, \quad q_2 = -\frac{R_2(R-R_1)}{R(R_2-R_1)}q;$$

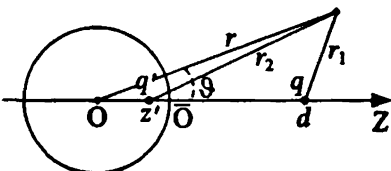
Նկատենք, որ

$$q_1 + q_2 = -q;$$

$$4.27 \quad q_1 = -\left(1 - \frac{l}{d}\right)q, \quad q_2 = -\frac{l}{d}q,$$

որտեղ q_1 -ը q լիցքից l հեռավորության վրա գտնվող հարթության վրա մակածված լիցքն է:

4.28 Գնդային կոռորդինատական համակարգի սկզբնակետն ընտրենք գնդի կենտրոնում, իսկ OZ թևուային առանցքն ուղղենք q լիցքի ուղղությամբ: Խնդրի գլանային համաշափությունից հետևում է, որ ար-



դյունքը կախված չի լինի α -լայնական անկյունից: Խնդիրը լուծենք արտապոլման մեթոդով: Գտնենք այնպիսի $\phi_0(r, \theta)$ ֆունկցիա, որը գնդից դուրս տիրույթում բավարարի Պուասոնի հավասարմանը, իսկ գնդի մակերևույթի վրա $\phi_0(r, \theta) = 0$ եզրային պայ-

մանին: Ելեկտրաստատիկայի եզրային խնդրի լուծման միարժեքության շնորհիվ այն կենհի տվյալ խնդրի լուծումը: Խնշվես ցույց է տրված (4.16) խնդրի լուծման մեջ, երկու տարածուն կետային լիցքերի համակարգի համապոտենցիալ մակերևույթների բվում կա գնդային մակերևույթ, որի վրա $\varphi_R = 0$:

Գնդի կենտրոնը q կետային լիցքին միացնող հատվածի վրա, կենտրոնից $z' < R$ հեռավորության վրա վերցնենք այնպիսի q' պատկեր-լիցք, որ համապոտենցիալ մակերևույթը համընկնի գնդի մակերևույթի հետ: Գնդից դուրս տիրույթում

$$\varphi_0(r, \theta) = \frac{q}{r_1} + \frac{q'}{r_2},$$

որտեղ

$$r_1 = (d^2 + r^2 - 2rd \cos \theta)^{1/2}, \quad r_2 = (z'^2 + r^2 - 2z'r \cos \theta)^{1/2}:$$

Պահանջելով, որ թ-ի բոլոր արժեքների համար բավարարվի $\varphi_0(R, \theta) = 0$ պայմանը, կստանանք՝

$$z' = \frac{R^2}{d}, \quad q' = -\frac{R}{d}q : \quad (1)$$

Այսպիսով՝

$$\varphi_0(r, \theta) = \frac{q}{\sqrt{r^2 + d^2 - 2rd \cos \theta}} - \frac{R}{d} \frac{q}{\sqrt{r^2 + \frac{R^4}{d^2} - 2r \frac{R^2}{d} \cos \theta}} : \quad (2)$$

Լիցքերի σ_0 մակերևութային բաշխումը գնդային մակերևույթի վրա կորոշենք $\sigma_0 = -(1/4\pi)(\partial \varphi_0 / \partial r)|_{r=R}$ սահմանային պայմանից՝

$$\sigma_0(\theta) = -\frac{q(d^2 - R^2)}{R(d^2 + R^2 - 2Rd \cos \theta)^{3/2}} : \quad (3)$$

$\sigma_0(\theta)$ ֆունկցիան բացարձակ արժեքով իր առավելագույն արժեքն ընդունում է $\theta = 0$ դեպքում և թ-ի աճի հետ բայց արժեքով նվազում է: q կետային լիցքի վրա ազդող ուժը հավասար է q և q' լիցքերի փոխազդեցության ուժին՝

$$F_z = \frac{qq'}{(d-z')^2} = -\frac{q^2 R d}{(d^2 - R^2)^2} : \quad (4)$$

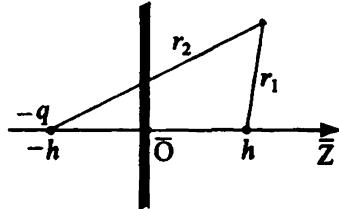
Նկատենք, որ (1)-ը կարելի է արտահայտել գնդի $z=R$ (\bar{O}) կետից q և q' լիցքերի $h = d-R$ և h' բարձրություններով՝

$$h' = \frac{R}{d} h, \quad q' = -\frac{R}{d} q; \quad (5)$$

Եթե $R \rightarrow \infty$ և միաժամանակ $d \rightarrow \infty$, այնպես, որ h -ը մնա վերջավոր, ապա (5)-ից ստանում ենք

$$h' = h, \quad q' = -q;$$

Այս սահմանային դեպքը համապատասխանում է այնպիսի խնդրի, երբ $\bar{z} \leq 0$ կիսատարածությունը լցված է հաղորդիչով և $\bar{z}_0 = h$ հեռավորության վրա տեղափորված է q կետային լիցքը: Այս դեպքում պոտենցիալը ներկայացվում է



$$\Phi_0(x, y, z) = \begin{cases} 0 & (\bar{z} \leq 0), \\ \frac{q}{\sqrt{x^2 + y^2 + (\bar{z}-h)^2}} - \frac{q}{\sqrt{x^2 + y^2 + (\bar{z}+h)^2}} & (\bar{z} > 0): \end{cases}$$

տեսքով:

$$4.29 \quad \varphi(r, \theta) = \varphi_0(r, \theta) + \frac{Q + q \frac{R}{d}}{r}, \quad \sigma(\theta) = \sigma_0(\theta) + \frac{Q + q \frac{R}{d}}{4\pi R^2}; \quad (1)$$

Այստեղ $\varphi_0(r, \theta)$ -ն և $\sigma_0(\theta)$ -ն հոլովակած գնդի պոտենցիալը ու մակերևությային լիցքի բաշխումն են (տես նախորդ խնդիրը):

$$F_z = \frac{q}{d^2} \left[Q - \frac{qR^3(2d^2 - R^2)}{d(d^2 - R^2)^2} \right]; \quad (2)$$

Ստացվածից երևում է, որ $d \gg R$ դեպքում երկրորդ անդամի ներդրումը կարելի է անտեսել: Այս դեպքում ստացվում է երկու կետային լիցքերի փոխազդեցության $F_z = qQ/d^2$ Կովոնի օրենքը: Գնդային մակերևույթի մերձակայքում՝ $h = d - R \ll R$ ($d \approx R$), երկրորդ անդամը գերակշռող է և $F_z = -q^2/(4h^2)$, այսինքն ուժը ձգողական բնույթի է անկախ այն բանից, թե լիցքերը նույնանուն են, թե տարանուն:

Միաժամանակ (2)-ից բխում է, որ Q և q նույնանուն լիցքերի համակարգի համար գոյություն ունի այնպիսի d_0 հեռավորություն, որի դեպքում ուժը հավասար է զրոյի: $d > d_0$ դեպքում լիցքը վանվում է նույնանուն լիցքով գնդից ($F_z > 0$), իսկ $d < d_0$ դեպքում՝ ճգվում նույնանուն լիցքով գնդի կողմից ($F_z < 0$):

4.30 Ենթադրենք գնդի կենտրոնը գտնվում է կոորդինատական համակարգի սկզբնակետում, իսկ OZ առանցքը ուղղված է E_0 դաշտով: Համասեռ դաշտը կարելի է նույնացնել անվերջ հեռվում գտնվող դրական և բացասական լիցքերի էլեկտրաստատիկ դաշտի հետ: Խսկապես, եթե q և $-q$ լիցքերը գտնվում են $z = -d$ և $z = d$ կետերում, ապա կոորդինատների սկզբնակետում $z \ll d$ չափերով տիրույթում էլեկտրական դաշտը համարյա հաստատուն է, ունի $E_0 = 2q/d^2$ լարվածություն և նրա ուժազները համարյա զուգահեռ են առանցքին: $d \rightarrow \infty$, $q \rightarrow \infty$, $q/d^2 = \text{const}$ սահմանում դաշտը ճշգրտորեն կարելի է հաստատուն և համասեռ համարել: Համաձայն 4.24 խնդրի $z = d$ կետում տեղավորված $-q$ լիցքի $q_1 = qR/d$ պատկեր լիցքը գտնվում է $z_1 = R^2/d$ կետում, իսկ $z = -d$ կետում տեղավորված q լիցքի $q_2 = -qR/d$ պատկեր լիցքը՝ $z_2 = R^2/d$ կետում:

$P(r, \vartheta)$ կետում պոտենցիալը հավասար է՝

$$\Phi(r, \vartheta) = -\frac{q}{r_1} + \frac{q_1}{r'_1} + \frac{q}{r_2} + \frac{q_2}{r'_2} = -\frac{q}{r_1} + \frac{R}{d} \frac{q}{r'_1} + \frac{q}{r_2} - \frac{R}{d} \frac{q}{r'_2},$$

որտեղ

$$r_1 = (d^2 + r^2 - 2rd \cos \vartheta)^{1/2}, \quad r_2 = (d^2 + r^2 + 2rd \cos \vartheta)^{1/2},$$

$$r'_1 = \left(\frac{R^4}{d^2} + r^2 - \frac{2rR^2}{d} \cos \vartheta \right)^{1/2} \quad r'_2 = \left(\frac{R^4}{d^2} + r^2 + \frac{2rR^2}{d} \cos \vartheta \right)^{1/2}$$

Հաշվի առնելով, որ համաձայն վերևում արված ենթադրության $d \gg r$, ստացված արտահայտությունը կարող ենք շարքի վերլուծել ըստ R^2/rd փոքր մեծության, որից հետո, հիշելով, որ $2q/d^2 = E_0$, կստանանք

$$\Phi(r, \vartheta) = -E_0 \left(r - \frac{R^3}{r^2} \right) \cos \vartheta :$$

Այստեղ $-E_0 r \cos \vartheta = -E_0 z$ անդամը E_0 համասեռ դաշտի պոտենցիալն է: Երկրորդ գումարելին պատկեր լիցքերի, կամ, որ նույնն է՝ գնդի մակերևույթին մակածված $\sigma(r, \vartheta)$ խտությամբ լիցքի ստեղծած պոտենցիալն է:

$$\sigma(r, \theta) = -\frac{1}{4\pi} \frac{\partial \Phi}{\partial r} \Big|_{r=R} = \frac{3}{4\pi} E_0 \cos \theta :$$

$$4.33 \quad W = -q \frac{\mathbf{p} \cdot \mathbf{R}}{R^3}, \quad (\mathbf{R} = \mathbf{r}_2 - \mathbf{r}_1),$$

$$\mathbf{F} = q \left[\frac{\mathbf{p}}{R^3} - \frac{3(\mathbf{p} \cdot \mathbf{R})\mathbf{R}}{R^5} \right], \quad \mathbf{K} = q \frac{\mathbf{p} \times \mathbf{R}}{R^3} :$$

4.34 Դիցուք \mathbf{p}_1 դիպոլը գտնվում է կոորդինատական համակարգի սկզբնակետում: \mathbf{p}_2 դիպոլը պատկերացնենք որպես $+e$ և $-e$ երկու լիցքերի համակարգ, որոնք գտնվում են, համապատասխանաբար, $r_0 + p_2/2e$ և $r_0 - p_2/2e$ կետերում, ընդ որում $e \rightarrow \infty$: \mathbf{p}_1 դիպոլի ստեղծած էլեկտրաստատիկ դաշտի լարվածությունը r_0 կետում նշանակելով $E_1(r)$ -ով, \mathbf{p}_2 դիպոլի վրա ազդող ուժը կզրնենք այսպես

$$\mathbf{F}_2 = \lim_{e \rightarrow \infty} \left[e \mathbf{E}_1 \left(\mathbf{r}_0 + \frac{\mathbf{p}_2}{2e} \right) - e \mathbf{E}_1 \left(\mathbf{r}_0 - \frac{\mathbf{p}_2}{2e} \right) \right] :$$

Օգտվելով \mathbf{E}_1 ֆունկցիայի

$$\mathbf{E}_1 \left(\mathbf{r}_0 \pm \frac{\mathbf{p}_2}{2e} \right) = \mathbf{E}_1(\mathbf{r}_0) \pm \frac{1}{2e} (\mathbf{p}_2 \cdot \nabla_{\mathbf{r}_0}) \mathbf{E}_1(\mathbf{r}_0) + o \left(\frac{p_2^2}{e^2 r_0^2} \right)$$

վերլուծությունից ըստ $\mathbf{p}_2/e r_0$ անվերջ փոքր մեծության, կունենանք՝

$$\mathbf{F}_2 = (\mathbf{p}_2 \cdot \nabla_{\mathbf{r}_0}) \mathbf{E}_1(\mathbf{r}_0) :$$

Հիշելով, որ $\mathbf{E}_1(\mathbf{r}) = (3\mathbf{r}_0(\mathbf{p}_1 \cdot \mathbf{r}_0) - \mathbf{p}_1 r_0^2)/r_0^5$ (տես խնդիր 2.20), դիպոլի վրա ազդող ուժի համար կստանանք

$$\begin{aligned} \mathbf{F}_2 &= -\mathbf{F}_1 = \frac{3}{r_0^7} \{ -5\mathbf{r}_0(\mathbf{p}_1 \cdot \mathbf{r}_0)(\mathbf{p}_2 \cdot \mathbf{r}_0) + \\ &+ r_0^2 [\mathbf{p}_2(\mathbf{p}_1 \cdot \mathbf{r}_0) + \mathbf{p}_1(\mathbf{p}_2 \cdot \mathbf{r}_0) + \mathbf{r}_0(\mathbf{p}_2 \cdot \mathbf{p}_1)] \} \end{aligned}$$

\mathbf{p}_2 դիպոլի վրա ազդող ուժի մոմենտը այդ դիպոլի երկրաչափական կենտրոնի նկատմամբ (\mathbf{r}_0 վեկտորով բնութագրվող կետը) կորոշվի

$$\mathbf{K}_2 = \lim_{e \rightarrow \infty} \left[e \frac{\mathbf{p}_2}{2e} \times \mathbf{E}_1 \left(\mathbf{r}_0 + \frac{\mathbf{p}_2}{2e} \right) + (-e) \left(-\frac{\mathbf{p}_2}{2e} \right) \times \mathbf{E}_1 \left(\mathbf{r}_0 - \frac{\mathbf{p}_2}{2e} \right) \right]$$

առնչությունից, որտեղից՝

$$\mathbf{K}_2 = \mathbf{p}_2 \times \mathbf{E}_1(r_0) = \frac{3(\mathbf{p}_2 \times \mathbf{r}_0)(\mathbf{p}_1 \cdot \mathbf{r}_0) - (\mathbf{p}_2 \times \mathbf{p}_1)r_0^2}{r_0^5}:$$

Նման ձևով կստանան՝

$$\mathbf{K}_1 = \frac{3(\mathbf{p}_1 \times \mathbf{r}_0)(\mathbf{p}_2 \cdot \mathbf{r}_0) - (\mathbf{p}_1 \times \mathbf{p}_2)r_0^2}{r_0^5}:$$

4.35 Օգտվելով \mathbf{p} տարրական դիպոլի պոտենցիալի $\phi = \mathbf{p} \cdot \mathbf{r} / r^3$ արտահայտությունից և վերադրման սկզբունքից, կստանանք

$$\phi(\mathbf{r}) = \int_V \frac{\mathbf{P}(\mathbf{r}') \cdot (\mathbf{r} - \mathbf{r}')}{|\mathbf{r} - \mathbf{r}'|^3} dV',$$

որտեղ ինտեգրումը կատարվում է ըստ գնդի V ծավալի: Օգտվելով Գաուս-Օստրոգրադսկով թեորեմից և $\mathbf{P} = \text{const}$ պայմանից $\phi(\mathbf{r})$ -ը կմերկայացնենք մակերևութային ինտեգրալի տեսքով՝

$$\phi(\mathbf{r}) = \oint_S \frac{\mathbf{P} \cdot d\mathbf{S}}{|\mathbf{r} - \mathbf{r}'|} = \oint_S \frac{P \cos \theta dS}{|\mathbf{r} - \mathbf{r}'|}:$$

Այստեղ ինտեգրումը կատարվում է ըստ R շառավղով գնդային մակերևույթի, իսկ z առանցքն ուղղված է \mathbf{P} վեկտորի ուղղությամբ: Փաստորեն $\phi(\mathbf{r})$ -ը $\sigma(\theta) = P \cos \theta$ մակերևութային խտությամբ լիցքերի բաշխումով գնդային մակերևույթի պոտենցիալն է: Համաձայն 4.14 խնդրի

$$\phi(r, \theta) = \begin{cases} \frac{4\pi P}{3} r \cos \theta & (r \leq R), \\ \frac{4\pi PR^3}{3r^2} \cos \theta & (r \geq R): \end{cases}$$

Գնդից դուրս ($r \geq R$) դաշտը համընկնում է գնդի կենտրոնում տեղադրված $\mathbf{p} = (4\pi R^3/3)\mathbf{P}$ մոմենտով տարրական դիպոլի դաշտի հետ:

$$4.36 \quad \mathbf{E} = \frac{3\mathbf{E}_0}{\varepsilon + 2}, \quad \mathbf{P} = \frac{3}{4\pi} \mathbf{E}_0 \frac{\varepsilon - 1}{\varepsilon + 2}:$$

$$4.37 \quad \mathbf{E}' = \mathbf{E} + \frac{4\pi}{3} \mathbf{P} = \frac{\varepsilon + 2}{3} \mathbf{E},$$

որտեղ \mathbf{E} -ն արտաքին դաշտն է դիլեկտրիկի ներսում, \mathbf{P} -ն էլեկտրական թեուայման վեկտորը:

4.38

$$C = \left[\frac{1}{\varepsilon_1} \left(\frac{1}{R_1} - \frac{1}{R} \right) + \frac{1}{\varepsilon_2} \left(\frac{1}{R} - \frac{1}{R_2} \right) \right]^{-1}$$

Կապված լիցքերը կուտակվում են դիէլեկտրիկի այն մասերում, որտեղ անհամասեռություններ կան, այսինքն կոնդենսատորի թիթեղների հետ հպման մակերևույթներին ($r = R_1$, $r = R_2$) և բաժանման սահմանի վրա ($r = R$)

$$\sigma_{\text{կապ}}^{(R_1)} = -\frac{q(\varepsilon_1 - 1)}{4\pi R_1^2 \varepsilon_1}, \quad \sigma_{\text{կապ}}^{(R_2)} = \frac{q(\varepsilon_2 - 1)}{4\pi R_2^2 \varepsilon_2}, \quad \sigma_{\text{կապ}}^{(R)} = \frac{q}{4\pi R^2} \left(\frac{1}{\varepsilon_2} - \frac{1}{\varepsilon_1} \right);$$

Այստեղ q -ն ներքին շրջադիրի լիցքն է:

Գումարային կապված լիցքի համար կունենանք՝

$$q_{\text{կապ}} = \sigma_{\text{կապ}}^{(R_1)} \cdot 4\pi R_1^2 + \sigma_{\text{կապ}}^{(R_2)} \cdot 4\pi R_2^2 + \sigma_{\text{կապ}}^{(R)} \cdot 4\pi R^2 = 0;$$

4.39 Որևէ միջավայրում E դաշտը այդ միջավայրում q կետային լիցքի և դիէլեկտրիկի սահմանի վրա մակածված մակերևութային լիցքերի ստեղծած դաշտերի գումարն է՝

$$E_{1,2} = \frac{1}{\varepsilon_{1,2}} \frac{qr}{r^3} + E_{1,2}^{(0)}$$

Ցույց տանք, որ այս դեպքում մակերևութային կապված լիցքը կետային է և գտնվում է q կետային լիցքի անմիջական շրջակայրում: D վեկտորի ուղղահայաց բաղադրիչի անընդհատության պայմանից հարթության բոլոր կետերում, բացառությամբ $r = 0$ կետի, $D_{1n}(z = 0) = D_{2n}(z = 0)$ կամ $\varepsilon_1 E_{1n}(z = 0) = \varepsilon_2 E_{2n}(z = 0)$: Դիէլեկտրիկների բաժանման $z = 0$ հարթության $r \hat{\tau}$ կետում, որտեղ $\hat{\tau}$ -ն այդ հարթության մեջ ընկած միավոր վեկտորն է, ունենք

$$E_1(r\hat{\tau}) = \frac{q\hat{\tau}}{\varepsilon_1 r^2} + E_1^{(\sigma)}(r\hat{\tau}), \quad E_2(r\hat{\tau}) = \frac{q\hat{\tau}}{\varepsilon_2 r^2} + E_2^{(\sigma)}(r\hat{\tau}):$$

Այնպիս, որ $E_{1n} = E_{1n}^{(\sigma)}$, $E_{2n} = E_{2n}^{(\sigma)}$: Դիէլեկտրիկների հարթ սահմանի մոտ կապված լիցքերի կողմից ստեղծված դաշտը կլինի՝

$$E_1^{(\sigma)}(r\hat{\tau}) = -2\pi\sigma' \hat{n}, \quad E_2^{(\sigma)}(r\hat{\tau}) = 2\pi\sigma' \hat{n},$$

որտեղ σ' -ը կապված լիցքերի մակերևութային խտությունն է $r\hat{\tau}$ կետում: Հաշվի առնելով վերջինս, D վեկտորի ուղղահայաց բաղադրիչների անընդհատության պայմանը կզննենք այսպես՝

$$-\varepsilon_1 2\pi\sigma' = \varepsilon_2 2\pi\sigma',$$

որտեղից կիետնի, որ բաժանման սահմանի բոլոր կետերում, բայց պուրաբանը $z = 0$ կետի, $\sigma' = 0$:

Այսպիսով, կապված լիցքերը մակածվում են զ կետային լիցքի անմիջական շրջակայրում: Հետևաբար, ստեղծված դաշտը կունենա կենտրոնական համաչափություն: Որպես ինտեգրման մակերնույթ վերցնենք գնդային մակերևույթ, որի կենտրոնը համընկնում է զ կետային լիցքի հետ: Օգտվելով Գառւ-Օստրոգրադսկու թեորեմից, կունենանք՝

$$2\pi r^2 D_1 + 2\pi r^2 D_2 = 4\pi q: \quad (1)$$

Բայի այդ E վեկտորի շոշափող բաղադրիչների անընդհատության պայմանի համաձայն՝ $E_{1r} = E_{2r}$, կամ $D_{1r}/\epsilon_1 = D_{2r}/\epsilon_2$: Հաշվի առնելով, որ բաժանման սահմանի վրա D վեկտորն ունի շոշափողի ուղղություն ($D_r = D$) կատանանք

$$\epsilon_2 D_1 = \epsilon_1 D_2: \quad (2)$$

(1) և (2) հավասարությունների համատեղ լուծումը տալիս է D_1 և D_2 մեծությունները

$$D_1 = \frac{2q\epsilon_1}{\epsilon_1 + \epsilon_2} \frac{r}{r^3}, \quad D_2 = \frac{2q\epsilon_2}{\epsilon_1 + \epsilon_2} \frac{r}{r^3}:$$

Դաշտի լարվածությունը երկու միջավայրերում էլ կորոշվի

$$E = \frac{2}{\epsilon_1 + \epsilon_2} \frac{qr}{r^3}$$

առնչությամբ: Պոտենցիալի համար կունենանք՝

$$\Phi = \frac{2}{\epsilon_1 + \epsilon_2} \frac{q}{r}:$$

$$4.40 \quad \Phi = \frac{2}{\epsilon_1 + \epsilon_2} \frac{q}{r},$$

$$\sigma_1 = \frac{q\epsilon_1}{2\pi a^2(\epsilon_1 + \epsilon_2)}, \quad \sigma_2 = \frac{q\epsilon_2}{2\pi a^2(\epsilon_1 + \epsilon_2)},$$

$$\sigma_{1\text{կապ}} = -\frac{q(\epsilon_1 - 1)}{2\pi a^2(\epsilon_1 + \epsilon_2)}, \quad \sigma_{2\text{կապ}} = -\frac{q(\epsilon_2 - 1)}{2\pi a^2(\epsilon_1 + \epsilon_2)}:$$

Գումարային կապված լիցքը կլինի

$$q_{\text{կապ}} = -q(1 - 2/(\epsilon_1 + \epsilon_2)),$$

ինչը համընկնում է նախորդ խնդրի արդյունքի հետ:

4.41 Օգտվենք արտապոլման մեթոդից: Պոտենցիալը առաջին միջավայրում, որտեղ q լիցքն է, փնտրենք

$$\Phi_1 = \frac{q}{\epsilon_1 r_1} + \frac{\alpha q}{\epsilon_1 r_2} \quad (1)$$

տեսքով, իսկ երկրորդ միջավայրում՝

$$\Phi_2 = \frac{\beta q}{\epsilon_2 r_1} \quad (2)$$

տեսքով, որտեղ α և β -ն հաստատուններ են,

$$r_1 = \sqrt{x^2 + y^2 + (z - a)^2}, \quad r_2 = \sqrt{x^2 + y^2 + (z + a)^2}$$

α և β հաստատունները կորոշվեն

$$E_{1x} = E_{2x}, \quad D_{1x} = D_{2x} \quad (3)$$

սահմանային պայմաններից:

(1)-ի և (2)-ի օգնությամբ հաշվենք դաշտերի լարվածություններն ու ինդուկցիաները՝

$$\mathbf{E}_1 = -\nabla \Phi_1 = \frac{qr_1}{\epsilon_1 r_1^3} + \frac{\alpha qr_2}{\epsilon_1 r_2^3}, \quad \mathbf{E}_2 = -\nabla \Phi_2 = \frac{\beta qr_1}{\epsilon_2 r_1^3},$$

$$\mathbf{D}_1 = \epsilon_1 \mathbf{E}_1, \quad \mathbf{D}_2 = \epsilon_2 \mathbf{E}_2:$$

(3) պայմաններից α -ի և β -ի համար կունենանք

$$\alpha = \frac{\epsilon_1 - \epsilon_2}{\epsilon_1 + \epsilon_2}, \quad \beta = \frac{2\epsilon_2}{\epsilon_1 + \epsilon_2},$$

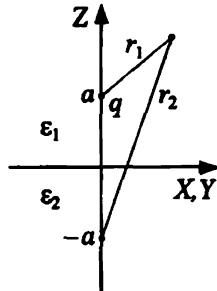
որոնք տեղադրելով (1) և (2)-ի մեջ, կստանանք պոտենցիալները երկու միջավայրերում՝

$$\varphi(x, y, z) = \begin{cases} \frac{q}{\epsilon_1 r_1} + \frac{\epsilon_1 - \epsilon_2}{\epsilon_1 + \epsilon_2} \frac{q}{\epsilon_1 r_2} & (z \geq 0), \\ \frac{2}{\epsilon_1 + \epsilon_2} \frac{q}{r_1} & (z \leq 0): \end{cases}$$

Բաժանման $z = 0$ հարթության վրա կապված լիցքի բաշխումը կլինի՝

$$\sigma_{\text{լիցք}} = P_{2z} - P_{1z} = \frac{1}{4\pi} \left(\frac{\partial \varphi_2}{\partial z} - \frac{\partial \varphi_1}{\partial z} \right)_{z=0} = \frac{qa}{2\pi r^3} \frac{\epsilon_1 - \epsilon_2}{\epsilon_1 (\epsilon_1 + \epsilon_2)},$$

որտեղ $r = \sqrt{x^2 + y^2 + a^2}:$



Գումարային կապված լիցքը նույն հարթության մեջ՝

$$q_{\text{կապ}}^{(\text{մակ})} = \frac{q(\varepsilon_1 - \varepsilon_2)}{\varepsilon_1(\varepsilon_1 + \varepsilon_2)} :$$

զ լիցքի գտնվելու տեղում առաջացած կապված լիցքը կլինի՝

$$q_{\text{կապ}}^{(\text{կետ})} = - \int \operatorname{div} \mathbf{P} dV = - \int \operatorname{div} \left(\frac{\varepsilon_1 - 1}{\varepsilon_1} \mathbf{D}_1 \right) dV = - \frac{\varepsilon_1 - 1}{\varepsilon_1} q$$

Ամրող կապված լիցքի համար կատանանք

$$q_{\text{կապ}} = q_{\text{կապ}}^{(\text{մակ})} + q_{\text{կապ}}^{(\text{կետ})} = -q \left(1 - \frac{2}{\varepsilon_1 + \varepsilon_2} \right),$$

որը համընկնում է (4.39) խնդրի դեպքում $\varepsilon_1, \varepsilon_2$ քափանցելու-
թյուններով միջավայրերի հարթ սահմանի վրա գտնվող զ կետային
լիցքի մակածած կապված լիցքի հետ:

4.42 $\varphi_1(\mathbf{r})$ և $\varphi_2(\mathbf{r})$ պոտենցիալները բավարարում են

$$\operatorname{div}(\varepsilon \operatorname{grad} \varphi_1(\mathbf{r})) = -4\pi e \delta(\mathbf{r} - \mathbf{r}_1),$$

$$\operatorname{div}(\varepsilon \operatorname{grad} \varphi_2(\mathbf{r})) = -4\pi e \delta(\mathbf{r} - \mathbf{r}_2)$$

հավասարումներին, որտեղ ε -ը միջավայրի դիէլեկտրական քա-
փանցելիությունն է: Առաջին հավասարումը բազմապատկենք
 $\varphi_2(\mathbf{r})$ -ով, երկրորդը $\varphi_1(\mathbf{r})$ -ով և իրարից հանենք. կատանանք՝

$$\begin{aligned} \operatorname{div}(\varepsilon \varphi_2 \nabla \varphi_1) - \operatorname{div}(\varepsilon \varphi_1 \nabla \varphi_2) &= \\ &= 4\pi e [\varphi_1(\mathbf{r}) \delta(\mathbf{r} - \mathbf{r}_2) - \varphi_2(\mathbf{r}) \delta(\mathbf{r} - \mathbf{r}_1)] : \end{aligned}$$

Այս հավասարումն ինտեգրենք ըստ ամրող տարածության և հաշ-
վի առնենք, որ կետային լիցքերի դաշտուն անվերջում ձգում է
զրոյի: Կատանանք՝ $\varphi_1(\mathbf{r}_2) = \varphi_2(\mathbf{r}_1)$:

4.43 Ենթադրենք \mathbf{E} -ն և \mathbf{D} -ն դաշտերն են մինչև դիէլեկտրիկ մտցնելը,
իսկ \mathbf{E}' -ը և \mathbf{D}' -ը հետո: Դաշտի ենթօքիայի փոփոխությունը կլինի

$$\delta W = \frac{1}{8\pi} \int (\mathbf{E}' \cdot \mathbf{D}' - \mathbf{E} \cdot \mathbf{D}) dV, \quad (1)$$

որտեղ ինտեգրումը կատարվում է ըստ ամրող տարածության:

Ցույց տանք, որ $\int \mathbf{E} \cdot \mathbf{D} dV = \int \mathbf{E}' \cdot \mathbf{D}' dV$: Իսկապես, օգտագործենք
Գաուս-Օստոգրուադսկով թեորեմը, կունենանք՝

$$\begin{aligned}
\int_V \mathbf{E} \cdot (\mathbf{D} - \mathbf{D}') dV &= - \int_V \operatorname{grad} \varphi \cdot (\mathbf{D} - \mathbf{D}') dV = \\
&= - \int_V \operatorname{div}[\varphi(\mathbf{D} - \mathbf{D}')] dV + \int_V \varphi \operatorname{div}(\mathbf{D} - \mathbf{D}') dV = \\
&= - \oint_S \varphi(\mathbf{D} - \mathbf{D}') \cdot d\mathcal{S} + \int_V \varphi \operatorname{div}(\mathbf{D} - \mathbf{D}') dV = 0:
\end{aligned}$$

Քանի որ առաջին ինտեգրումը կատարվում է ըստ անվերջ հեռացված մակերևույթի, իսկ լիցքերի բաշխումը երկու դեպքում էլ նույնն է, ապա $\operatorname{div} \mathbf{D} = \operatorname{div} \mathbf{D}'$: Նման ձևով կարելի է ցույց տալ, որ

$$\int \mathbf{E}' \cdot \mathbf{D}' dV = \int \mathbf{E}' \cdot \mathbf{D} dV:$$

Օգտվելով այս առնչություններից (1)-ը կօրենք այսպես

$$\delta W = \frac{1}{8\pi} \int (\mathbf{E}' \cdot \mathbf{D} - \mathbf{E} \cdot \mathbf{D}') dV = - \frac{1}{8\pi} \int (\epsilon' - \epsilon) \mathbf{E}' \cdot \mathbf{E} dV:$$

Քանի որ զրոյական մոտավորությամբ $\mathbf{E}' = \mathbf{E}$, ապա դիելեկտրիկ քափանցելիության ճեղքը $\delta \epsilon = \epsilon' - \epsilon$ անվերջ փոքր փոփոխության դեպքում էներգիայի փոփոխությունը առաջին մոտավորությամբ կլինի

$$\delta W = - \frac{1}{8\pi} \int \delta \epsilon \mathbf{E}^2 dV:$$

4.41 Ենթադրենք V_0 -ն հաղորդչի գրադիենտած տիրույթն է, իսկ V_1 -ը՝ հաղորդչից դուրս գտնվող տիրույթը: Ինչպես նախորդ խնդրում, էներգիայի փոփոխությունը կլինի՝

$$\delta W = \frac{1}{8\pi} \int (\mathbf{E}' \cdot \mathbf{D}' - \mathbf{E} \cdot \mathbf{D}) dV:$$

Հաշվի առնելով, որ հաղորդչի ներսում ($\mathbf{r} \in V_0$) $\mathbf{E}' = \mathbf{D}' = 0$, կունենանք՝

$$\delta W = \frac{1}{8\pi} \int_{V_1} (\mathbf{E}' \cdot \mathbf{D}' - \mathbf{E} \cdot \mathbf{D}) dV - \frac{1}{8\pi} \int_{V_1} \mathbf{E} \cdot \mathbf{D} dV$$

V_1 ծավալի համար կիրառելով Գաուս-Օստրօնադակու թեորեմը, հաշվենք հետևյալ ինտեգրալը՝

$$\begin{aligned}
\int_{V_1} \mathbf{E}' \cdot (\mathbf{D}' - \mathbf{D}) dV &= - \int_{V_1} \operatorname{grad} \varphi' \cdot (\mathbf{D}' - \mathbf{D}) dV = \\
&= - \oint_{S_1} \varphi'(\mathbf{D}' - \mathbf{D}) \cdot d\mathcal{S} - \oint_{S_2} \varphi'(\mathbf{D}' - \mathbf{D}) \cdot d\mathcal{S} + \int_{V_1} \varphi' \operatorname{div}(\mathbf{D}' - \mathbf{D}) dV = 0:
\end{aligned}$$

Նշենք, որ առաջին ինտեգրալը հավասար է զրոյի, քանի որ հաղորդչի S_0 մակերևույթի վրա $\phi' = \text{const}$, իսկ հաղորդչի լրիվ լիցքը հավասար է զրոյի: Երկրորդ ինտեգրումը զրոյի է բերում, քանի որ կատարվում է անվերջ հեռացված մակերևույթով, երրորդը՝ որովհետև լիցքնի տեղաշարժ տեղի չի ունեցել ($\text{div} \mathbf{D} = \text{div} \mathbf{D}'$): Այսպիսով՝

$$\int_{V_1} \mathbf{E}' \cdot \mathbf{D}' dV = \int_{V_1} \mathbf{E}' \cdot \mathbf{D} dV:$$

Օգտվելով այս առնչությունից, կունենանք՝

$$\delta W = \frac{1}{8\pi} \int_{V_1} (\mathbf{E}' - \mathbf{E}) \cdot \mathbf{D} dV - \frac{1}{8\pi} \int_{V_0} \mathbf{E} \cdot \mathbf{D} dV,$$

կամ, նկատի ունենալով, որ V_1 տիրույթում դիելեկտրիկ քափանցելիության փոփոխություն տեղի չի ունեցել ($\epsilon' = \epsilon$)՝

$$\delta W = \frac{1}{8\pi} \int_{V_1} (\mathbf{D}' - \mathbf{D}) \cdot \mathbf{E} dV - \frac{1}{8\pi} \int_{V_0} \mathbf{E} \cdot \mathbf{D} dV:$$

Քանի որ $\int_{V_1} \mathbf{E}' \cdot (\mathbf{D}' - \mathbf{D}) dV = 0$ ապա

$$\delta W = -\frac{1}{8\pi} \int_{V_1} (\mathbf{D}' - \mathbf{D}) \cdot (\mathbf{E}' - \mathbf{E}) dV - \frac{1}{8\pi} \int_{V_0} \mathbf{E} \cdot \mathbf{D} dV < 0:$$

$$4.45 \quad W = -\mathbf{p} \cdot \mathbf{E}, \quad \text{որտեղ} \quad \mathbf{p} = \int \rho r dV:$$

4.46 Անիզոտրոպ միջավայրում $D_i = \epsilon_{ik} E_k = -\epsilon_{ik} \partial \phi / \partial x_k$, որը տեղադրելով Մաքսվելի $\partial D_i / \partial x_i = 4\pi \rho(r)$ հավասարման մեջ, կստանանք՝

$$\epsilon_{ik} \frac{\partial^2 \phi}{\partial x_i \partial x_k} = -4\pi \epsilon_0 \delta(r),$$

կամ դեկարտյան կոորդինատական համակարգի առանցքներն ուղղելով ϵ_{ik} թենգորի գլխավոր առանցքների ուղղությամբ՝

$$\epsilon^{(x)} \frac{\partial^2 \phi}{\partial x^2} + \epsilon^{(y)} \frac{\partial^2 \phi}{\partial y^2} + \epsilon^{(z)} \frac{\partial^2 \phi}{\partial z^2} = -4\pi \rho(r):$$

Եթե անցնենք

$$x' = \frac{x}{\sqrt{\epsilon^{(x)}}}, \quad y' = \frac{y}{\sqrt{\epsilon^{(y)}}}, \quad z' = \frac{z}{\sqrt{\epsilon^{(z)}}}.$$

նոր փոփոխականների, վերևի հավասարումը կդառնա

$$\frac{\partial^2 \Phi}{\partial x'^2} + \frac{\partial^2 \Phi}{\partial y'^2} + \frac{\partial^2 \Phi}{\partial z'^2} = - \frac{4\pi e}{\sqrt{\varepsilon^{(x)} \varepsilon^{(y)} \varepsilon^{(z)}}} \delta(\mathbf{r}'),$$

որը փաստորեն $e' = e / \sqrt{\varepsilon^{(x)} \varepsilon^{(y)} \varepsilon^{(z)}}$ կետային լիցքի ստեղծած պոտենցիալի հավասարումն է դատարկության մեջ: Այսպիսով

$$\Phi = \frac{e}{\sqrt{\varepsilon^{(y)} \varepsilon^{(z)} x^2 + \varepsilon^{(z)} \varepsilon^{(x)} y^2 + \varepsilon^{(x)} \varepsilon^{(y)} z^2}}:$$

ԳԼՈՒԽ 5

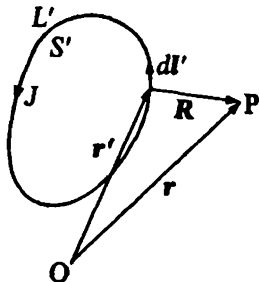
ՄԱԳՆԻՏՈՍՏՐՈՒԿԱ

5.1 Բիո-Մակարի օրենքից

$$\mathbf{B} = \frac{\mu I}{c} \oint_{L'} \frac{d\mathbf{l}' \times \mathbf{R}}{R^3} = \frac{\mu I}{c} \mathbf{A},$$

որտեղ $\mathbf{R} = \mathbf{r} - \mathbf{r}'$, \mathbf{r} -ը դիտման կետի, \mathbf{r}' -ը՝ փակ հոսանքի Idl' տարրի շառավիղ վեկտորներն են: Λ գծային ինտեգրալը հաշվելու համար այն բազմապատկենք կամայական a հաստատուն վեկտորով և օգտվենք Ստոքսի թեորեմից՝

$$\begin{aligned} \mathbf{a} \cdot \mathbf{A} &= \mathbf{a} \cdot \oint_{L'} \frac{d\mathbf{l}' \times \mathbf{R}}{R^3} = \oint_{L'} \frac{\mathbf{R} \times \mathbf{a}}{R^3} \cdot d\mathbf{l}' = \\ &= \int_{S'} \text{rot}' \frac{\mathbf{R} \times \mathbf{a}}{R^3} \cdot d\mathbf{S}' = \int_{S'} (\mathbf{a} \cdot \nabla') \frac{\mathbf{R}}{R^3} \cdot d\mathbf{S}' = -(\mathbf{a} \cdot \nabla) \int_{S'} \frac{\mathbf{R} \cdot d\mathbf{S}'}{R^3}: \end{aligned}$$



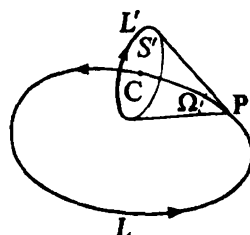
Այստեղ rot և ∇ օպերատորների վրա շտրիխը նշանակում է, որ ածանցումը կատարվում է ըստ r' կոորդինատի: Հաշվի առնելով, որ \mathbf{R} վեկտորը S' մակերևույթի $d\mathbf{S}'$ տարրը դիտման կետին միացնող վեկտորն է, կգրենք $\mathbf{R} \cdot d\mathbf{S}'/R^3 = -d\Omega$ և կստանանք

$$\mathbf{a} \cdot \mathbf{A} = (\mathbf{a} \cdot \nabla) \Omega = \mathbf{a} \cdot \text{grad} \Omega,$$

որտեղից ստացվում է պահանջվող առնչությունը:

$$\mathbf{B} = \frac{\mu I}{c} \text{grad} \Omega$$

5.2 Ընտրենք որևէ L փակ կոնուուր, որը C կետում հատում է նախորդ խնդրում բննարկված L' կոնուուրը շրջափակված S' մակերևույթը: L' -ի շրջանցման ուղղությունը համընկնում է I հոսանքի ուղղության հետ, իսկ L -ի շրջանցման ուղղությունը նրա հետ կազմում է աջ պտուտակային համակարգ: Դիտարկենք



$$\oint_L \mathbf{B} \cdot d\mathbf{l} = \frac{\mu I}{c} \oint_L \text{grad} \Omega \cdot d\mathbf{l}$$

կորագիծ ինտեգրալը: Այստեղ չի կարելի օգտվել Ստորսի թեորեմից, որովհետև ենթիմական արտահայտությունը անընդհատ չէ: Ω մարմնային անկյունը, որի տակ P կետից երևում է S' մակերևույթը, կոնտուրով մեկ լրիվ պտույտ կատարելու դեպքում 4π -ի հավասար քոիչք է կրում: Զանի որ $\oint_{L} \text{grad}\Omega \cdot d\ell = \Omega$ մարմ-

նային անկյան փոփոխությունն է կոնտուրով մեկ լրիվ պտույտ կատարելիս, ապա ստանում ենք

$$\oint_L \mathbf{B} \cdot d\ell = \frac{4\pi\mu}{c} I:$$

$$5.3 \quad H_r = H_z = 0, ,$$

$$H_a = \begin{cases} \frac{2I}{cR^2}r, & \text{եթե } (r < R), \\ \frac{2I}{cr}, & \text{եթե } (r > R); \end{cases} \quad B_a = \begin{cases} \frac{2\mu_0 I}{cR^2}r, & \text{եթե } (r < R), \\ \frac{2\mu I}{cr}, & \text{եթե } (r > R); \end{cases}$$

$$5.4 \quad H_a = \frac{2Ir}{cR_1^2}, \quad B_a = \frac{2\mu_0 Ir}{cR_1^2} \quad (r < R_1),$$

$$H_a = \frac{2I}{cr}, \quad B_a = \frac{2\mu I}{cr} \quad (R_1 < r < R_2),$$

$$H_a = \frac{2I}{cr} \frac{R_3^2 - r^2}{R_3^2 - R_2^2}, \quad B_a = \frac{2\mu_0 I}{cr} \frac{R_3^2 - r^2}{R_3^2 - R_2^2} \quad (R_2 < r < R_3),$$

$$H_a = 0, \quad B_a = 0 \quad (r > R_3);$$

$$5.5 \quad \text{Խոռոչում դաշտու համասելու համար: } H = \frac{2Ia}{c(R_1^2 - R_2^2)}:$$

$$5.6 \quad \psi = -\frac{2Ia}{c}, \quad H_a = \frac{2I}{cr}, \quad H_r = H_z = 0, \quad A_z = -\frac{2\mu I}{c} \ln r + \text{const.}$$

Դեկարտյան կոորդինատներով՝

$$H_x = -\frac{2I}{cr^2}y, \quad H_y = \frac{2I}{cr^2}x, \quad H_z = 0, \quad \text{որտեղ } r = \sqrt{x^2 + y^2}:$$

$$5.7 \quad \text{Կոորդինատական համակարգի } X \text{ առանցքն ուղղենք հարթության նորմալով, } Z \text{ առանցքը՝ հոսանքի ուղղությամբ: Սահմանային պայմաններից կիետնի}$$

$$H_y = \begin{cases} -\frac{2\pi}{c} i & (x < 0), \\ \frac{2\pi}{c} i & (x > 0); \end{cases}$$

- 5.8 Կոորդինատական համակարգի սկզբնակետը տեղավորենք հարթությունների մեջտեղում, X առանցքն ուղղենք հարթություններին ուղղահայաց, Z -ը՝ $x = a$ հարթության հոսանքի ուղղությամբ:

$$\text{ա) } H_y = \begin{cases} -\frac{4\pi}{c} i, & (x < -a), \\ 0, & (-a < x < a), \\ \frac{4\pi}{c} i, & (x > a); \end{cases} \quad \text{պ) } H_y = \begin{cases} 0, & (x < -a), \\ -\frac{4\pi}{c} i, & (-a < x < a), \\ 0, & (x > a); \end{cases}$$

- 5.9 Ենթադրենք լարերը կոորդինատական համակարգի X առանցքը հատում են $b/2$ և $-b/2$ կետերում, Z առանցքն ուղղենք $x=b/2$ կետով անցնող հոսանքի ուղղությամբ: Օգտվելով շատանցքով ուղղված անվերջ երկար I գծային հոսանքի ստեղծած դաշտի վեկտոր-պոտենցիալի A_z բաղադրիչի

$$A_z = -\frac{2\mu I}{c} \ln r$$

բանաձևից (տե՛ս խնդիր 5.6) և վերադրման սկզբունքից, կգրենք՝

$$A_z = -\frac{2\mu I}{c} \ln \frac{r_1}{r_2};$$

Այստեղ r_1 -ը և r_2 -ը դիտման կետի հեռավորություններն են համապատասխանաբար $x=b/2$ և $x=-b/2$ կետերով անցնող լարերից՝

$$r_{1,2}^2 = (x \mp b/2)^2 + y^2;$$

Այսպիսով՝

$$A_z = \frac{\mu I}{c} \ln \frac{(x+b/2)^2 + y^2}{(x-b/2)^2 + y^2},$$

$$H_x = \frac{1}{\mu} \frac{\partial A_z}{\partial y} = -\frac{4I}{c} \frac{bxy}{r_1^2 r_2^2},$$

$$H_y = -\frac{1}{\mu} \frac{\partial A_z}{\partial x} = -\frac{2I}{c} \left(\frac{x+b/2}{r_2^2} - \frac{x-b/2}{r_1^2} \right), \quad H_z = 0;$$

5.10 Կոռդինատական համակարգն ընտրենք նախորդ խնդրի նման: $x=b/2$ կետով ամցնող հոսանքի ստեղծած դաշտը երկրորդ հոսանքատար լարի վրա կլինի

$$H_{1x} = \frac{2I}{c} \frac{y}{(x-b/2)^2 + y^2} = 0,$$

$$H_{1y} = \frac{2I}{c} \frac{x-b/2}{(x-b/2)^2 + y^2} = -\frac{2I}{cb},$$

$$H_{1z} = 0;$$

Օգտվելով Ամպերի ուժի $dF = (I_2/c)(dI_2 \times B_I)$ բանաձևից և հաշվի առնելով, որ I_2 -ը շառանցքին հակառակ է ուղղված, երկրորդ լարի միավոր երկարությանը բաժին ընկնող ուժի համար կստանանք՝

$$f_x = \frac{I}{c} B_{1y} = -\frac{2\mu I^2}{c^2 b}, \quad f_y = -\frac{I}{c} B_{1x} = 0, \quad f_z = 0;$$

Ենթադրան կլինի՝

$$W_{12} = \frac{2I^2}{c^2} \ln b + \text{const}:$$

5.11 Կոռդինատական համակարգն ընտրենք այնպես, որ թիթեղը (y, z) հարթության մեջ գրաղեցնի $-a/2 \leq y \leq a/2$ տիրույթը, իսկ հոսանքն ուղղված լինի z առանցքով: Թիթեղի $[y', y' + dy']$ անվերջ բարակ շերտի ստեղծած դաշտի համար 5.6 խնդրի համաձայն կունենանք՝

$$dH_x = -\frac{2I}{ca} dy' \frac{y - y'}{(y - y')^2 + x^2},$$

$$dH_y = \frac{2I}{ca} dy' \frac{x}{(y - y')^2 + x^2},$$

$$dH_z = 0:$$

Կատարելով ինտեգրման գործողությունը, կստանանք՝

$$H_x = \frac{I}{ac} \ln \frac{(y - a/2)^2 + x^2}{(y + a/2)^2 + x^2},$$

$$H_y = \frac{2I}{ac} \left(\operatorname{arctg} \frac{y + a/2}{x} - \operatorname{arctg} \frac{y - a/2}{x} \right), \quad H_z = 0:$$

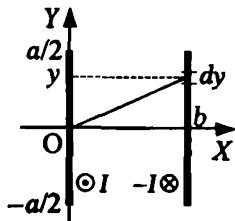
$a \rightarrow \infty$ դեպքում՝

$$\lim_{a \rightarrow \infty} H_x = 0, \quad \lim_{\substack{a \rightarrow \infty \\ l/a \rightarrow i}} H_y = \begin{cases} -\frac{2\pi}{c}i, & (x < 0), \\ \frac{2\pi}{c}i, & (x > 0), \end{cases}$$

որը համընկնում է 5.7 խնդրի արդյունքի հետ:

5.12 Կոորդինատների սկզբանականը ընտրենք

թիրեղներից մեկի մեջտեղում, Z առանցքն ուղղենք նրանով անցնող հոսանքով, X -ը՝ թիրեղին ուղղահայաց, այնպես, որ երկրորդ թիրեղը հատի $x = b$ կետում։ Առաջին թիրեղի դաշտը երկրորդ թիրեղի $[y, y+dy]$ անվերջ բարակ շերտի վրա կլինի (խնդիր 5.11)



$$H_{1x} = \frac{I}{ac} \ln \frac{(y-a/2)^2 + b^2}{(y+a/2)^2 + b^2},$$

$$H_{1y} = \frac{2I}{ac} \left(\operatorname{arctg} \frac{y+a/2}{b} - \operatorname{arctg} \frac{y-a/2}{b} \right), \quad H_{1z} = 0;$$

Օգտվելով Ամպերի ուժի $dF_{21} = (I_2/c)(dl_2 \times B_1)$ բանաձևից և հաշվի առնելով, որ I_2 հոսանքն ուղղված է z առանցքին հակառակ, երկրորդ թիրեղի $[y, y+dy]$ շերտի միավոր երկարության վրա ազդող ուժի համար կգրեն՝

$$df_x = \frac{I}{ac} B_{1y} dy, \quad df_y = -\frac{I}{ac} B_{1x} dy, \quad df_z = 0;$$

Զանի որ B_{1x} ֆունկցիան կենտ է, ուրեմն՝

$$f_y = -\frac{I}{ac} \int_{-a/2}^{a/2} B_{1x} dy = 0;$$

Կատարելով ինտեգրումը, ուժի գորոյից տարրեր f_x պրոյեկցիայի համար կունենանք՝

$$f_x = \frac{4I^2 \mu}{ac^2} \left[\operatorname{arctg} \frac{a}{b} - \frac{b}{2a} \ln \left(1 + \frac{a^2}{b^2} \right) \right];$$

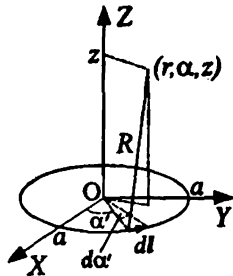
$a \rightarrow 0$ դեպքում ստացվում է

$$f_x = -\frac{2\mu I^2}{c^2 b},$$

որը համընկնում է 5.10 խնդրի արդյունքի հետ:

5.13 Կոորդինատական համակարգի սկզբնակետն ընտրենք օղակի կենտրոնում և Z առանցքն ուղղենք նրա հարթության ուղղահայաց այնպես, որ այդ հոսանքի ուղղության հետ կազմի աջ պտուտակային համակարգ: Վեկտոր-պոտենցիալի համար ունենք

$$A = \frac{\mu I}{c} \int \frac{dl}{R},$$



որտեղ

$$R = \sqrt{(a \cos \alpha' - r \cos \alpha)^2 + (a \sin \alpha' - r \sin \alpha)^2 + z^2} = \\ = \sqrt{a^2 + r^2 + z^2 - 2ar \cos(\alpha' - \alpha)}:$$

Հաշվի առնելով, որ

$$dl_r = -ad\alpha' \sin(\alpha' - \alpha), \quad dl_\alpha = ad\alpha' \cos(\alpha' - \alpha), \quad dl_z = 0$$

և օգտվելով ֆունկցիաների պարբերականությունից, կստանանք՝

$$A_r = -\frac{\mu I a^{2\pi}}{c} \int_0^{2\pi} \frac{\sin \alpha' d\alpha'}{\sqrt{a^2 + r^2 + z^2 - 2ar \cos \alpha'}} = 0,$$

$$A_\alpha = \frac{\mu I a^{2\pi}}{c} \int_0^{2\pi} \frac{\cos \alpha' d\alpha'}{\sqrt{a^2 + r^2 + z^2 - 2ar \cos \alpha'}},$$

$$A_z = 0:$$

Կատարելով $\alpha' = \pi - 2\beta$ նշանակում, կարող ենք A_α -ն արտահայտել K և E լրիվ էլիպտական ինտեգրալներով (տե՛ս հավելվածի ($<.3$) և ($<.4$) բանաձևերը)

$$A_\alpha = \frac{2\mu I}{c} \left(\frac{a}{r} \right)^{1/2} \left[\left(\frac{2}{k} - k \right) K(k) - \frac{2}{k} E(k) \right],$$

որտեղ

$$k^2 = \frac{4ar}{(a+r)^2 + z^2}:$$

Մագնիսական դաշտի բաղադրիչները հաշվնելիս, օգտագործելով ($<.5$) և ($<.6$) առնչությունները, կստանանք՝

$$H_r = \frac{2I}{c} \frac{z}{r\sqrt{(a+r)^2 + z^2}} \left[\frac{a^2 + r^2 + z^2}{(a-r)^2 + z^2} E(k) - K(k) \right], \quad H_\alpha = 0,$$

$$H_z = \frac{2I}{c} \frac{1}{\sqrt{(a+r)^2 + z^2}} \left[\frac{a^2 - r^2 - z^2}{(a-r)^2 + z^2} E(k) + K(k) \right];$$

Դաշտը օղակի առանցքի վրա ստանալու համար կատարենք $r \rightarrow 0$ սահմանային անցում: Օգտվելով (<7) և (<8) վերլուծություններից կստանանք

$$H_r = 0, \quad H_\alpha = 0, \quad H_z = \frac{2\pi a^2 I}{c(a^2 + z^2)^{3/2}};$$

5.14 Ամպերի բանաձևից և նախորդ խնդրի արդյունքից կհետևի՝

$$F_z = -\frac{4\pi}{c^2} I_1 I_2 \frac{b}{\sqrt{(a_1 + a_2)^2 + b^2}} \left[\frac{a_1^2 + a_2^2 + b^2}{(a_1 - a_2)^2 + b^2} E(k) - K(k) \right],$$

որտեղ

$$k^2 = \frac{4a_1 a_2}{(a_1 + a_2)^2 + b^2};$$

5.15 Մաքսվելի $\text{rot} \mathbf{H} = (4\pi/c)\mathbf{j}$ հավասարումից հետևում է, որ $\text{div} \mathbf{j} = 0$:

Նշանակում է դիտարկվող սահմանափակ տիրույթում հոսում են հոսանքներ, որոնց հոսանքի գծերը փակ կորեր են: Կատարելով $\int_i dV_i \rightarrow I_i dI_i$ սահմանային անցում ծավալային ինտեգրալից գծային ինտեգրալների՝

$$\int \mathbf{j} dV = \sum_i I_i \oint dI_i,$$

որտեղ dI_i ը i -րդ փակ հոսանքատար գծի տարրն է: Հաշվի առնելով, որ $\oint dI = 0$, ստանում ենք պահանջվող առնչությունը՝ $\int \mathbf{j} dV = 0$: Եույն եզրակացությանը կարող ենք գալ, օգտվելով 1.16 խնդրի արդյունքից:

5.16 Կկոռորդինատական համակարգում $\mathbf{m} = (1/2c) \int (\mathbf{r} \times \mathbf{j}(\mathbf{r})) dV$: Անցնենք կոորդինատական \mathbf{K}' համակարգի, որտեղ $\mathbf{r}' = \mathbf{r} - \mathbf{a}$, հոսանքի ծավալային խտությունը $\mathbf{j}'(\mathbf{r}') = \mathbf{j}(\mathbf{r})$, իսկ մագնիսական մոմենտը՝

$$\mathbf{m} = \frac{1}{2c} \int (\mathbf{r}' \times \mathbf{j}'(\mathbf{r}')) dV';$$

Կատարենք $\mathbf{r}' = \mathbf{r} - \mathbf{a}$ փոփոխականի փոխարինում՝

$$\mathbf{m}' = \mathbf{m} - \frac{1}{2c} (\mathbf{a} \times \int j dV);$$

Վերջավոր տիրույթների դեպքում, ինչպես ցույց է տրվել 5.15 խնդրում, $\int j dV = 0$: Ցույց տանք, որ այս պայմանը միշտ է նաև այն դեպքում, եթե հոսանքները պարփակված չեն վերջավոր ծավալում: $\mathbf{G} = \int j dV$ ինտեգրալը բազմապատկենք կամայական b

հաստատուն վեկտորով և հաշվի առնենք $\text{grad}(b \cdot \mathbf{r}) = \mathbf{b}$ առնչությունը՝

$$\mathbf{b} \cdot \mathbf{G} = \int_{V \rightarrow \infty} j \cdot \text{grad}(b \cdot \mathbf{r}) dV$$

որը $\text{div} j = 0$ պայմանի շնորհիվ կդառնա՝

$$\mathbf{b} \cdot \mathbf{G} = \int_{V \rightarrow \infty} \text{div}((\mathbf{b} \cdot \mathbf{r}) j) dV = \oint_{S \rightarrow \infty} (\mathbf{b} \cdot \mathbf{r}) j d\mathbf{S};$$

Քանի որ \mathbf{m} -ի արժեքները միշտ վերջավոր են, նշանակում է j -ն մեծությամբ անվերջում նվազում է ավելի արագ, քան r^{-4} -ը: Քանի որ S -ը աճում է որպես r^2 ապա ստացված մակերևութային ինտեգրալը $S \rightarrow \infty$ դեպքում ձգում է զրոյի: Նշանակում է $\mathbf{b} \cdot \mathbf{G} = 0$: Քանի որ \mathbf{b} վեկտորը կամայական է, ապա $\mathbf{G} = 0$, որտեղից էլ հետևում է՝ $\mathbf{m}' = \mathbf{m}$:

5.17 Համասեռ դաշտի դեպքում $\text{rot}(\mathbf{B} \times \mathbf{r}) = 2\mathbf{B}$, որտեղից \mathbf{A} վեկտոր-պոտենցիալի համար ստացվում է

$$\mathbf{A} = \frac{\mathbf{B} \times \mathbf{r}}{2};$$

Վերջինս տեղադրելով մազմիսական դաշտի էներգիայի արտահայտության մեջ ստանում ենք

$$W = \mathbf{m} \cdot \mathbf{B};$$

5.18 Ուժի մոմենտի սահմանումից և Ամպերի բանաձևից, կօրենք

$$\mathbf{K} = \frac{1}{c} \int [\mathbf{r} \times (\mathbf{j} \times \mathbf{B})] dV; \quad (1)$$

Հաշվի առնելով

$$\mathbf{r} \times (\mathbf{j} \times \mathbf{B}) = \mathbf{j} \times (\mathbf{r} \times \mathbf{B}) + (\mathbf{r} \times \mathbf{j}) \times \mathbf{B}$$

վեկտորական նույնությունը և մագիստրական մոմենտի (5.11) սահմանումը, (1)-ը կներկայացնենք այսպես՝

$$\mathbf{K} = \mathbf{m} \times \mathbf{B} + \frac{1}{c} \int [\mathbf{r} \times (\mathbf{j} \times \mathbf{B}) + \mathbf{j} \times (\mathbf{r} \times \mathbf{B})] dV; \quad (2)$$

Այժմ ցույց տանք, որ (2) արտահայտության մեջ ինտեգրալը հավասար է զրոյի: Նկատենք, որ

$$\int j \, dV = \sum_i I_i \oint dl_i$$

փոխարինումը հնարավորություն կտա այդ ծավալային ինտեգրալը զրել անվերջ բարակ փակ հոսանքի գծերի երկայնքով իրականացվող գծային ինտեգրալների տեսքով՝

$$\begin{aligned} & \sum_i I_i \oint_{L_i} [r \times (dl_i \times \mathbf{B}) + dl_i \times (r \times \mathbf{B})] = \\ & = \sum_i I_i \oint_{L_i} [dl_i(r \cdot \mathbf{B}) + r(dl_i \cdot \mathbf{B}) - 2\mathbf{B}(r \cdot dl_i)] : \end{aligned}$$

Վերջինս բազմապատկենք α կամայական հաստատուն վեկտորով և օգտվենք Ստորոտ բնորեմից՝

$$\begin{aligned} & \oint_{L_i} [(r \cdot \mathbf{B}) \cdot \alpha + (\alpha \cdot r) \mathbf{B} - 2(\alpha \cdot \mathbf{B})r] dl_i = \\ & = \int_{S_i} \text{rot} [(r \cdot \mathbf{B}) \cdot \alpha + (\alpha \cdot r) \mathbf{B} - 2(\alpha \cdot \mathbf{B})r] dS = \int_{S_i} [(B \times \alpha) + (\alpha \times B)] dS = 0: \end{aligned}$$

5.19 (5.17) Խնդրի արդյունքից՝ $W = \mathbf{m} \cdot \mathbf{B}$, որտեղ \mathbf{m} -ը գլանի մագնիսական մոմենտն է՝

$$\mathbf{m} = \frac{1}{2c} \int (r \times \mathbf{j}) dV = \frac{\rho_e}{2c} \int (r \times (\omega \times r)) dV:$$

Այսինքն $\mathbf{j} = \rho_e(\omega \times r)$ -ը գլանի պտույտով պայմանավորված հոսանքի ծավալային խտությունն է, $\rho_e = Q/\pi R^2 h$, h -ը գլանի բարձրությունն է: Հաշվի առնելով, որ գլանային կոորդինատական համակարգում $r = (r \cos \alpha, r \sin \alpha, z)$, $\omega = (0, 0, \omega)$, $dV = r dr d\alpha dz$ կստանանք՝

$$\mathbf{m} = \frac{QR^2 \omega}{4c},$$

որտեղից

$$W = \frac{QR^2(\omega \cdot \mathbf{B})}{4c} = \frac{QR^2 \omega B \cos \alpha}{4c}.$$

ԳԼՈՒԽ 6

ԶՎԱՋԻՄԱՑԻՈՆԱՐ ԵՐԵՎՈՒՅԹՆԵՐ

6.1 ա) $I(t) = \frac{\mathcal{E}}{R} 1 - e^{-\frac{t}{RC}}$, բ) $I(t) = \frac{\mathcal{E}}{R} e^{-\frac{t}{RC}}$,

այստեղ $\tau = L/R^2$ մեծությունը ոնլաքսացիայի ժամանակն է:

6.2 $\omega_0 = \frac{c}{\sqrt{LC}}$

6.3 (6.10) հավասարումը ներկայացնենք

$$\ddot{q} + 2\delta\dot{q} + \omega_0^2 q = 0 \quad (1)$$

տեսքով, որտեղ $\omega_0 = c/\sqrt{LC}$ մեծությունը LC իդեալական կոնտուրի սեփական հաճախությունն է, իսկ $\delta = R^2/(2L)$ -ը՝ մարման գործակիցը: (1)-ի լուծումը փնտրենք $q(t) \sim e^{-i\omega t}$ տեսքով:

$$\omega^2 + 2i\delta\omega - \omega_0^2 = 0$$

բնութագրական հավասարումը լուծելով կգտնենք հնարավոր հաճախությունները՝

$$\omega_{1,2} = -i\delta \pm \sqrt{\omega_0^2 - \delta^2} :$$

ω_0 և δ մեծությունների փոխհարաբերությունից կախված հնարավոր են երեք տարբեր տեսքի լուծումներ:

ա) Թույլ մարման դեպքում ($\delta < \omega_0$)

$$q(t) = \operatorname{Re} \{e^{-\delta t} (q_1 e^{i\Omega t} + q_2 e^{-i\Omega t})\}$$

որտեղ $\Omega = \sqrt{\omega_0^2 - \delta^2}$, իսկ $q_1 = q_{1r} + iq_{1i}$ և $q_2 = q_{2r} + iq_{2i}$ գործակիցները կոմպլեքս մեծություններ են: $q(t)$ ֆունկցիայի իրական մասը կլինի՝

$$q = e^{-\delta t} [(q_{1r} + q_{2r}) \cos \Omega t + (q_{2i} - q_{1i}) \sin \Omega t] :$$

$q(0) = q_0$ պայմանից ստացվում է $q_{1r} + q_{2r} = q_0$: Նման ձևով $I(0) = \dot{q}(0) = 0$ պայմանից կարելի է ստանալ՝ $q_{2i} - q_{1i} = \delta q_0 / \Omega$:

Այսպիսում $\delta < \omega_0$ դեպքում

$$q(t) = q_0 e^{-\delta t} \left(\cos \Omega t + \frac{\delta}{\Omega} \sin \Omega t \right) : \quad (1)$$

բ) $\delta = \omega_0$ դեպքում կունենանք

$$q(t) = q_0 e^{-\delta t} (1 + \delta t) : \quad (2)$$

գ) Ուժեղ մարման դեպքում ($\delta > \omega_0$)

$$\omega_{1,2} = i(-\delta \pm \Omega'),$$

որտեղ $\Omega' = \sqrt{\delta^2 - \omega_0^2} = i\Omega$: Լիսքի և հոսանքի համար կունենանք՝

$$q(t) = e^{-\delta t} (q_1 e^{\Omega' t} + q_2 e^{-\Omega' t}), \quad (3)$$

$$I(t) = q_1 (\Omega' - \delta) e^{\Omega' t} - q_2 (\Omega' + \delta) e^{-\Omega' t}:$$

Սկզբնական պայմանները այստեղ բնրում են

$$q_1 + q_2 = q_0, \quad q_1 - q_2 = \frac{\delta}{\Omega'} q_0$$

հավասարումների համակարգին, որի լուծումը տեղադրելով (3)-ի մեջ վերջնականապես կստանանք՝

$$q(t) = q_0 e^{-\delta t} \left(\operatorname{ch} \Omega' t + \frac{\delta}{\Omega'} \operatorname{sh} \Omega' t \right):$$

Նկատենք, որ վերջին արդյունքը կարելի է ստանալ (1)-ից, եթե օգտվենք $\cos(ix) = \operatorname{ch}(x)$ և $\sin(ix) = i\operatorname{sh}(x)$ հայտնի բանաձևերից:

Տեսնում ենք, որ բույլ մարման դեպքում ($\delta < \omega_0$) կոնդենսատորի լիսքը կատարում է մարող տատանումներ, իսկ ուժեղ մարման դեպքում ($\delta > \omega_0$) մոնուռն նվազելով ձգուում է զրոյի:

$$6.4 \quad \frac{L}{c^2} \ddot{I} + R\dot{I} + \frac{I}{C} = \dot{\mathcal{E}} \quad (1)$$

հավասարման լուծումները $\mathcal{E} = \mathcal{E}_0 e^{-i\omega t}$ էլշուի դեպքում կփնտրենք $I = I_0 e^{-i\omega t}$ տեսքով: Վերջինս տեղադրելով (1)-ի մեջ, կստանանք

$$ZI = \mathcal{E}$$

որտեղ

$$Z = R - i \left(\frac{\omega L}{c^2} - \frac{1}{\omega C} \right):$$

Այսպիսով

$$I = \operatorname{Re} \left(\frac{\mathcal{E}}{Z} \right) = \frac{\mathcal{E}_0 \cos(\omega t - \alpha)}{\sqrt{R^2 + \left(\frac{\omega L}{c^2} - \frac{1}{\omega C} \right)^2}},$$

որտեղ

$$\operatorname{tg} \alpha = \frac{1}{R} \left(\frac{\omega L}{c^2} - \frac{1}{\omega C} \right):$$

6.5 $t > 0$ դեպքում տեղի ունի

$$\frac{L}{c^2} \ddot{q} + R\dot{q} + \frac{1}{C} q = \mathcal{E}_0$$

հավասարումը: Այս անհամասեռ հավասարման լուծումը կարող ենք ներկայացնել

$$q_{\text{ժամ}} = \mathcal{E}_0 C$$

մասնակոր լուծման և

$$\frac{L}{c^2} \ddot{f} + R\dot{f} + \frac{1}{C} f = 0 \quad (1)$$

համասնա հավասարման ընդհանուր լուծման գումարի տեսքով՝

$$q(t) = \mathcal{E}_0 C + f(t):$$

$f(t)$ ընդհանուր լուծման սկզբնական պայմաններն են՝ $f(0) = q_0 - \mathcal{E}_0 C$ և $\dot{f}(0) = \dot{q}(0) = 0$:

Օգտվելով 6.3 խնդրում օգտագորված եղանակից (1) հավասարման լուծումը կգրենք

$$f_1(t) = (q_0 - \mathcal{E}_0 C) e^{-\delta t} \left(\cos \Omega t + \frac{\delta}{\Omega} \sin \Omega t \right)$$

տեսքով, եթե $\delta < \omega_0$,

$$f_2(t) = (q_0 - \mathcal{E}_0 C) e^{-\delta t} (1 + \delta t)$$

տեսքով, եթե $\delta = \omega_0$ և

$$f_3(t) = (q_0 - \mathcal{E}_0 C) e^{-\delta t} \left(\operatorname{ch} \Omega' t + \frac{\delta}{\Omega'} \operatorname{sh} \Omega' t \right)$$

տեսքով, եթե $\delta > \omega_0$: Այստեղ

$$\Omega = \sqrt{\omega_0^2 - \delta^2}, \quad \Omega' = \sqrt{\delta^2 - \omega_0^2}, \quad \omega_0 = \frac{c}{\sqrt{LC}}, \quad \delta = \frac{Rc^2}{2L}:$$

Օգտվելով $I(t) = \dot{q}(t) = \dot{f}(t)$ բանաձևից՝ կստանանք՝

$$I(t) = \begin{cases} \frac{c^2 (\mathcal{E}_0 - q_0/C)}{L\Omega} e^{-\delta t} \sin \Omega t, & \text{եթե } \delta < \omega_0, \\ \frac{c^2 (\mathcal{E}_0 - q_0/C)}{L} t e^{-\delta t}, & \text{եթե } \delta = \omega_0, \\ \frac{c^2 (\mathcal{E}_0 - q_0/C)}{L\Omega'} e^{-\delta t} \operatorname{sh} \Omega' t, & \text{եթե } \delta > \omega_0, \end{cases}$$

Նկատենք, որ $\delta < \omega_0$ դեպքում հոսանքը մարում է տատանումներ կատարելով, $\delta = \omega_0$ դեպքում՝ մինչև $t_m = 1/\delta$ պահը հոսանքն աճում է, իսկ այնուհետև մոնուռն նվազելով ձգտում է զրոյի, իսկ $\delta > \omega_0$ դեպքում՝ մոնուռն նվազելով ձգտում է զրոյի:

6.6 Կոնտուրներով անցնող I_1 և I_2 հոսանքները բավարարում են

$$\frac{L_1}{c^2} \ddot{I}_1 + \frac{L_{12}}{c^2} \ddot{I}_2 + \frac{I_1}{C_1} = 0,$$

$$\frac{L_{12}}{c^2} \ddot{I}_1 + \frac{L_2}{c^2} \ddot{I}_2 + \frac{I_2}{C_2} = 0$$

հավասարումների համակարգին, որի լուծումները կփնտրենք $I_1 = I_{10} e^{-i\omega t}$ և $I_2 = I_{20} e^{-i\omega t}$ տեսքով: Օգտվելով I_1 և I_2 մեծությունների համար ստացվող հանրահաշվական հավասարումների համակարգի ոչ զրոյական լուծումներ ունենալու

$$\det \begin{pmatrix} \frac{\omega^2 L_1}{c^2} - \frac{1}{C_1} & \frac{\omega^2 L_{12}}{c^2} \\ \frac{\omega^2 L_{12}}{c^2} & \frac{\omega^2 L_2}{c^2} - \frac{1}{C_2} \end{pmatrix} = 0$$

պայմանից, կստանանք՝

$$\omega_{1,2}^2 = \frac{L_1 C_1 + L_2 C_2 \pm \sqrt{(L_1 C_1 - L_2 C_2)^2 + 4 C_1 C_2 L_{12}}}{2 C_1 C_2 (L_1 L_2 - L_{12}^2)} c^2:$$

$L_1 \rightarrow 0$ դեպքում ստացվում են անկախ իդեալական տատանողական կոնտուրների սեփական հաճախուրյունները՝

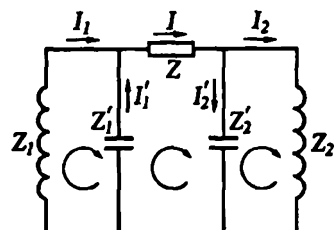
$$\omega_1 = \frac{c}{\sqrt{L_1 C_1}}, \quad \omega_2 = \frac{c}{\sqrt{L_2 C_2}}:$$

6.7 Դիտարկվող համակարգի տարբերի իմպեդանսներն են

$$Z_1 = -\frac{i\omega L_1}{c^2}, \quad Z_2 = -\frac{i\omega L_2}{c^2},$$

$$Z'_1 = \frac{i}{\omega C_1}, \quad Z'_2 = \frac{i}{\omega C_2}:$$

Օգտվելով Կիրխհոֆի օրենքներից,
կարող ենք գրել



$$I_1 + I'_1 - I = 0,$$

$$I - I_2 - I'_2 = 0,$$

$$Z_1 I_1 - Z'_1 I'_1 = 0,$$

$$Z_2 I_2 - Z'_2 I'_2 = 0,$$

$$Z'_1 I'_1 + Z I + Z'_2 I'_2 = 0:$$

Ստացված գծային հանրահաշվական հավասարումների համակարգի ոչ զրոյական լուծումների գոյության

$$\det \begin{pmatrix} 1 & 1 & 0 & 0 & -1 \\ 0 & 0 & 1 & 1 & -1 \\ Z_1 & -Z'_1 & 0 & 0 & 0 \\ 0 & Z'_1 & 0 & Z'_2 & Z \\ 0 & 0 & Z_2 & -Z'_2 & 0 \end{pmatrix} = 0$$

պայմանից կստանանք պահանջվող հավասարումը՝

$$(Z_1 + Z'_1)(Z'_2 Z + Z_2 Z + Z_2 Z'_2) + Z_1 Z'_1 (Z_2 + Z'_2) = 0,$$

կամ տեղադրելով հայտնի իմպենդանսների արտահայտությունները՝

$$\frac{L_1}{c^2 C_1} \left(\frac{\omega^2 L_2}{c^2} - \frac{1}{C_2} \right) + \frac{L_2}{c^2 C_2} \left(\frac{\omega^2 L_1}{c^2} - \frac{1}{C_1} \right) - i \frac{Z(\omega)}{\omega} \left(\frac{\omega^2 L_1}{c^2} - \frac{1}{C_1} \right) \left(\frac{\omega^2 L_2}{c^2} - \frac{1}{C_2} \right) = 0$$

6.8 ա) $\omega_{1,2}^2 = \frac{c^2}{2} \left\{ \frac{1}{C_1} \left(\frac{1}{L} + \frac{1}{L_1} \right) + \frac{1}{C_2} \left(\frac{1}{L} + \frac{1}{L_2} \right) + \left[\left(\frac{1}{C_1} \left(\frac{1}{L} + \frac{1}{L_1} \right) - \frac{1}{C_2} \left(\frac{1}{L} + \frac{1}{L_2} \right) \right)^2 + \frac{4}{C_1 C_2 L^2} \right]^{\frac{1}{2}} \right\}$

բ) $\omega_{1,2}^2 = \frac{L_1(C+C_1) + L_2(C+C_2) \pm \sqrt{K}}{2L_1L_2(CC_1+CC_2+C_1C_2)},$

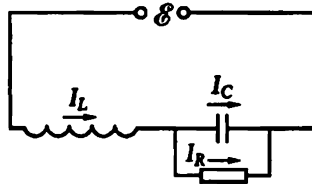
որտեղ $K = [L_1(C+C_1) - L_2(C+C_2)]^2 - 4L_1L_2C^2 :$

6.9 $\mathcal{E} = \mathcal{E}_0 \sin(\omega t + \alpha_0)$ օրենքով փոփոխվող էլեկտրաշարժ ուժի դեպքում I_L , I_R և I_C հոսանքները բավարարում են

$$\frac{L}{c^2} I_L + RI_R = \mathcal{E}_0 \cos(\omega t + \alpha_0),$$

$$-\frac{I_C}{C} + RI_R = 0,$$

$$I_L = I_R + I_C :$$



հավասարումների համակարգին:

Արտաքսելով I_L և I_C հոսանքի ուժերը, կստանանք

$$\frac{RLC}{c^2} \ddot{I}_R + \frac{L}{c^2} \dot{I}_R + RI_R = \mathcal{E}_0 \cos(\omega t + \alpha_0) :$$

Լուծելով ստացված հավասարումը, կունենանք

$$I_R(t) = \frac{\mathcal{E}_0}{\sqrt{R^2 \left(1 - \frac{\omega^2 LC}{c^2} \right)^2 + \frac{\omega^2 L^2}{c^4}}} \cos(\omega t + \alpha_0 - \phi),$$

որտեղ

$$\operatorname{tg} \phi = \frac{\omega L}{c^2 R \left(1 - \frac{\omega^2 LC}{c^2} \right)} :$$

Մասնավոր դեպքում, եթե $\omega = \omega_0 = c/\sqrt{LC}$ ստանում ենք

$$I_R(t) = \mathcal{E}_0 c \sqrt{C/L} \sin(\omega_0 t + \alpha_0),$$

որտեղից երևում է, որ R դիմադրությունով անցնող I_R հոսանքը իսկապես կախված չէ R դիմադրության մեծությունից: Այսինքն, այսպիսի շղան փոփոխական հոսանքի կայունացուցիչի պարզագույն օրինակ է:

6.10 Օդակում առաջացող հոսանքը որոշվում է

$$\frac{L}{c^2} \ddot{I} + RI = \mathcal{E}_{օդում} \quad (1)$$

հավասարումից: Կողմնային էլեկտրաշարժ ուժը այս դեպքում պայմանավորված է մակածման երևությունով: Քանի որ մագնիսական հոսքի համար ունենք

$$\Phi = B_0 \cdot S = B_0 S \cos(\omega t + \alpha_0),$$

որտեղ S -ը օդակի մակերեսն է, իսկ α_0 -ն $t=0$ պահին օդակի հարթության նորմալի կազմած անկյունը B_0 վեկտորի հետ, ուստի

$$\mathcal{E}_{լուս} = \mathcal{E}_{օդակ} = -\frac{1}{c} \frac{d\Phi}{dt} = \frac{\pi a^2 B_0 \omega}{c} \sin(\omega t + \alpha_0) :$$

Այսպիսով, (1) հավասարումը կգրվի հետևյալ կերպ՝

$$\frac{L}{c^2} I + RI = \frac{\pi a^2 B_0 \omega}{c} \sin(\omega t + \alpha_0) :$$

Լուծելով ստացված հավասարումը, կունենանք՝

$$I(t) = I_0 \sin(\omega t + \alpha_0 - \varphi),$$

որտեղ

$$I_0 = \frac{\pi a^2 B_0 \omega}{\sqrt{R^2 + \left(\frac{\omega L}{c^2}\right)^2}}, \quad \operatorname{tg} \varphi = \frac{\omega L}{R c^2} :$$

Այժմ գտնենք արգելակող մոմենտը: Օգտվելով B_0 մագնիսական դաշտում m մագնիսական մոմենտի վրա ազդող ուժի մոմենտի

$$\mathbf{K} = \mathbf{m} \times \mathbf{B}_0$$

արտահայտությունից (տես (5.18) խնդիրը) և այն հանգամանքից, որ հարթ գծային հաղորդչի համար

$$\mathbf{m} = \frac{I}{2c} \oint \mathbf{r}' \times d\mathbf{l}' = \frac{I}{2c} \mathbf{S},$$

կգրենք

$$\mathbf{K}(t) = -\frac{I\omega}{c\omega} \pi a^2 B_0 \sin(\omega t + \alpha_0),$$

կամ՝

$$\mathbf{K}(t) = -\frac{\omega (\pi a^2 B_0)^2}{c^2 \sqrt{R^2 + \left(\frac{\omega L}{c^2}\right)^2}} \sin(\omega t + \alpha_0) \sin(\omega t + \alpha_0 - \varphi) :$$

Միջին հզորության համար կունենանք՝

$$\bar{P} = -\overline{\mathbf{K}(t) \cdot \omega} = -\frac{\omega^2 (\pi a^2 B_0)^2}{2c^2 \sqrt{R^2 + \left(\frac{\omega L}{c^2}\right)^2}} \cos \varphi = \frac{\omega^2 (\pi a^2 B_0)^2 R}{2c^2 \left[R^2 + \left(\frac{\omega L}{c^2}\right)^2 \right]} = \frac{1}{2} I_0^2 R :$$

6.11 Կոմտուրում առաջացած հոսանքը որոշվում է

$$\frac{L}{c^2} \ddot{I} + R\dot{I} + \frac{I}{C} = \frac{B_0 S \omega^2}{c} \cos(\omega t + \alpha_0),$$

հավասարումով (տես նախորդ խնդրի լուծումը), որտեղ α_0 -ն անկյունն է $t = 0$ պահին կոնտուրի հարթության նորմալի և B_0 վեկտորի միջև: Լուծելով (1) հավասարումը, կստանանք՝

$$I(t) = I_0 \sin(\omega t + \alpha_0 - \varphi),$$

որտեղ

$$I_0 = \frac{B_0 S \omega}{c \sqrt{R^2 + \left(\frac{\omega L}{c^2} - \frac{1}{\omega C} \right)^2}}, \quad \operatorname{tg} \varphi = \frac{1}{R} \left(\frac{\omega L}{c^2} - \frac{1}{\omega C} \right);$$

Օգտվելով ուժի մոմենտի արտահայտությունից, ինչպես այդ արված է նախորդ խնդրում, կստանանք՝

$$K(t) = \frac{(B_0 S)^2 \omega}{c^2 \sqrt{R^2 + \left(\frac{\omega L}{c^2} - \frac{1}{\omega C} \right)^2}} \sin(\omega t + \alpha_0) \sin(\omega t + \alpha_0 - \varphi);$$

Կատարելով միջինացում ըստ t -ի կունենանք՝

$$\begin{aligned} \overline{K(t)} &= - \frac{(B_0 S)^2 \omega}{2c^2 \sqrt{R^2 + \left(\frac{\omega L}{c^2} - \frac{1}{\omega C} \right)^2}} \cos \varphi = \\ &= - \frac{(B_0 S)^2 R \omega}{2c^2 \left[R^2 + \left(\frac{\omega L}{c^2} - \frac{1}{\omega C} \right)^2 \right]} = - \frac{I_0^2 R}{2\omega^2} \omega; \end{aligned}$$

6.12 Խնդրի համաշափությունից հետևում է, որ $\tilde{H}(t)$ արտաքին մագնիսական դաշտի ստեղծած մրրկային հոսանքները գլանում կհոսեն համաշափության առանցքին համասնցք շրջանագծերով: Կարելի է համոզվել, որ այդ հոսանքների ստեղծած մագնիսական դաշտը գլանից դուրս հավասար է զրոյի, իսկ ներսում ուղղված է զլանի առանցքով (Z առանցքով) և կախված է միայն r կոորդինատից: $H_z(r, t)$ մագնիսական դաշտը գլանի ներսում որոշելու համար (6.7)

հավասարումը գրենք զլանային կոորդինատական համակարգում՝

$$\frac{\partial^2 H_z(r,t)}{\partial r^2} + \frac{1}{r} \frac{\partial H_z(r,t)}{\partial r} = \frac{4\pi\mu\lambda}{c^2} \frac{\partial H_z(r,t)}{\partial t} \quad (1)$$

և $H_z(r,t)$ -ն փնտրենք $H_z(r,t) = H_{z0}(r)e^{-i\omega t}$ տեսքով: $H_{z0}(r)$ ֆունկցիան բավարարում է

$$\frac{\partial^2 H_{z0}(r)}{\partial r^2} + \frac{1}{r} \frac{\partial H_{z0}(r)}{\partial r} + k^2 H_{z0}(r) = 0 \quad (2)$$

հավասարմանը, որտեղ $k^2 = i4\pi\mu\lambda/c^2$: (2)-ը թեսելի հավասարումն է, որի՝ $r = 0$ կետում վերջավոր լինելու պայմանին բավարարող լուծումը $J_0(kr)$ ֆունկցիան է (տես հավելվածի (<9.) և (<11.) բանաձևերը): Հաշվի առնելով $H_{r0}(R) = \mathcal{H}_0$ սահմանային պայմանը, կունենանք՝

$$H_0(r) = \begin{cases} \tilde{\mathcal{H}}_0 \frac{J_0(kr)}{J_0(kR)}, & (r \leq R), \\ \tilde{\mathcal{H}}_0, & (r > R): \end{cases} \quad (3)$$

Էլեկտրական դաշտը որոշելու համար կօգտվենք (6.4) հավասարման ինտեղուալ տեսքից՝

$$\oint_L E_0(r) \cdot dl = \frac{i\omega}{c} \int_S B_0(r) \cdot dS: \quad (4)$$

Որպես L կոնտոր ընտրենք զլանին համառանցք r շառավղով շրջանագիծ և օգտվենք

$$B_0(r) = \begin{cases} \mu \tilde{\mathcal{H}}_0 \frac{J_0(kr)}{J_0(kR)}, & (r \leq R), \\ \tilde{\mathcal{H}}_0, & (r > R) \end{cases}$$

արտահայտությունից, կստանանք՝ $E_r = E_z = 0$,

$$E_{az0} = \begin{cases} \frac{i\omega \mathcal{H}_0}{rc} \frac{\mu}{J_0(kR)} \int_0^r J_0(kr) r dr, & (r \leq R), \\ \frac{i\omega \mathcal{H}_0}{rc} \left[\frac{\mu}{J_0(kR)} \int_0^R J_0(kr) r dr + \frac{1}{2} (r^2 - R^2) \right], & (r > R): \end{cases}$$

նկատի ունենալով (<15) առնչությունը, վերջնականապես կունենանք

$$\mathbf{E}_0(r) = \begin{cases} \frac{kc}{4\pi\lambda} \mathcal{H}_0 \frac{J_1(kr)}{J_0(kR)} \hat{\mathbf{e}}_a, & (r \leq R), \\ \frac{kc}{4\pi\lambda} \mathcal{H}_0 \left[\frac{J_1(kr)}{J_0(kR)} \frac{R}{r} + \frac{k}{2\mu r} (r^2 - R^2) \right] \hat{\mathbf{e}}_a, & (r > R); \end{cases} \quad (5)$$

6.13 Գլանում մակածված մրրկային էլեկտրական դաշտի ստեղծած հոսանքի խտությունը հավասար է (տես նախորդ խնդրում ստացված (5) առնչությունը):

$$j_a(r, t) = \frac{kc}{4\pi} \mathcal{H}_0 \frac{J_1(kr)}{J_0(kR)} e^{-i\omega t}, \quad j_r = j_z = 0; \quad (1)$$

Փոքր հաճախությունների դեպքում ($kR \ll 1$ կամ $\omega \ll c^2 / 4\pi\mu\lambda R^2$) համաձայն (<-12)-(<-13) վերլուծությունների՝

$$j_a(r, t) \approx \frac{ck^2}{8\pi} \mathcal{H}_0 r e^{-i\omega t},$$

կամ հիշելով, որ $k^2 = i4\pi\omega\mu\lambda/c^2$:

$$j_a(r, t) \approx \frac{i\omega\mu\lambda}{2c} \mathcal{H}_0 r e^{-i\omega t},$$

այսինքն՝ հոսանքի խտության մոդուլը գծայնորեն է կախված r -ից և համեմատական է ա հաճախությանը:

$\omega \gg c^2 / 4\pi\mu\lambda R^2$ մեծ հաճախությունների դեպքում ($kR \gg 1$)

կարող ենք օգտվել (<-14) ասիմպոտական արտահայտությունից: Սահմանափակվելով $0 \leq R - r \ll R$ հետավորությունների դեպքով, կստանանք՝

$$\begin{aligned} j_a(r, t) &= \frac{kc}{4\pi} \mathcal{H}_0 e^{-i\omega t} \sqrt{R/r} \frac{\cos(kr - 3\pi/4)}{\cos(kR - \pi/4)} = \\ &= i \frac{kc}{4\pi} \mathcal{H}_0 e^{-i\omega t} \sqrt{R/r} e^{-ik(r-R)} : \end{aligned}$$

Կ-ն ներկայացնենք $k = (1+i)/\delta$ տեսքով, որից հետո $j_a(r, t)$ -ն կդառնա

$$j_a(r, t) = \frac{(i-1)c}{4\pi\delta} \mathcal{H}_0 \sqrt{\frac{R}{r}} e^{-\frac{R-r}{\delta}} e^{-i\left(\omega t - \frac{R-r}{\delta}\right)} :$$

Ինչպես տեսնում ենք, մեծ հաճախությունների դեպքում հոսանքը հիմնականում անցնում է $\delta = c/\sqrt{2\pi\omega\lambda}$ հաստությամբ բարակ մակերևութային շերտով:

6.14 Գլանի ներսում մագնիսական դաշտն ուղղված է համաչափության առանցքով՝ $H = (0, 0, H(r, t))$ և բավարարում է

$$\frac{\partial^2 H}{\partial r^2} + \frac{1}{r} \frac{\partial H}{\partial r} = \frac{4\pi\mu\lambda}{c^2} \frac{\partial H}{\partial t} \quad (1)$$

հավասարմանը: Հաշվի առնելով, որ $t > 0$ պահերին մագնիսական դաշտը մարում է, (1)-ի լուծումը փոխրենք $H(r, t) = H_0(r)e^{-\gamma t}$ տեսքով ($\gamma > 0$): $H_0(r)$ -ը բավարարում է

$$\frac{d^2 H_0(r)}{dr^2} + \frac{1}{r} \frac{dH_0(r)}{dr} + k^2 H_0(r) = 0 \quad (2)$$

հավասարմանը, որտեղ $k^2 = 4\pi\mu\lambda/c^2$: (2) Բեսելի հավասարման $r = 0$ կետում վերջավոր լուծումը I_0 Փունկցիան է՝ $H_0(r) = CI_0(kr)$: Քանի որ $t \geq 0$ պահերին $\mathcal{H}_0 = 0$, իսկ մրրկային հոսանքների ստեղծած լրացուցիչ դաշտը գլանից դուրս հավասար է զրոյի, ապա պետք է տեղի ունենա

$$J_0(kR) = 0 \quad (3)$$

Եզրային պայմանը: (3) հավասարման արմատները նշանակնենք k_m -ով՝ $J_0((k_m R)) = 0$: (1) հավասարման լուծումը կունենա

$$H(r, t) = \sum_m C_m J_0(k_m r) e^{-\gamma_m t} \quad (4)$$

տեսքը, որտեղ $\gamma_m = c^2 k_m^2 / 4\pi\mu\lambda$:

Հաշվի առնելով, որ $H(r, 0) = \mathcal{H}_0$, (4)-ից կունենանք

$$\mathcal{H}_0 = \sum_m C_m J_0(k_m r):$$

Վերջին հավասարման երկու կողմը բազմապատկենք $r J_0(k_m r)$ -ով, ինտեգրենք ըստ r -ի՝ 0-ից R սահմաններում, օգտվենք ($<.16$) օրբողոնալության պայմանից և ($<.15$)-ից, կստանանք՝

$$C_m = \frac{2\mathcal{H}_0}{k_m R J_1(k_m R)}:$$

Դաշտի մարման արագությունը կորոշվի ամենափոքր գույնով (k_m -ով), այնպես, որ մարման բնութագրական ժամանակը $\tau = 1/\gamma_{\min}$: Հայտնի է, որ $J_0(x) = 0$ հավասարման ամենափոքր արմատի արժեքը՝ $x_1 \approx 2.4$, այնպես որ $k_{\min} = 2.4/R$, իսկ $\tau = 4\pi\mu\lambda R^2 / 5.76c^2$:

6.15 Համաշափությունից հետևում է, որ ժամանակի ցանկացած պահին էլեկտրական դաշտի լարվածության մոդուլը հաղորդալարի

մակերևույթի բոլոր կետերում նույնն է: Այսպիսի եզրային պայմանի դեպքում $E = \text{const}$ գլանից դուրս ամբողջ տարածության մեջ:

Հաղորդալարի ներսում E լեկտրական դաշտը ուղղված է հաղորդալարի առանցքով (Z առանցքով) և բավարարում է (6.8) հավասարմանը, որը գլանային կոռորդինատական համակարգում ունի 6.12 խնդրի (1) հավասարման տեսքը: (6.12) խնդրի նմանությամբ կարող ենք գրել

$$E_z(r, t) = E_0 \frac{J_0(kr)}{J_0(kR)} e^{-i\omega t} \quad (r \leq R),$$

որտեղ $k^2 = i4\pi\omega\mu/c^2$, իսկ E_0 -ն դաշտի արժեքն է հաղորդալարի մակերևույթի վրա: $j = \lambda E$ առնչությունից հետևում է, որ հոսանքի խոռոչական բաշխումը հաղորդալարի ներսում տրվում է

$$j_z(r, t) = \lambda E_0 \frac{J_0(kr)}{J_0(kR)} e^{-i\omega t} \quad (r \leq R)$$

օրենքով:

$|kR| >> 1$ մեծ հաճախությունների դեպքում ($\omega >> c^2/4\pi\mu\lambda R^2$) կարող ենք օգտվել (<16) ասիմպոտական վերլուծությունից: Սահմանափակվելով $0 \leq R - r << R$ հեռավորություններով՝

$$j_z(r, t) = \lambda E_0 e^{-i\omega t} \sqrt{R/r} \frac{\cos(kr - \pi/4)}{\cos(kR - \pi/4)} \approx$$

$$\approx \lambda E_0 \sqrt{R/re}^{-\frac{R-r}{\delta}} e^{-i\left(\omega - \frac{R-r}{\delta}\right)t}:$$

որտեղ $\delta = (1+i)/k = c/\sqrt{2\pi\omega\mu\lambda}$:

Ստացված արտահայտության մեջ $e^{-(R-r)/\delta}$ արտադրիչը ցույց է տալիս, որ մեծ հաճախությունների դեպքում հոսանքն անցնում է մակերևությային շերտով, որի հաստությունը հաճախությունից կախված $\delta \sim \omega^{-1/2}$ օրենքով ձգում է զրոյի:

ՀԱՎԵԼՎԱԾ

1. ԵԼԻՊՏԱԿԱՆ ԻՆՏԵԳՐԱԼՆԵՐ

Առաջին և երկրորդ սեռի էլիպտական ինտեգրալներ են կոչվում համապատասխանաբար՝

$$K(\varphi, k) = \int_0^{\varphi} \frac{d\psi}{\sqrt{1 - k^2 \sin^2 \psi}}, \quad (1.1)$$

$$E(\varphi, k) = \int_0^{\varphi} \sqrt{1 - k^2 \sin^2 \psi} d\psi \quad (1.2)$$

ինտեգրալները:

Առաջին և երկրորդ սեռի լրիվ էլիպտական ինտեգրալները սահմանվում են այսպես՝

$$\mathcal{K}(k) = K\left(\frac{\pi}{2}, k\right), \quad (1.3)$$

$$\mathcal{E}(k) = E\left(\frac{\pi}{2}, k\right); \quad (1.4)$$

Լրիվ էլիպտական ինտեգրալներն իրար հետ կապված են

$$\frac{d\mathcal{K}(k)}{dk} = \frac{\mathcal{E}(k)}{k(1 - k^2)} - \frac{\mathcal{K}(k)}{k}, \quad (1.5)$$

$$\frac{d\mathcal{E}(k)}{dk} = \frac{\mathcal{E}(k) - \mathcal{K}(k)}{k} \quad (1.6)$$

Ֆունկցիոնալ առնչություններով:

Էլիպտական ինտեգրալները կարելի են ներկայացնել շարքերի տեսքով՝

$$\mathcal{K}(k) = \frac{\pi}{2} \left\{ 1 + \left(\frac{1}{2} \right)^2 k^2 + \left(\frac{1 \cdot 3}{2 \cdot 4} \right)^2 k^4 + \dots + \left(\frac{(2n-1)!!}{2^n n!} \right)^2 k^{2n} + \dots \right\}, \quad (1.7)$$

$$\mathcal{E}(k) = \frac{\pi}{2} \left\{ 1 - \frac{1}{2^2} k^2 - \left(\frac{1 \cdot 3}{2 \cdot 4} \right)^2 \frac{k^4}{3} - \dots - \left(\frac{(2n-1)!!}{2^n n!} \right)^2 \frac{k^{2n}}{2n-1} - \dots \right\}; \quad (1.8)$$

2. ԲԵՍԵԼԻ ՖՈՒՆԿՑԻԱՆԵՐ

Թեսելի հավասարում է կոչվում

$$x^2 \frac{d^2 Y}{dx^2} + x \frac{dY}{dx} + (x^2 - v^2)Y = 0 \quad (2.9)$$

Երկրորդ կարգի գծային դիֆերենցիալ հավասարումը: Մրա լուծումները կոչվում են զլանային ֆունկցիաներ: (2.9)-ի լուծումները, որոնք $v \geq 0$ դեպքում սահմանափակ են $x = 0$ կետում, կոչվում են առաջին սեռի զլանային ֆունկցիաներ կամ Բեսելի ֆունկցիաներ և ունեն այսպիսի տեսք՝

$$J_v(x) = \frac{x^v}{2^v} \sum_{k=0}^{\infty} (-1)^k \frac{x^{2k}}{2^{2k} k! \Gamma(v+k+1)}, \quad (2.10)$$

որտեղ Γ -ն էյլերի գամմա-ֆունկցիան է: Եթե v -ն ամբողջ թիվ է՝ $v = n$, ապա

$$J_n(x) = \sum_{k=0}^{\infty} (-1)^k \frac{(x/2)^{n+2k}}{k!(n+k)!}: \quad (2.11)$$

Եթե $|x| \ll 1$

$$J_n(x) \approx \frac{x^n}{2^n n!}, \quad (n \geq 1), \quad (2.12)$$

$$J_0(x) \approx 1 - \frac{x^2}{4}: \quad (2.13)$$

$|x| \gg 1$ դեպքում

$$J_v(x) \approx \sqrt{\frac{2}{\pi x}} \cos\left(x - \frac{v\pi}{2} - \frac{\pi}{4}\right): \quad (2.14)$$

Թվարկենք հետևյալ առնչությունները՝

$$\int x^{v+1} J_v(x) dx = x^{v+1} J_{v+1}(x), \quad (2.15)$$

$$\int_0^1 x J_v(\alpha x) J_v(\beta x) dx = \begin{cases} 0, & (\alpha \neq \beta), \\ \frac{1}{2} (J_{v+1}(\alpha))^2, & (\alpha = \beta), \end{cases} \quad (2.16)$$

$$(J_v(\alpha) = J_v(\beta) = 0, \quad v > -1):$$

ՕԳՏԱԳՈՐԾՎԱԾ ԳՐԱԿԱՆՈՒԹՅՈՒՆ

1. Յու.Լ. Վարդանյան, Էլեկտրադինամիկա, հ. 1, Երևան, ԵՊՀ հրատ., 2000 թ.:
2. А.И. Алексеев, Сборник задач по классической электродинамике. М., "Наука", 1977.
3. В.В.Батыгин, И.Н.Топтыгин, Сборник задач по электродинамике. М., "Наука", 1970.
4. Л.Г. Гречко и др., Сборник задач по теоретической физике. М., "Высшая школа", 1972.
5. Я.П. Терлецкий, Ю.П.Рыбаков, Электродинамика. М., "Высшая школа", 1980.
6. Е.А.Туров, Материальные уравнения электродинамики, М., "Наука", 1983.
7. М.М.Бредов, В.В.Румянцев, И.Н.Топтыгин, Классическая электродинамика, М., "Наука", 1985.
8. М.И. Рязанов, Электродинамика конденсированного вещества, М., "Наука", 1984.
9. Дж. Джексон, Классическая электродинамика, М., "Мир", 1965.
- 10.Дж. Кронин, Д. Гринберг, В. Телегди, Сборник задач по физике с решениями, "Атомиздат", 1971.
11. Мин Чен, Задачи по физике с решениями, М., "Мир", 1978.
- 12.Л.Д. Ландау, Е.М.Лифшиц, Теория поля, М., "Наука", 1988.
13. Л.Д. Ландау, Е.М.Лифшиц, Электродинамика сплошных сред, М., "Наука", 1982.

ԲՈՎԱՍՐԱԿՈՒԹՅՈՒՆ

ԳԼՈՒԽ 1. Մաքսմատիկական ներածություն	5	47
ԳԼՈՒԽ 2. Էլեկտրադինամիկայի հիմնական օրենքներն ու հավասարումները	14	56
ԳԼՈՒԽ 3. Էլեկտրադինամիկայի նյութական հավասարումները	21	65
ԳԼՈՒԽ 4. Էլեկտրաստատիկա	29	83
ԳԼՈՒԽ 5. Մագնիսաստատիկա	38	111
ԳԼՈՒԽ 6. Ջվազիստացիոնար երևույթներ	43	120
ՀԱՎԵԼՎԱԾ		
1. Էլիպտական ինտեգրալներ		132
2. Բնսելի ֆունկցիաներ		133

ԷԼԵԿՏՐԱԳԻՒՍԱՄԻԿԱՅԻ
ԽՆԴԻՐՆԵՐԻ ԺՈՂՈՎԱԾՈՒ
ՄԱՍ 1

Մինչտպագրական աշխատանքները՝ «ԴԱՐ» ՍՊԸ
Հեռ. 274839

Տպագրությունը՝ «ԷԴԻԹ-ՊՐԻՆՏ» ՍՊԸ
Տպաքանակ՝ 200